

letní semestr 2011- 2012

F4110

Kvantová fyzika atomárních soustav
letní semestr 2011- 2012

F4110 Kvantová fyzika atomárních soustav

Přírodovědecká fakulta

jaro 2012

Rozsah

2/1. 4 kr. (příf plus uk plus > 4). Ukončení: zk.

Vyučující

prof. Bedřich Velický, CSc. (přednášející)

Garance

prof. RNDr. Michal Lenc, Ph.D.

Rozvrh

St 13:00--13:50 F3 St 14:00--15:50 F3

Předpoklady

(F1040 Mechanika a molekulová fyzika && F2070 Elektřina a magnetismus) |

| (F1030 Mechanika a molekulová fyzika && F2050 Elektřina a magnetismus)

Anotace

Tento kurs je pojat jako proseminář doplňující přednášky

Úvod do fyziky mikrosvěta F4100 nebo F4050.

F4110
Kvantová fyzika atomárních soustav
letní semestr 2011- 2012

Přednášející
Bedřich Velický ÚTFA
velicky@karlov.mff.cuni.cz

F4110
Kvantová fyzika atomárních soustav
letní semestr 2011- 2012

Přednášející
Bedřich Velický ÚTFA
velicky@karlov.mff.cuni.cz

- Prosím e-mailovou korespondenci vést na tuto adresu

F4110
Kvantová fyzika atomárních soustav
letní semestr 2011- 2012

Rozvrh

St 13:00--13:50 F3 cvičení

St 14:00--15:50 F3 přednáška

F4110

Kvantová fyzika atomárních soustav

letní semestr 2011- 2012

PLÁNOVANÉ PŘEDNÁŠKY

| | | |
|----|--|--------|
| 1 | Měřítka kvantového světa | 29. 2. |
| 2 | Brownův pohyb | 7. 3. |
| 3 | Langevinova rovnice pro Brownův pohyb | 14. 3. |
| 4 | Elektronová optika | 21. 3. |
| 5 | Synchrotronové záření v kosmu a na Zemi | 28. 3. |
| 6 | Neutronová interference | 4. 4. |
| 7 | Kvantová interferometrie (II. část) | 11. 4. |
| 8 | Jev Bohma a Aharonova | 18. 4. |
| 9 | Vibrace v polyatomických molekulách | 25. 4. |
| 10 | Molekulové vibrace a skleníkový jev | 2. 5. |
| 11 | Inversní linie čpavku: Sláva a pád | 9. 5. |
| 12 | Fysika nízkých a extrémně nízkých teplot | 16. 5. |
| 13 | Studené atomy: BE kondensace | 23. 5. |

F4110

Kvantová fyzika atomárních soustav

letní semestr 2011- 2012

PODMÍNKY PRO VYKONÁNÍ ZKOUŠKY

Podmínky

1. Úspěšné vykonání písemného testu
na posledním cvičení nebo jednom ze zápočtových termínů
2. Forma zkoušky: Zpracování a seminární přednesení dílčí otázky k některému z přednesených témat po dohodě s přednášejícím

Termíny

Termíny zkoušky budou

- vyhlášeny na poslední přednášce a
- vystaveny na SIS

Úvodem

- Dnes: čekám, až trochu postoupí hlavní přednášky
- Odvolám se na znalosti středoškolské a z předchozí části Kursu
- Cíl ... orientace v nepřehledné oblasti atomárních soustav
- Fundamentální konstanty a zavedení přirozených jednotek
- Rozměrové a jiné kvalitativní úvahy
- Zamyšlení nad Bičákovým diagramem velikostí a hmotností objektů

Klasický a kvantový svět

vs.

mikrosvět a makrosvět

Klasický a kvantový svět

Kvantové zákony ovládají titerné mikroobjekty,
jako jsou atomy a molekuly.

V každodenním životě však kvantové efekty
zpravidla nepozorujeme.

Kde je rozhraní obou světů a jak je můžeme
rozpoznat a charakterisovat?

Klasický a kvantový svět

Kvantové zákony ovládají titerné mikroobjekty,
jako jsou atomy a molekuly.

V každodenním životě však kvantové efekty
zpravidla nepozorujeme.

Kde je rozhraní obou světů a jak je můžeme
rozpoznat a charakterisovat?

Moje stará formulace

Nový pokus odpovídající na kritiku se strany filosofů

Makrosvět a mikrosvět spolutvoří svět fyziky.

Makrosvět se týká předmětů a dějů, se kterými se můžeme setkat v každodenním životě, často je proto tendence podsunout jej za přirozený svět.

Mikrosvět tvoří titěrné mikroobjekty, jako jsou atomy a molekuly. Přirozenému světu je cizí.

Nový pokus

Makrosvět a mikrosvět spolutvoří svět fyziky.

Makrosvět se týká předmětů a dějů, se kterými se můžeme setkat v každodenním životě, často je proto tendence podsunout jej za přirozený svět.

Mikrosvět tvoří titěrné mikroobjekty, jako jsou atomy a molekuly. Přirozenému světu je cizí.

Nový pokus

Makrosvět a mikrosvět spolutvoří svět fyziky.

Makrosvět se týká předmětů a dějů, se kterými se můžeme setkat v každodenním životě, často je proto tendence podsunout jej za přirozený svět.

Mikrosvět tvoří titěrné mikroobjekty, jako jsou atomy a molekuly. Přirozenému světu je cizí.

Nový pokus

Makrosvět a mikrosvět spolutvoří svět fyziky.

Makrosvět se týká předmětů a dějů, se kterými se můžeme setkat v každodenním životě, často je proto tendence podsunout jej za přirozený svět.

Mikrosvět tvoří titěrné mikroobjekty, jako jsou atomy a molekuly. Přirozenému světu je cizí.

Nový pokus

Makrosvět a mikrosvět spolutvoří svět fyziky.

Makrosvět se týká předmětů a dějů, se kterými se můžeme setkat v každodenním životě, často je proto tendence podsunout jej za přirozený svět.

Mikrosvět tvoří titěrné mikroobjekty, jako jsou atomy a molekuly. Přirozenému světu je cizí.

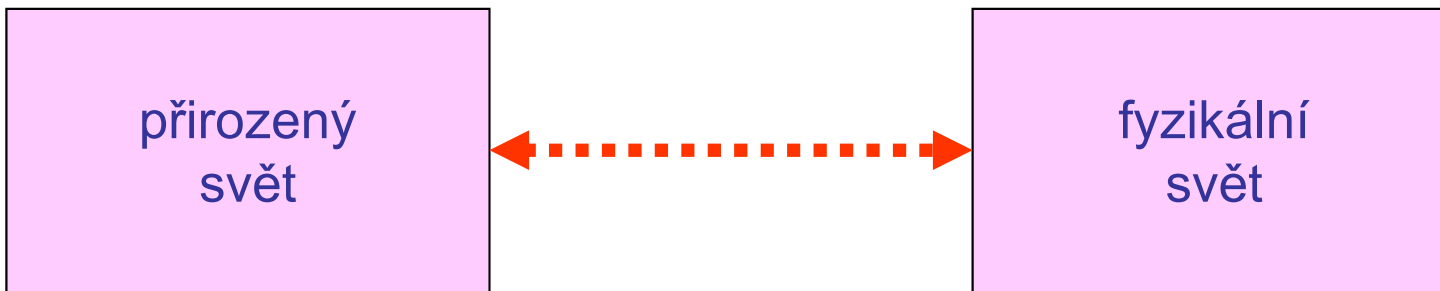
Umíme však rozmezí těchto různých světů přesně rozpozнат a charakterisovat?

Fyzikální svět a přirozený svět

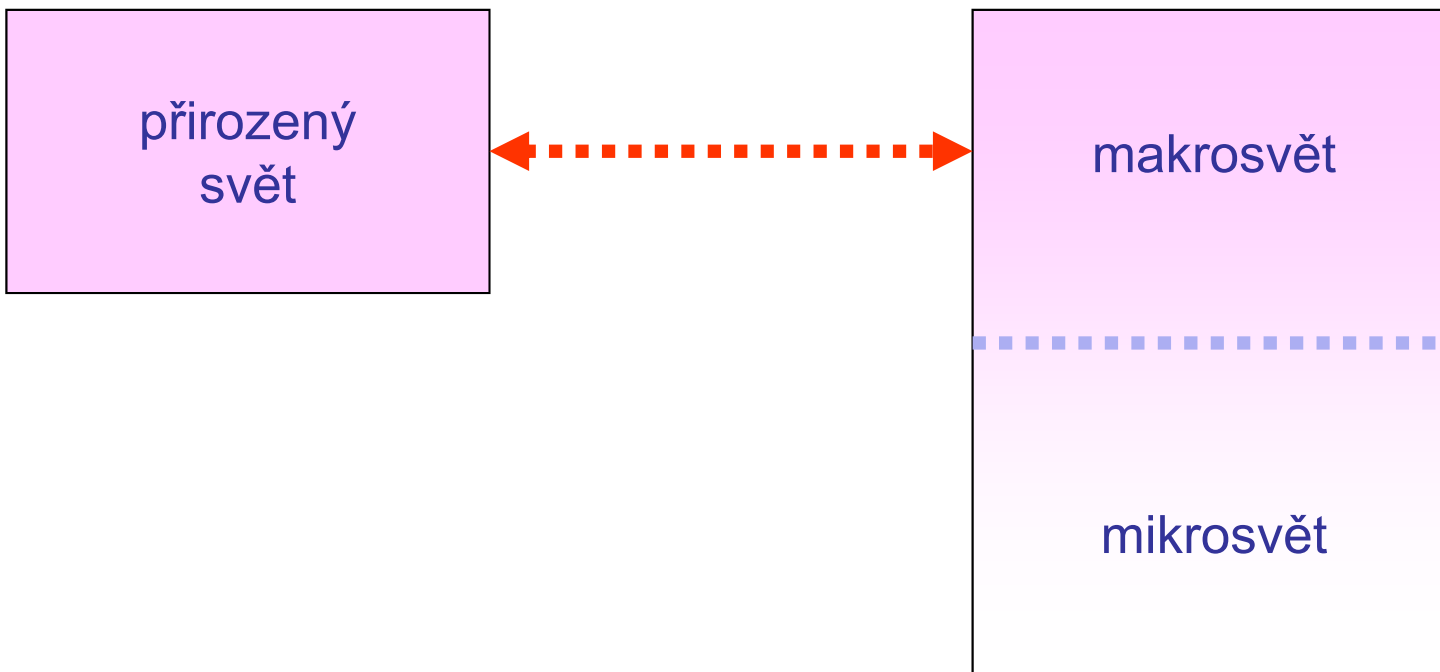
přirozený
svět

fyzikální
svět

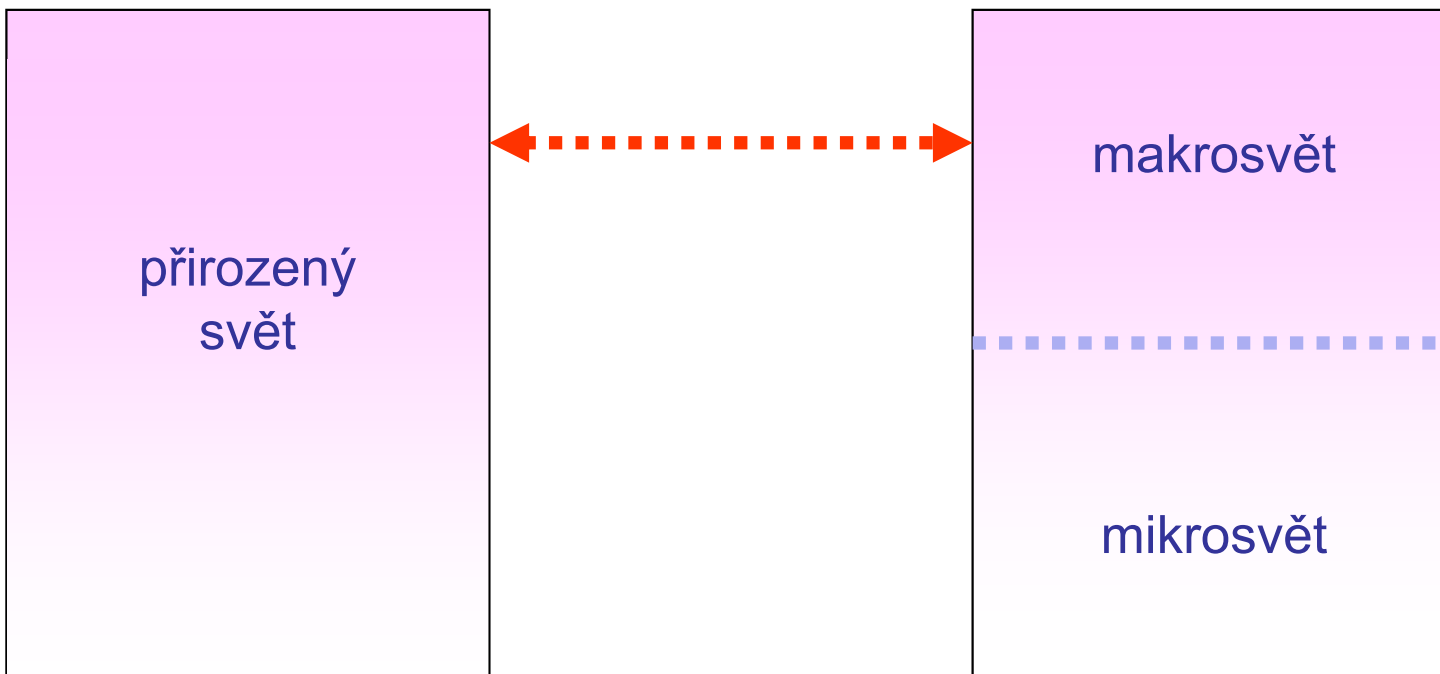
Fyzikální svět a přirozený svět



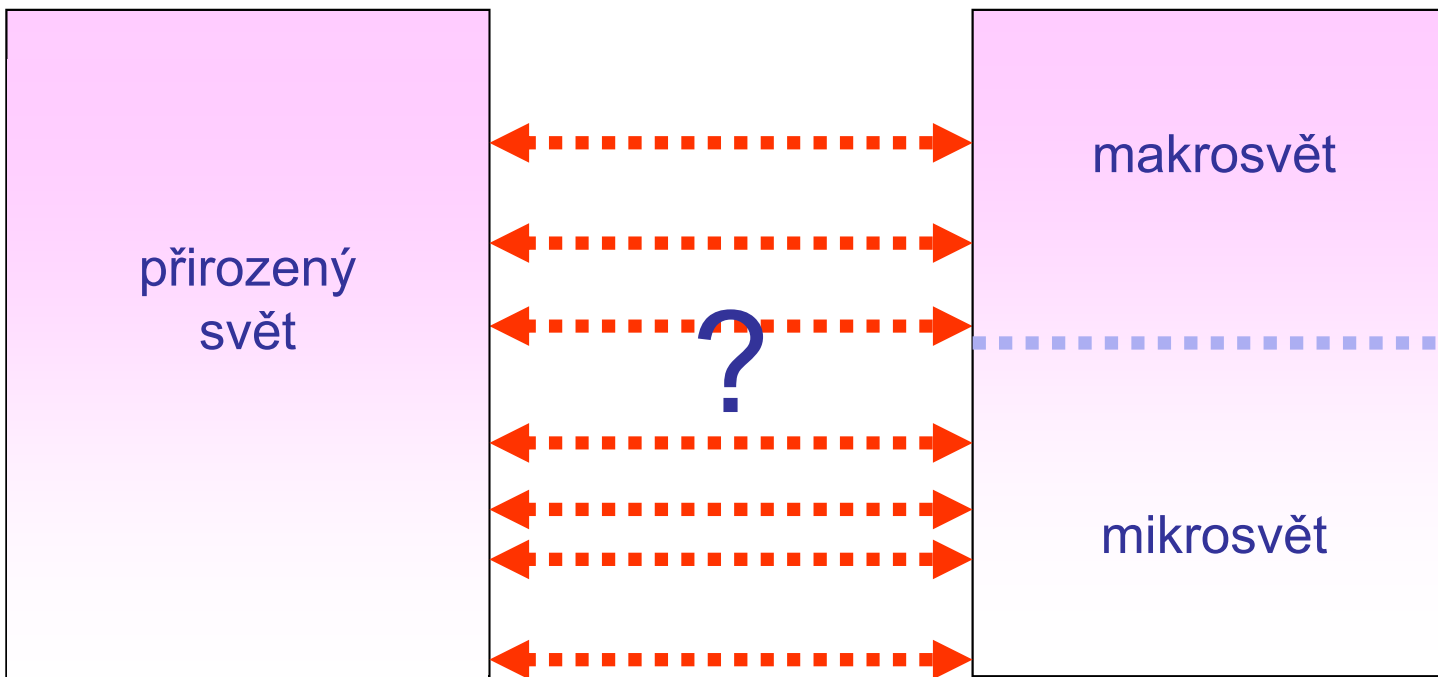
Fyzikální svět = Makrosvět + Mikrosvět



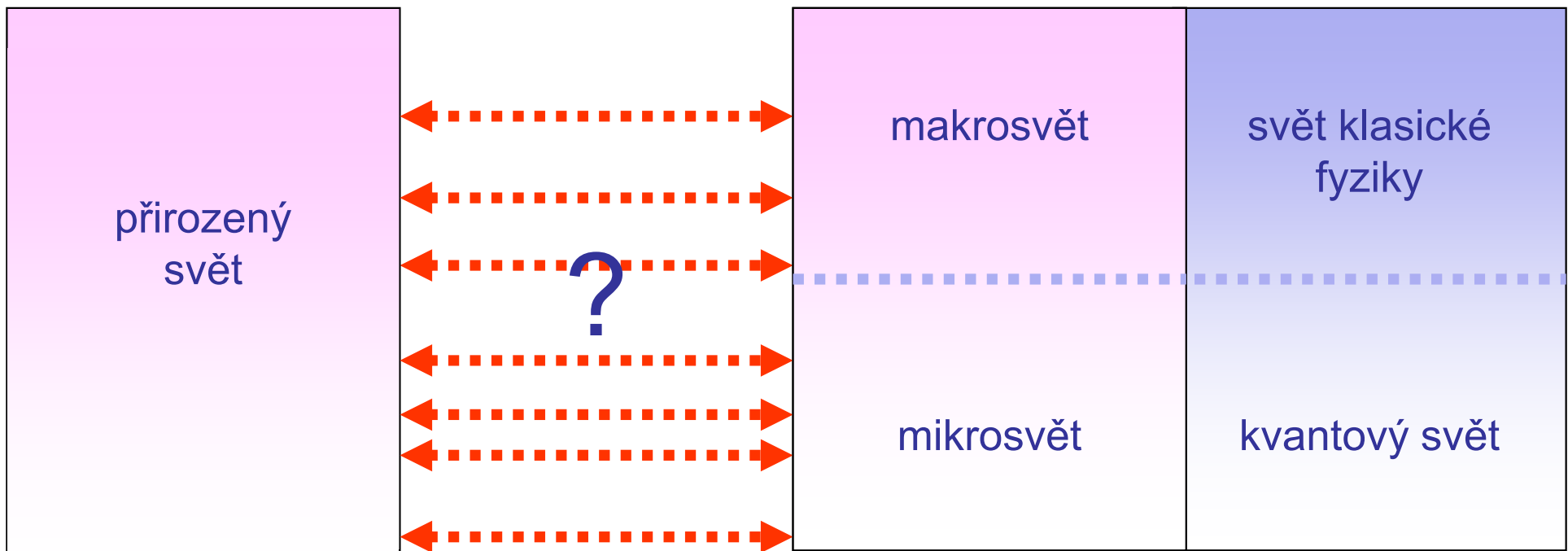
Mikrosvět proniká do přirozeného světa



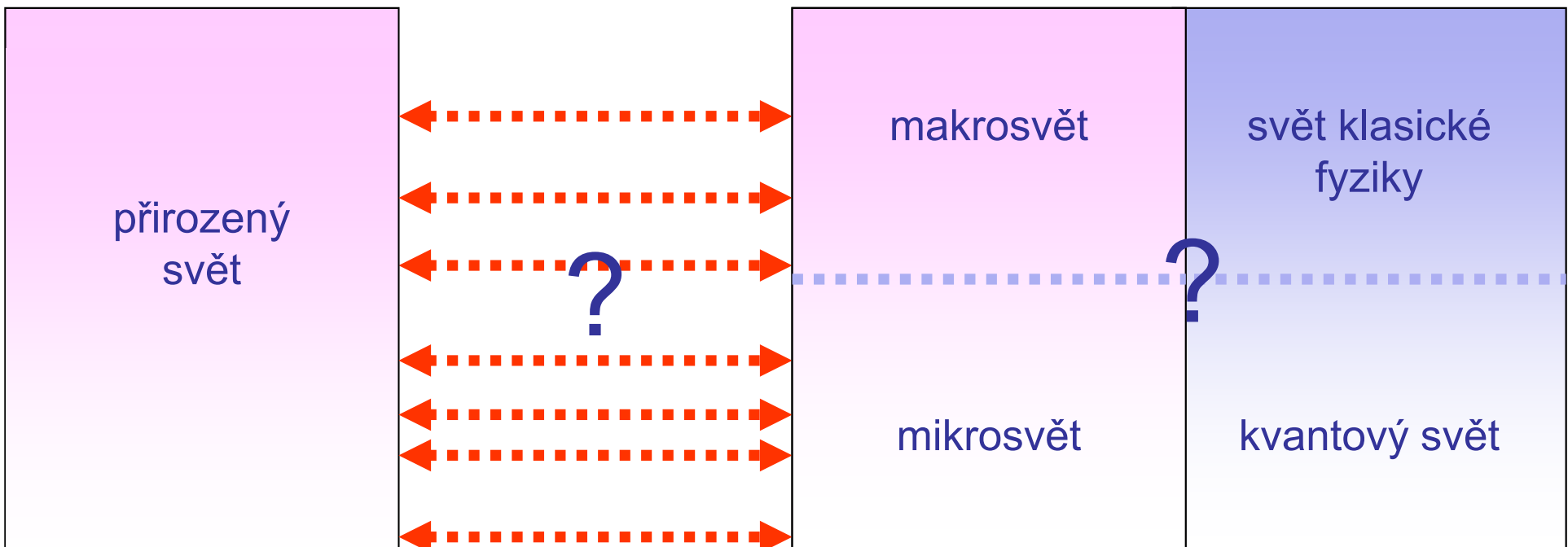
Mikrosvět proniká do přirozeného světa



Makrosvět + Mikrosvět vs. Klasický svět + Kvantový svět

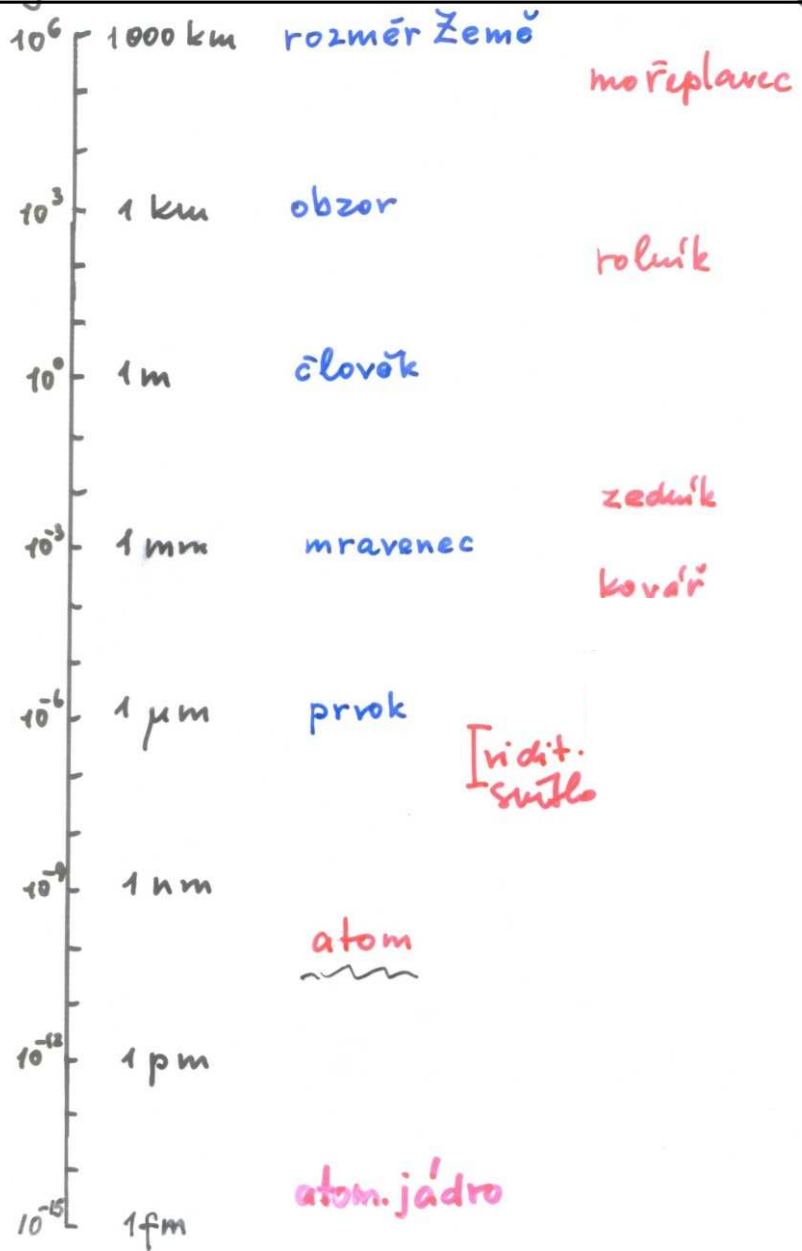


Makrosvět + Mikrosvět vs. Klasický svět + Kvantový svět

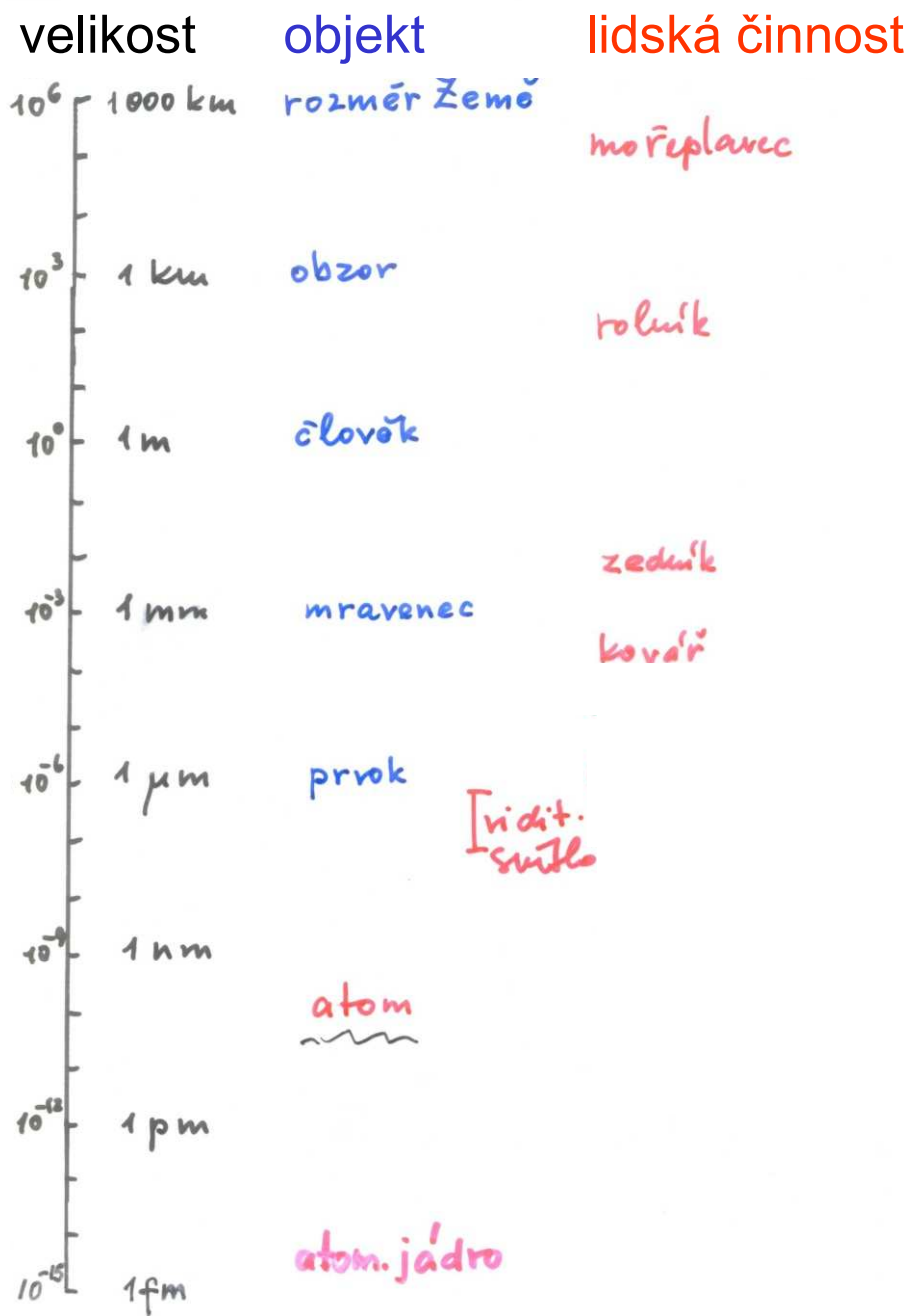


ne tak docela!!

Logaritmická škála velikosti objektů



velikosti objektů



Velikosti objektů

Logaritmická škála velikosti objektů

10^6 1000 km rozměr Země

mořeplavec

10^3 1 km obzor

rolník

10^0 1 m člověk přirozená délka (sáh)

10^{-3} 1 mm mravenec

zeleník

kovař

10^{-6} 1 μm prvak

Incid.
světlo

10^{-9} 1 nm atom

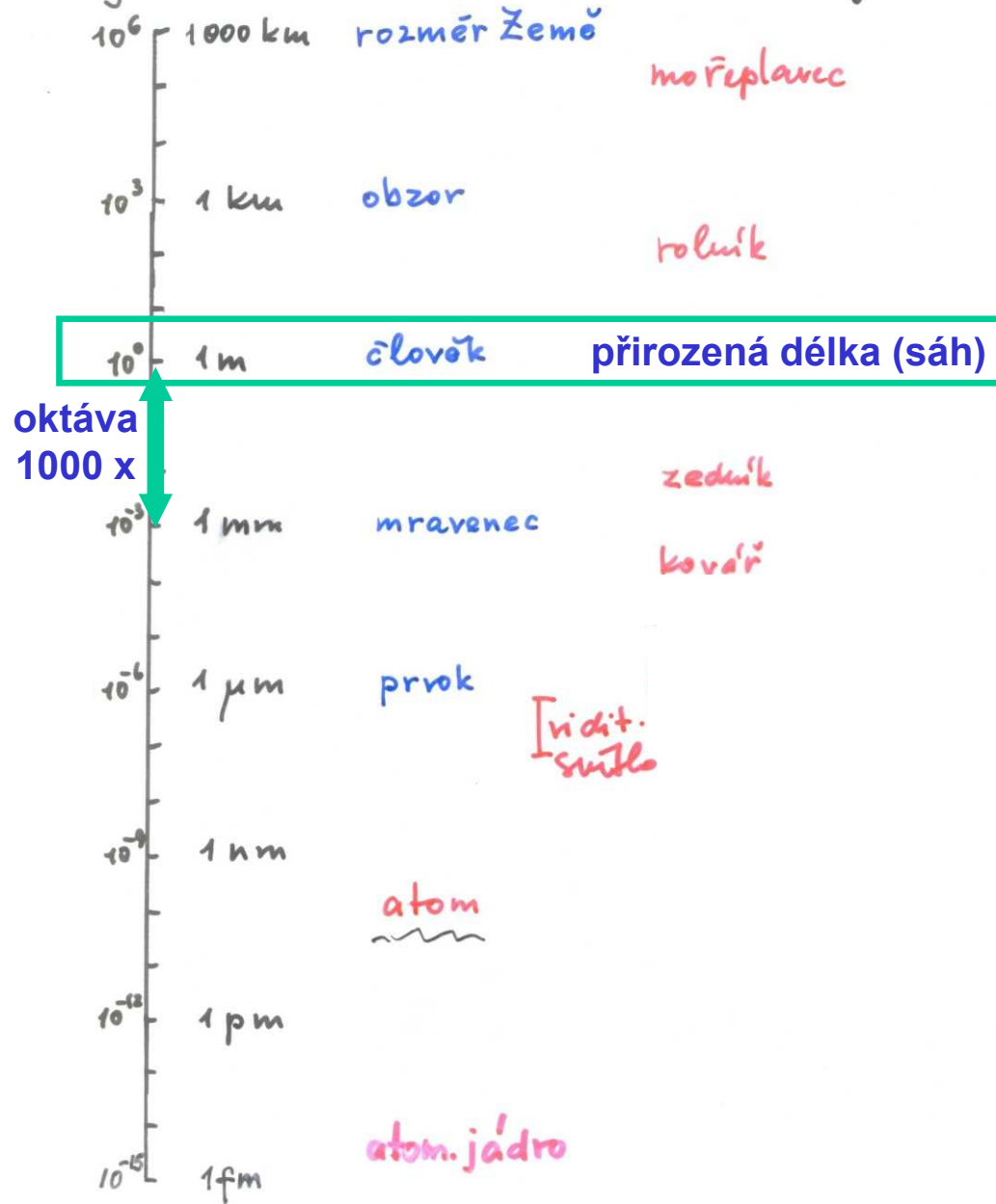
10^{-12} 1 pm

atom. jádro

10^{-15} 1 fm

Velikosti objektů

Logaritmická škála velikosti objektů



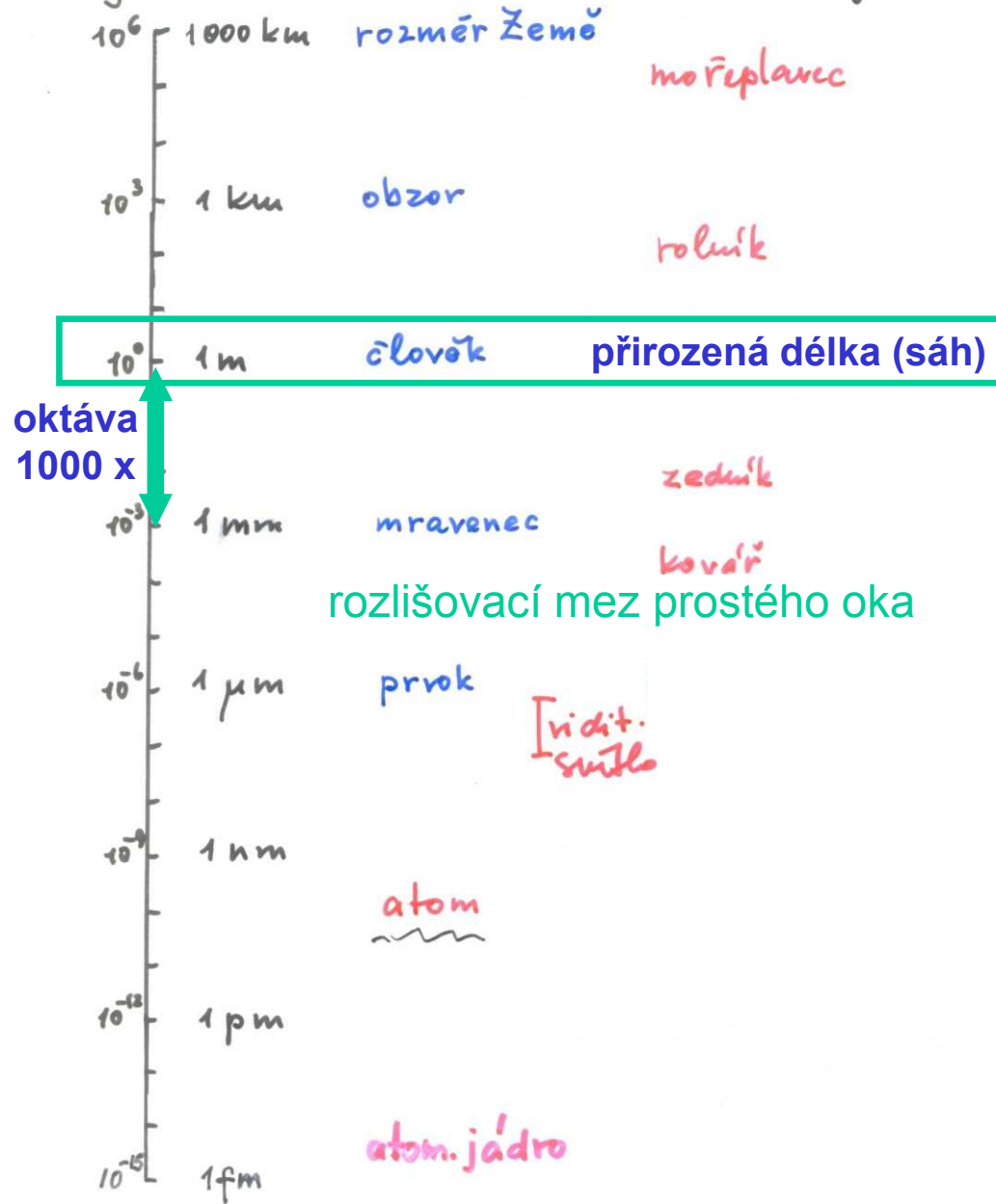
Velikosti objektů

Logaritmická škála velikosti objektů



Velikosti objektů

Logaritmická škála velikosti objektů



makrosvět

mikrosvět

Velikosti objektů

Logaritmická škála velikosti objektů

10^6 1000 km rozměr Země

mořeplavec

10^3 1 km obzor

rolník

10^0 1 m člověk

10^{-3} 1 mm mravenec

zedník

kovař

rozlišovací mez prostého oka

10^{-6} 1 μm prvak

(přesná mechanika
vidit. elektrotechnika
soustrojový fyzika)

10^{-9} 1 nm

atom

10^{-12} 1 pm

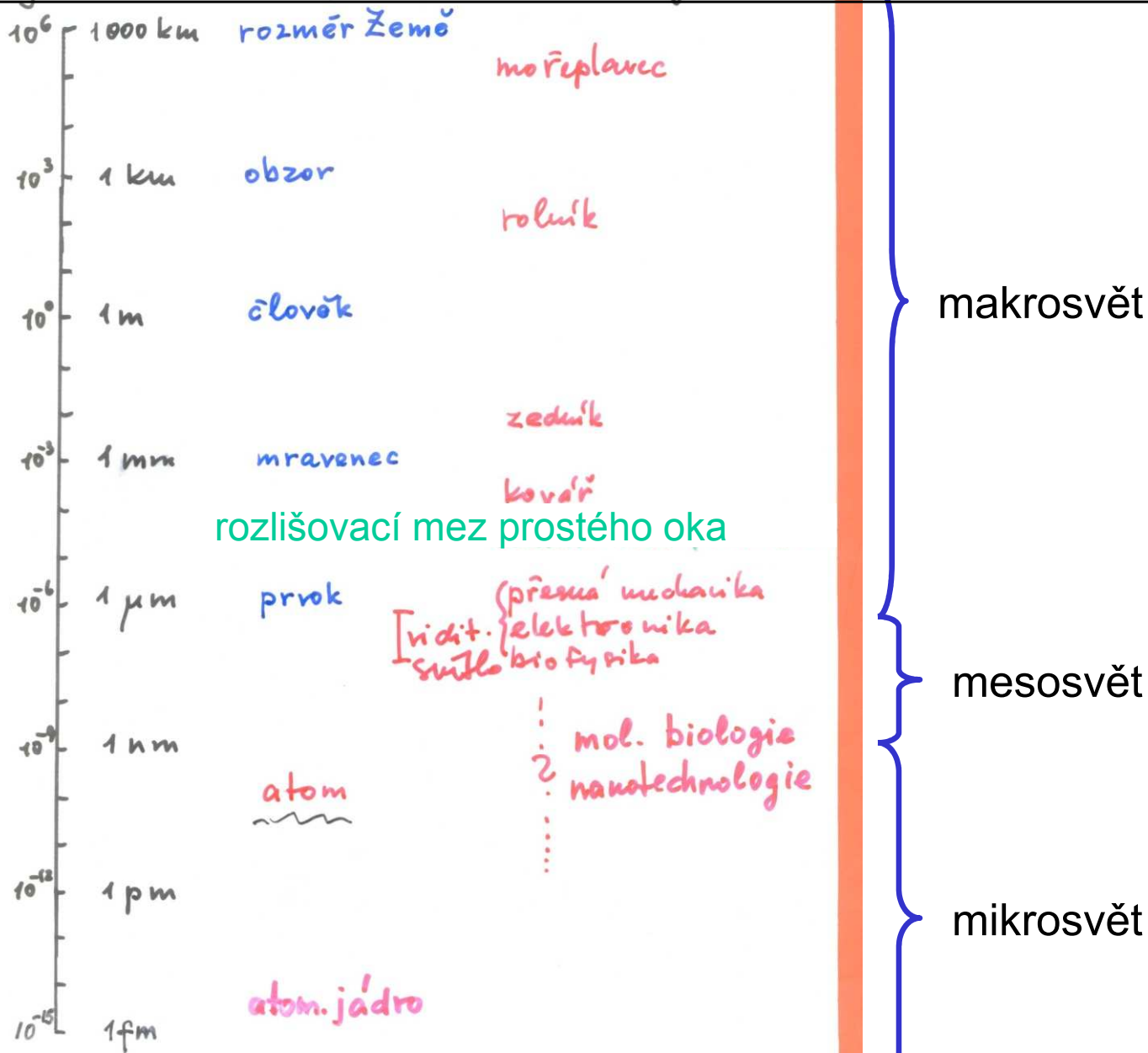
atom. jádro

makrosvět

mesosvět

mikrosvět

Logaritmická škála velikosti objektů



Velikosti objektů

Logaritmická škála velikosti objektů

10^6 1000 km rozměr Země

mořeplavec

10^3 1 km obzor

rolník

10^0 1 m člověk

10^{-3} 1 mm mravenec

zedník

kovař

rozlišovací mez prostého oka

10^{-6} 1 μm prvak

(přesná mechanika
vidit. elektrotechnika
soustava fyzika)

10^{-9} 1 nm atom

: mol. biologie
? nanotechnologie
vidět atomy

10^{-12} 1 pm

atom. jádro

makrosvět

mesosvět

mikrosvět

Velikosti objektů

Logaritmická škála velikosti objektů

10^6 1000 km rozměr Země

mořeplavec

10^3 1 km obzor

rolník

10^0 1 m člověk

10^{-3} 1 mm mravenec

zedník

10^{-6} 1 μm prvak

(přesná mechanika
vidit. elektrotechnika
soustava fyzika)

10^{-9} 1 nm atom

1 mol. biologie
2 molekulobiologie

10^{-12} 1 pm

vidět atomy

10^{-15} 1 fm atom. jádro

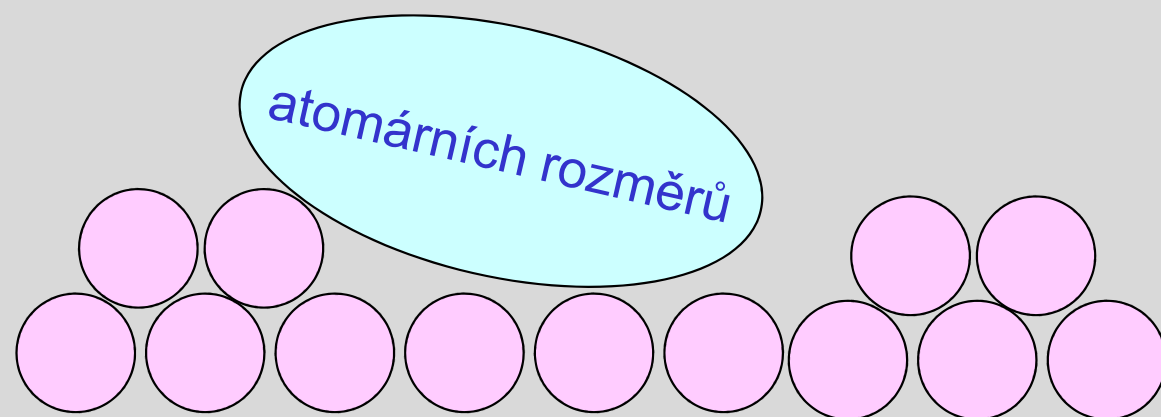
makrosvět

mesosvět

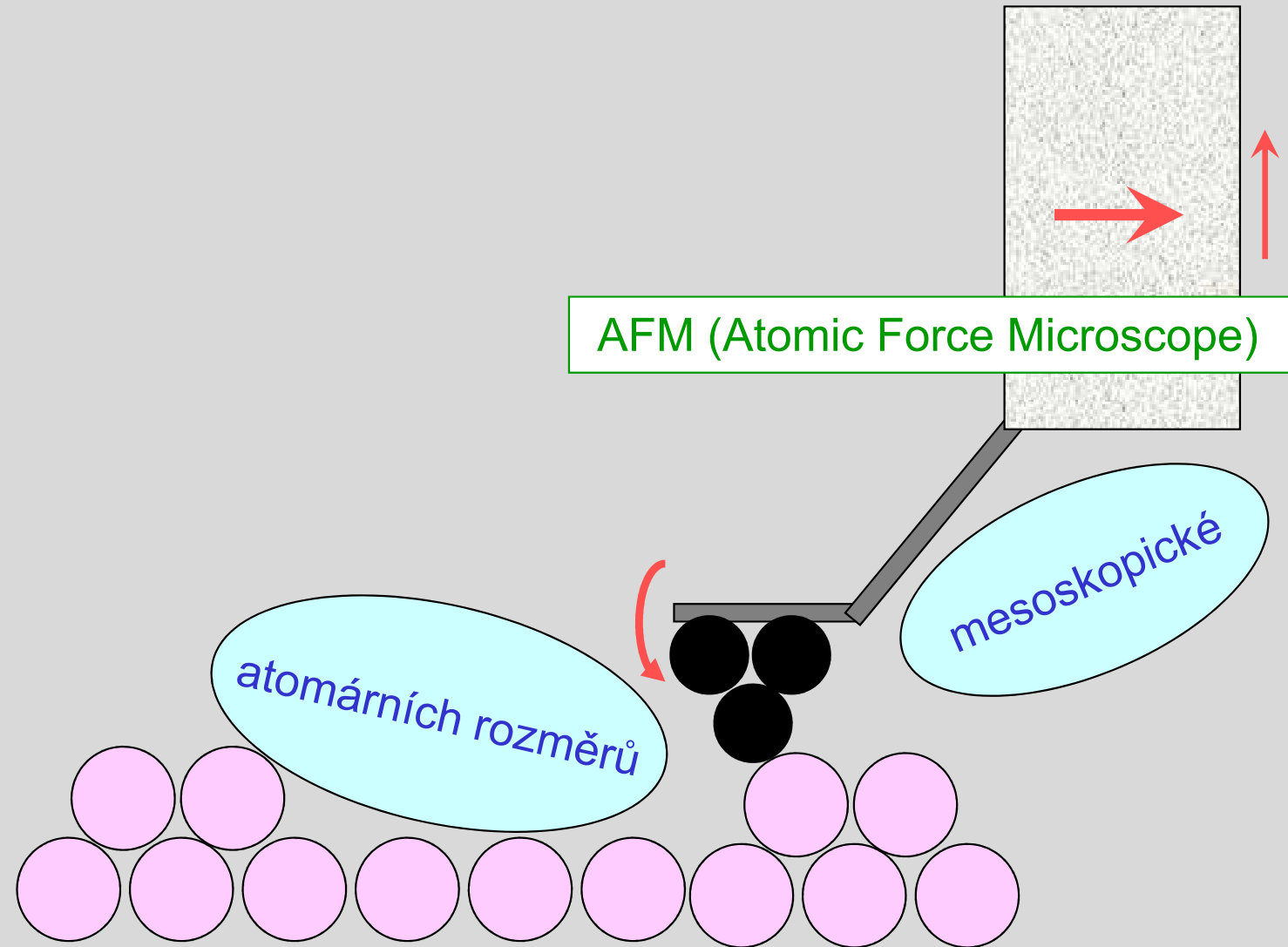
Vidět atomy

Stačí dvaapůl oktávy

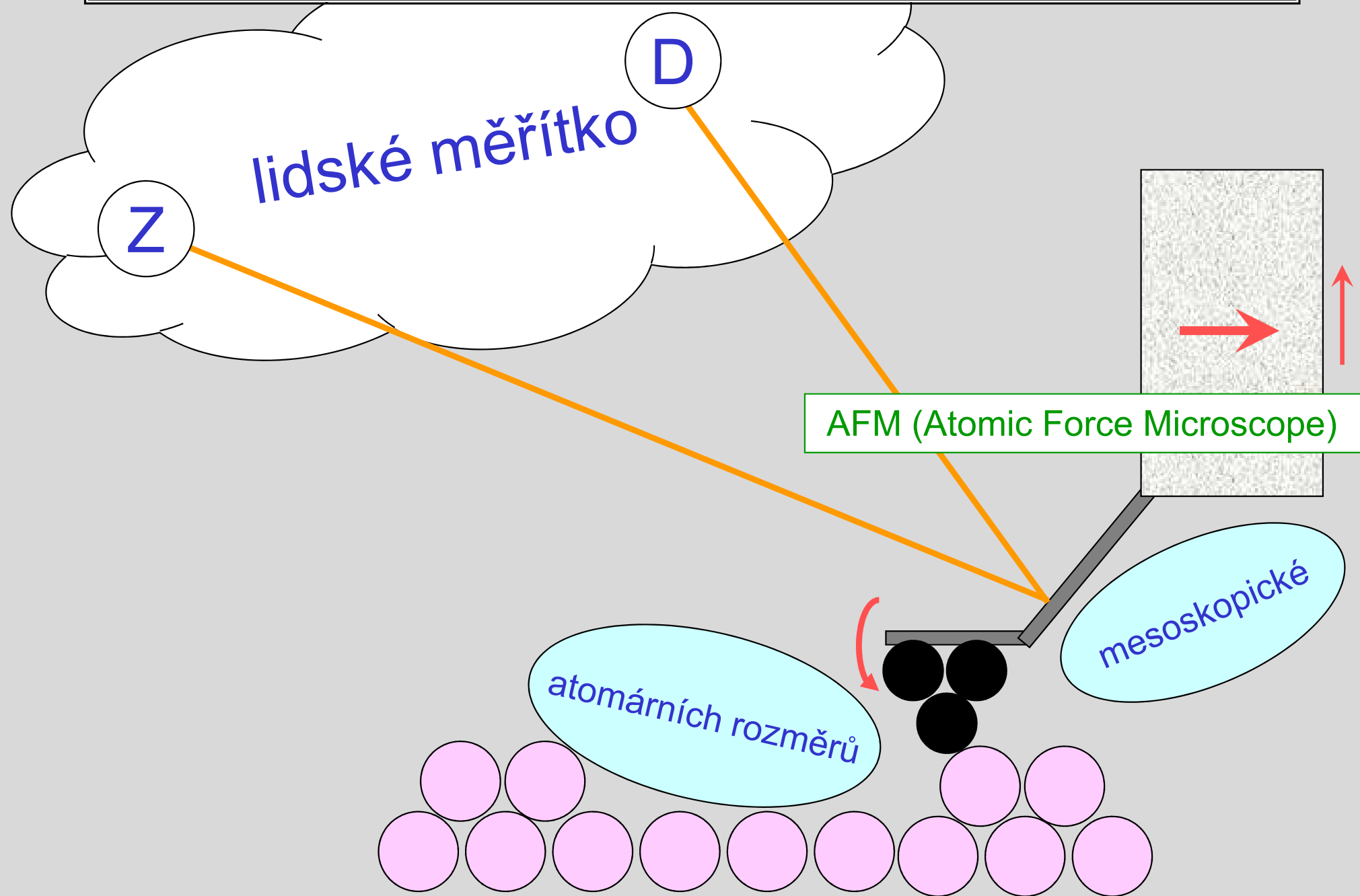
AFM (Atomic Force Microscope)



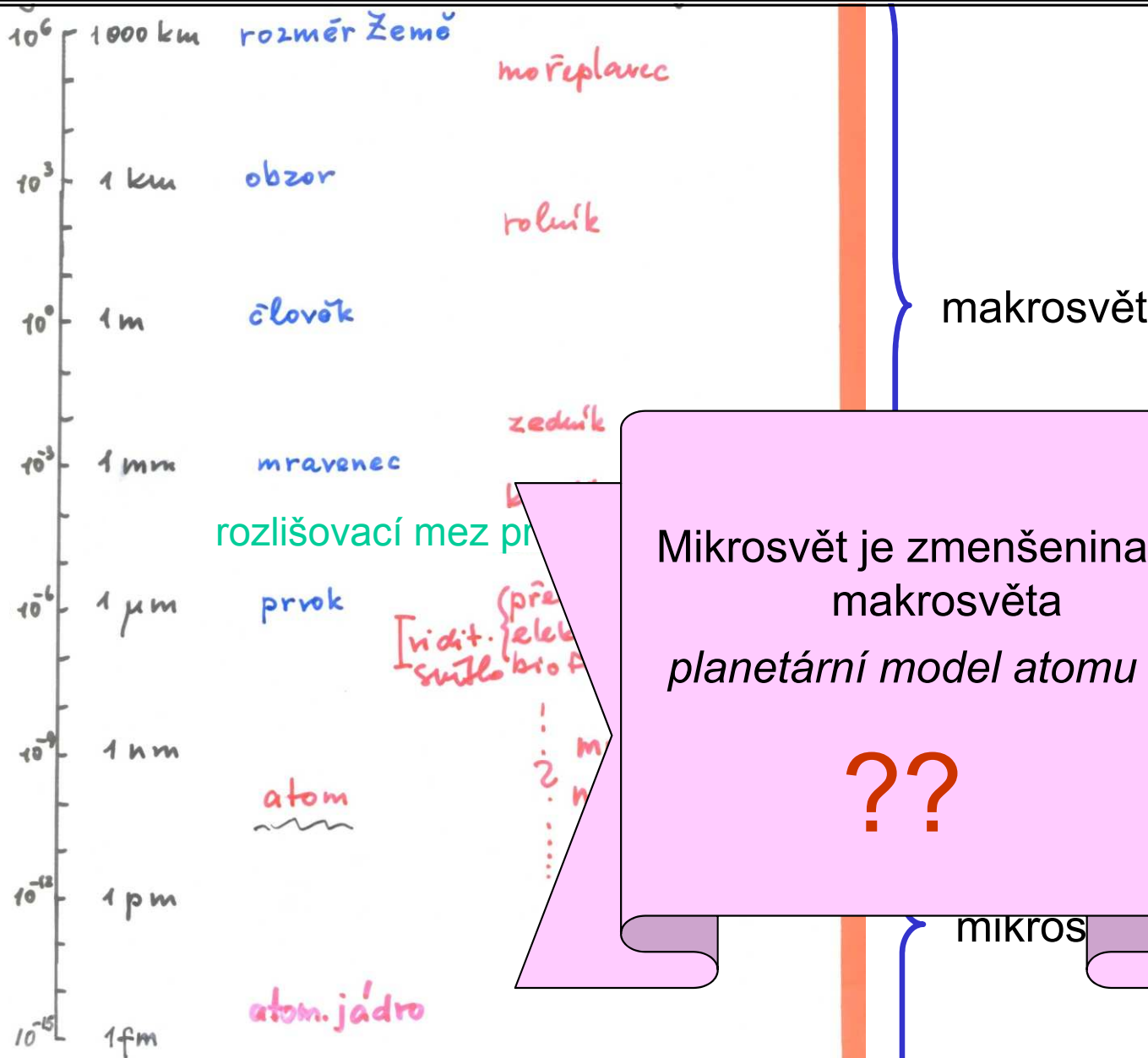
Vidět atomy



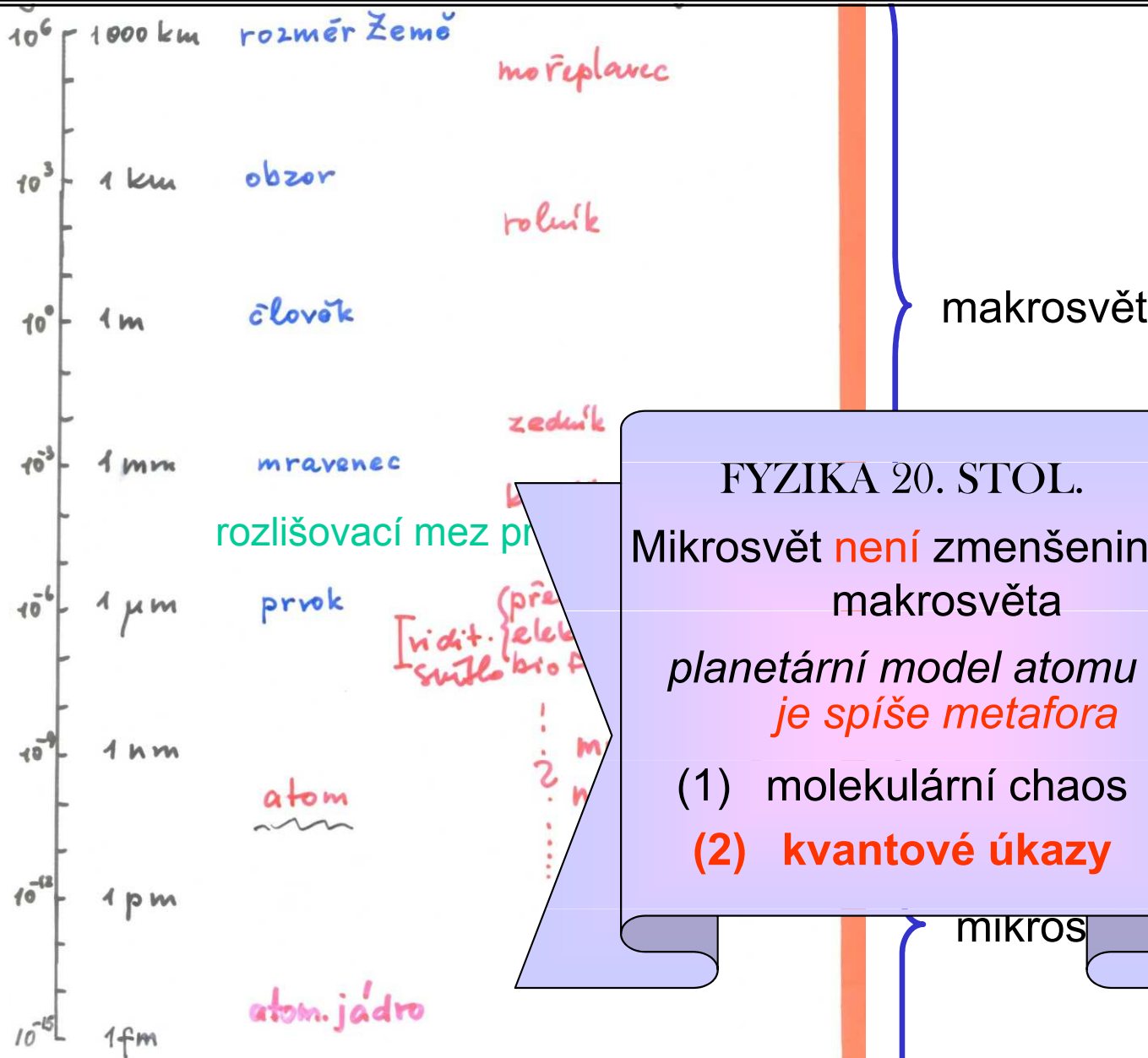
Vidět atomy



Představa klasické fysiky o hierarchii měřítek



Obraz "moderní" fysiky je jiný



FYZIKA 20. STOL.
Mikrosvět **není** zmenšenina
makrosvěta

planetární model atomu
je spíše metafora
(1) molekulární chaos
(2) kvantové úkazy

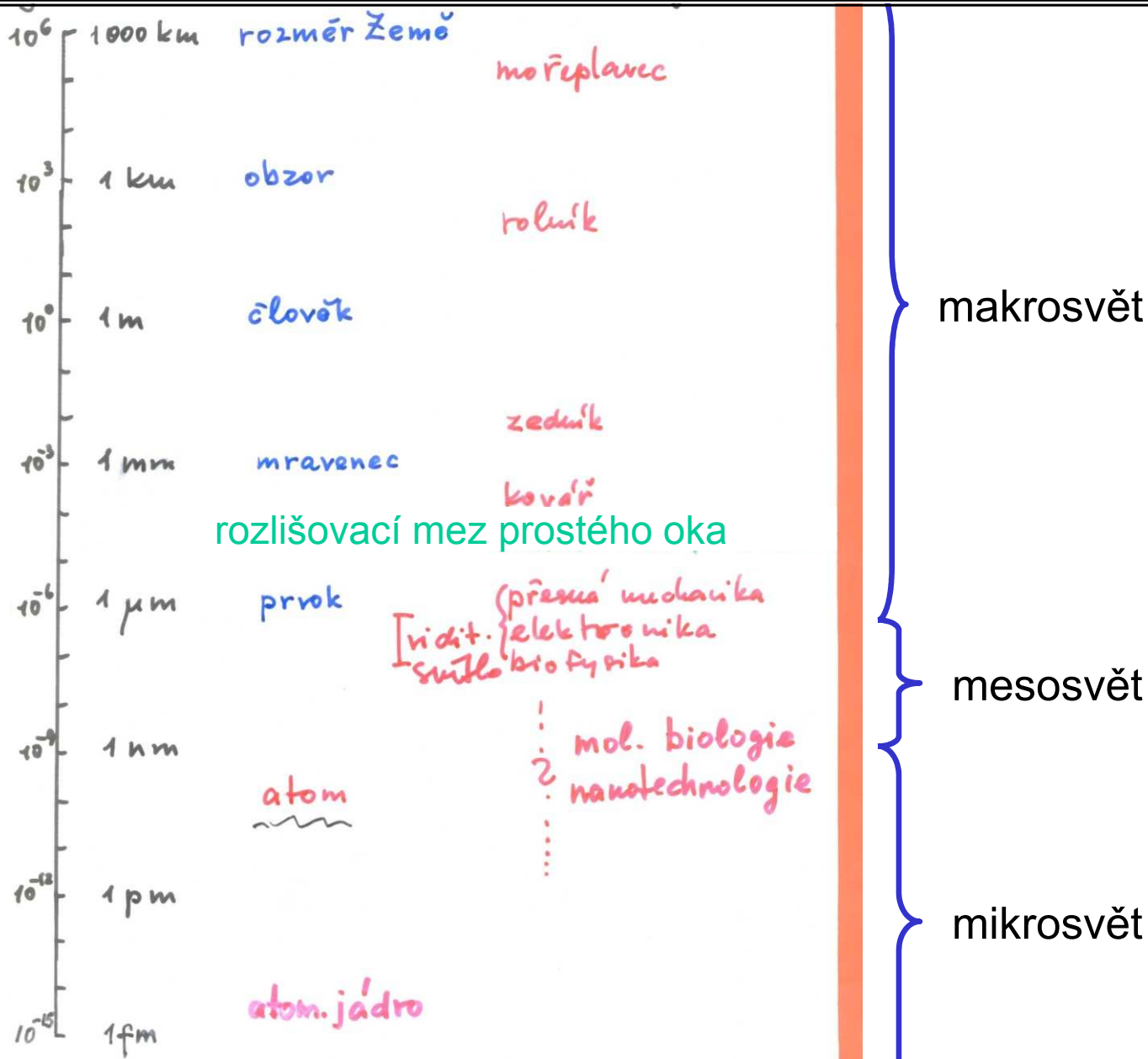
mikros

Procházka kvantovými jevy v celé škále velikostí objektů

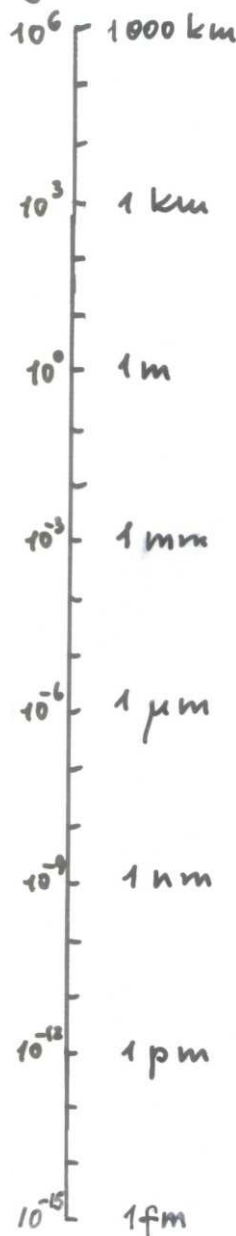
Samotná velikost objektů není rozhodující pro jejich kvantové chování.

Kvantové projevy mohou být různorodé a neočekávané

Souběh dvou stupnic



Klasický a kvantový svět v různých měřítkách



KVANTOVÉ OBJEKTY makroskopické

teleportace přes Dunaj

supravodiče, supratekuté helium
BE kondensace v atom. oblacích
kohese a chem. vazba v látkách

meso("nano")skopické
kvantové multivrstvy, kvant. tečky,
vortexové struktury, qubity

mikroskopické
molekuly
atomy a ionty

atomová jádra

subjaderné objekty

klasický
makrosvět

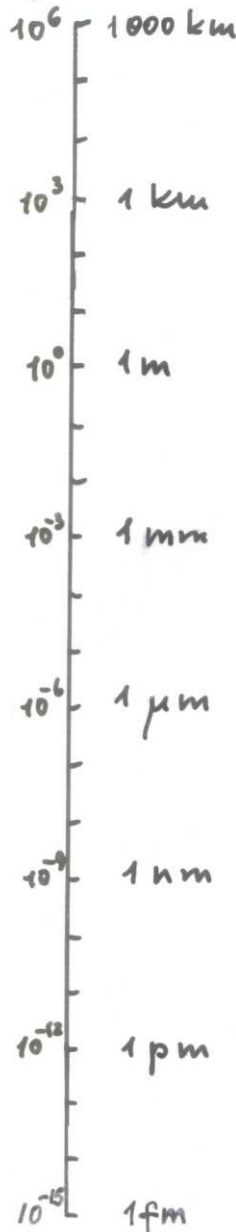
mesosvět

kvantový
mikrosvět

KVANTOVÉ ÚKAZY

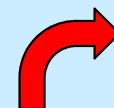
- kvantování energií
- vlnové šíření –
interference, difrakce ...
- provázané stavy
- korelované chování
identických částic

Klasický a kvantový svět v různých měřítkách



KVANTOVÉ OBJEKTY makroskopické

teleportace přes Dunaj



supravodiče, supratekuté helium
BE kondensace v atom. oblacích
kohese a chem. vazba v látkách

meso("nano")skopické
kvantové multivrstvy, kvant. tečky,
vortexové struktury, qubity

mikroskopické
molekuly
atomy a ionty

atomová jádra

subjaderné objekty

klasický
makrosvět

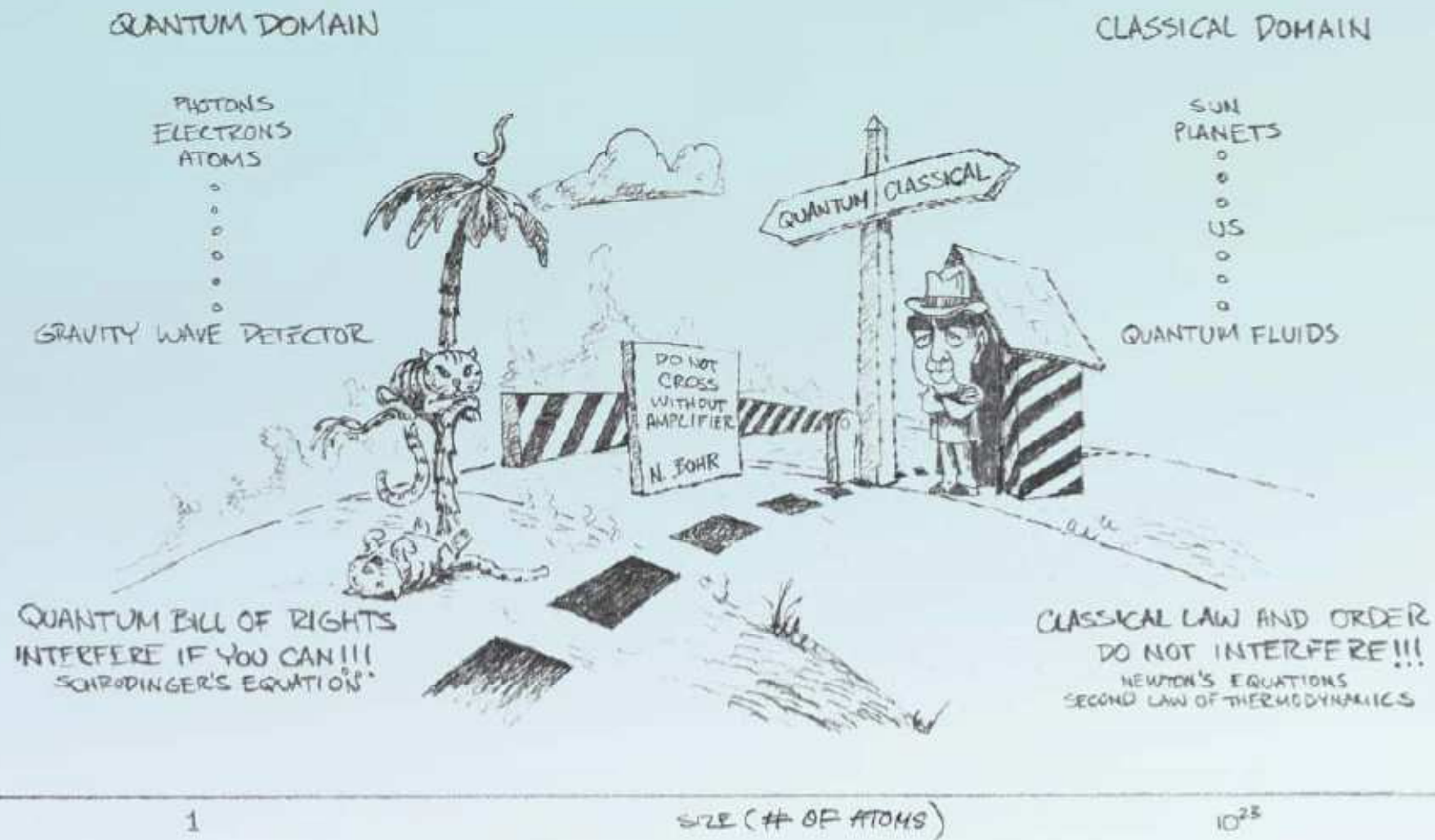
mesosvět

kvantový
mikrosvět

KVANTOVÉ ÚKAZY

- kvantování energií
- vlnové šíření –
interference, difrakce ...
- provázané stavy
- korelované chování
identických částic

THE BORDER TERRITORY



Klasický a kvantový svět

10^6 1 000 km

10^3 1 km

10^0 1 m

10^{-3} 1 mm

10^{-6} 1 μm

10^{-9} 1 nm

10^{-12} 1 pm

10^{-15} 1 fm

KVANTOVÉ OBJEKTY makroskopické

teleportace přes Dunaj

supravodiče, supratekuté helium
BE kondensace v atom. oblacích
kohese a chem. vazba v látkách

meso("nano")skopické
kvantové multivrstvy, kvant. tečky,
vortexové struktury, qubity

mikroskopické
molekuly
atomy a ionty

atomová jádra

subjaderné objekty

klasický
makrosvět

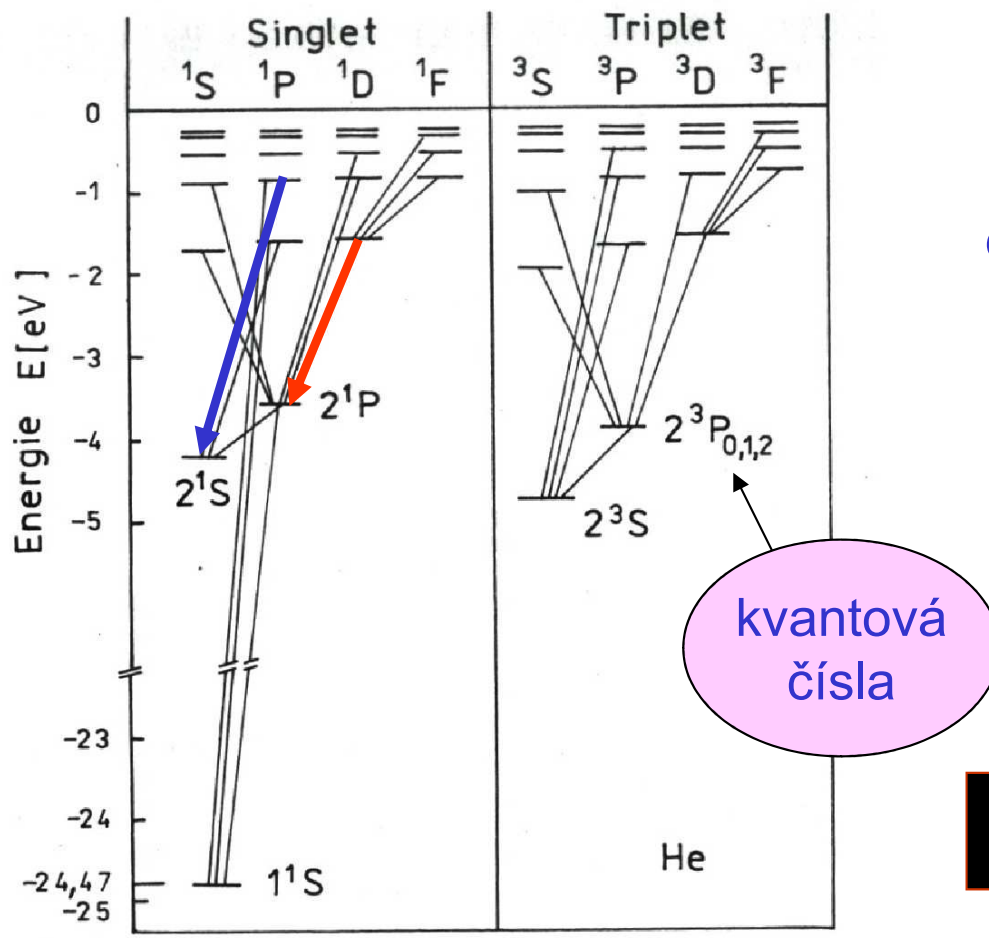
mesosvět

kvantový
mikrosvět

KVANTOVÉ ÚKAZY

- kvantování energií
- vlnové šíření –
interference, difrakce ...
- provázané stavy
- korelované chování
identických částic

Kvantování energie v atomu (helia)

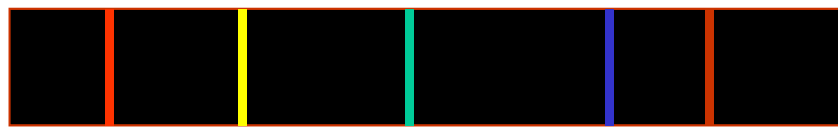


Bohrova podmínka

$$h\nu = E_1 - E_2$$

dává fotony s určitou energií,
čili ostré spektrální linie

Uvidíme něco takového:



| | |
|-----------------------|----------------|
| Celkový spin 0 | Celkový spin 1 |
| 2-elektronové hladiny | |

Klasický a kvantový svět

10^6 1 000 km

10^3 1 km

10^0 1 m

10^{-3} 1 mm

10^{-6} 1 μm

10^{-9} 1 nm

10^{-12} 1 pm

10^{-15} 1 fm

KVANTOVÉ OBJEKTY makroskopické

teleportace přes Dunaj

supravodiče, supratekuté helium
BE kondensace v atom. oblacích
kohese a chem. vazba v látkách

meso("nano")skopické
kvantové multivrstvy, kvant. tečky,
vortexové struktury, qubity

mikroskopické
molekuly
atomy a ionty

atomová jádra

subjaderné objekty

klasický
makrosvět

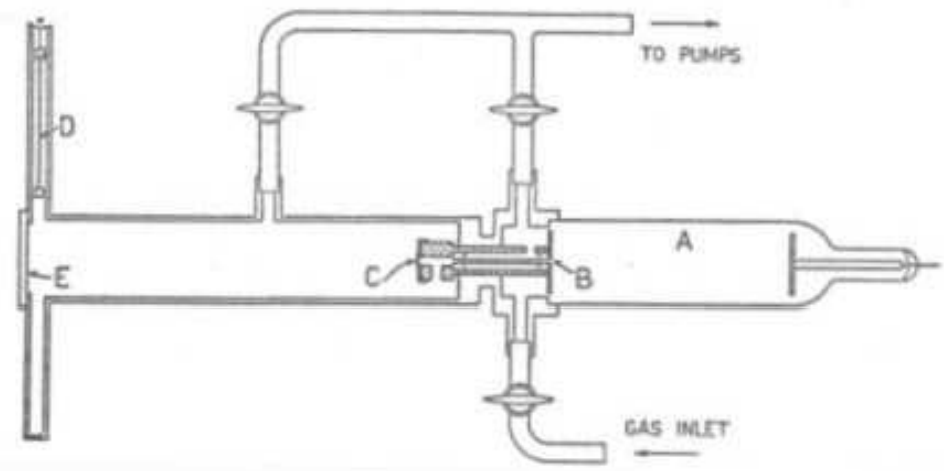
mesosvět

kvantový
mikrosvět

KVANTOVÉ ÚKAZY

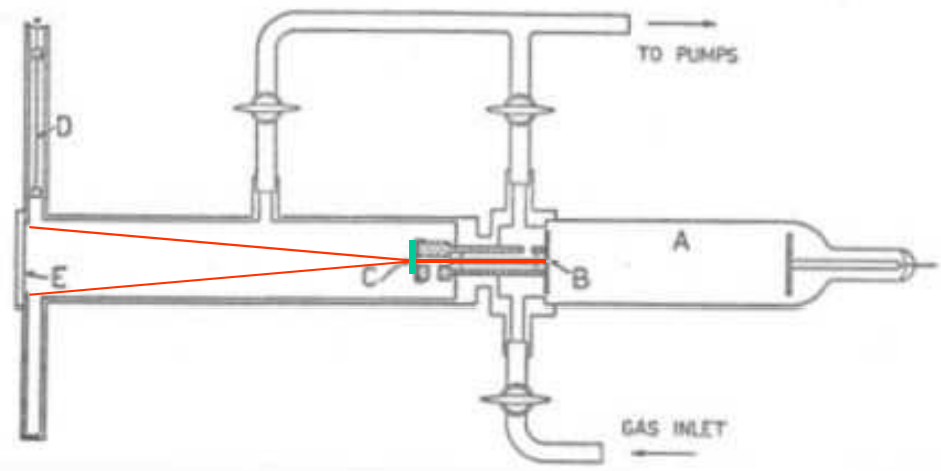
- kvantování energií
- vlnové šíření –
interference, difrakce ...
- provázané stavy
- korelované chování
identických částic

Difrakce rychlých elektronů na hliníkové folii



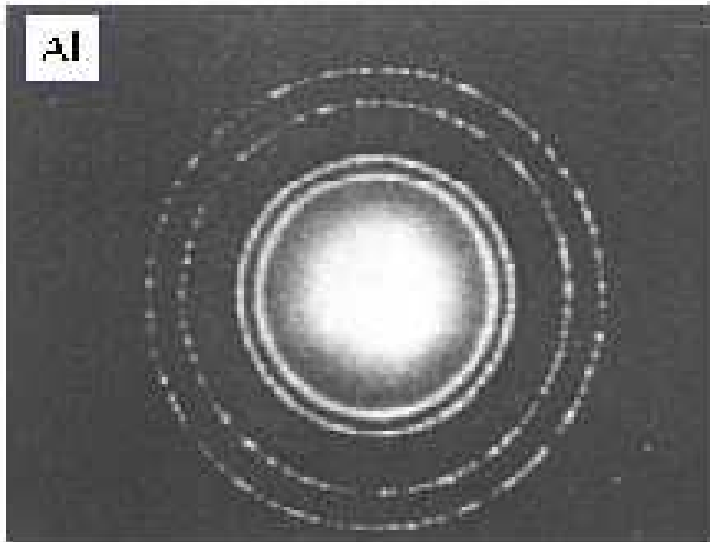
G.P. Thomson 1927

Difrakce rychlých elektronů na hliníkové folii

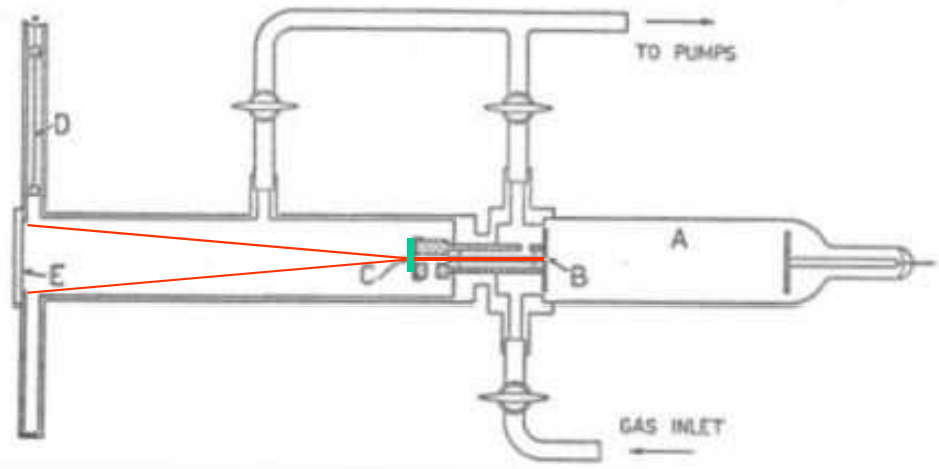


G.P. Thomson 1927 NP

elektrony

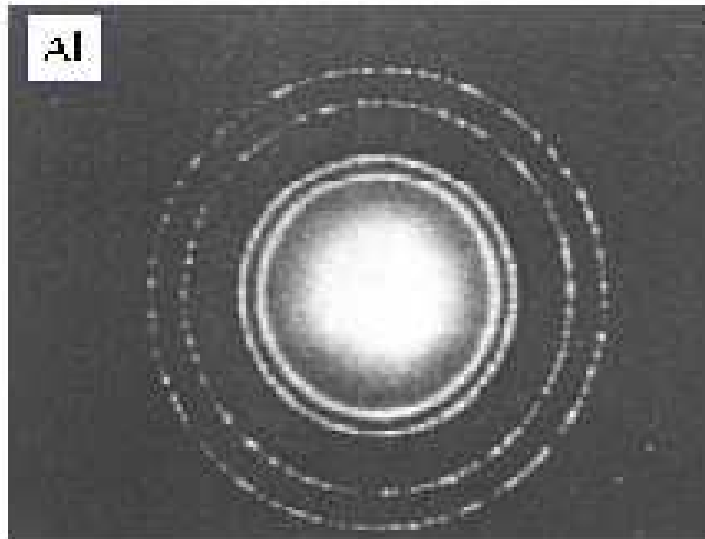


Difrakce rychlých elektronů na hliníkové folii

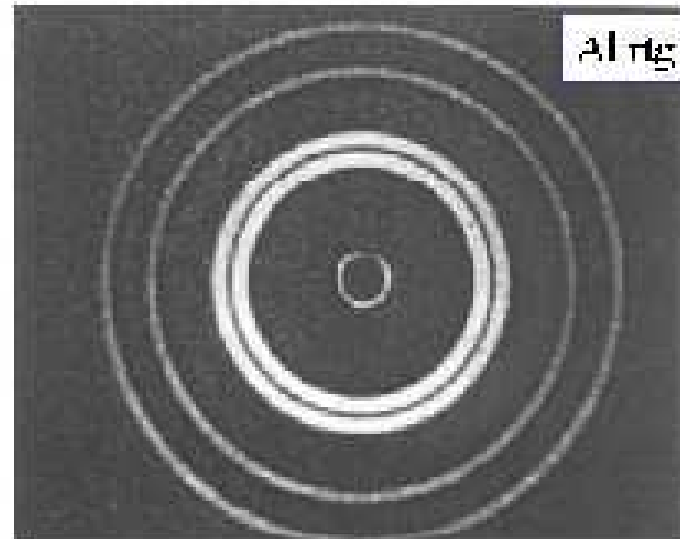


G.P. Thomson 1927 NP

elektrony

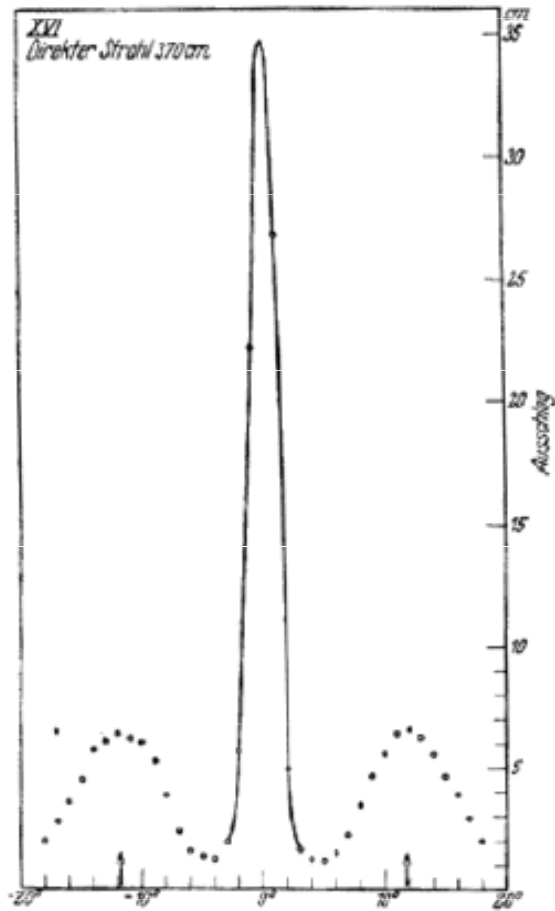


Röntgenovy paprsky

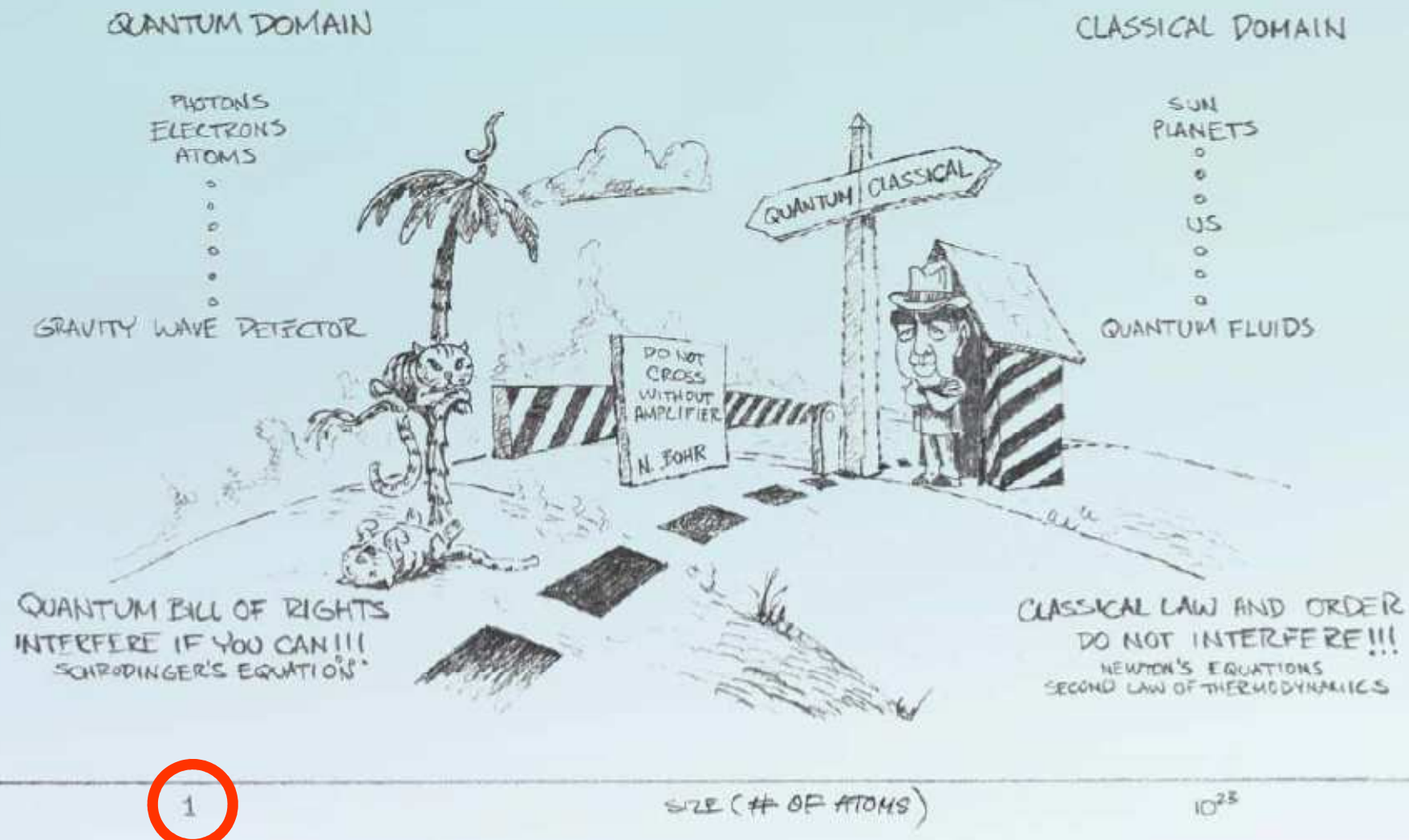


Difrakce atomu helia na krystalu LiF

Esterling a Stern
1930



THE BORDER TERRITORY



*Rozmazané rozmezí
klasického a kvantového světa*

To jest:
makroskopické se nekryje s klasickým,
mikroskopické se nekryje s kvantovým

Klasický a kvantový svět

10^6 1 000 km

10^3 1 km

10^0 1 m

10^{-3} 1 mm

10^{-6} 1 μm

10^{-9} 1 nm

10^{-12} 1 pm

10^{-15} 1 fm

KVANTOVÉ OBJEKTY makroskopické

teleportace přes Dunaj

supravodiče, supratekuté helium
BE kondensace v atom. oblacích
kohese a chem. vazba v látkách

meso("nano")skopické
kvantové multivrstvy, kvant. tečky,
vortexové struktury, qubity

mikroskopické

molekuly
atomy a ionty

atomová jádra

subjaderné objekty

klasický
makrosvět

mesosvět

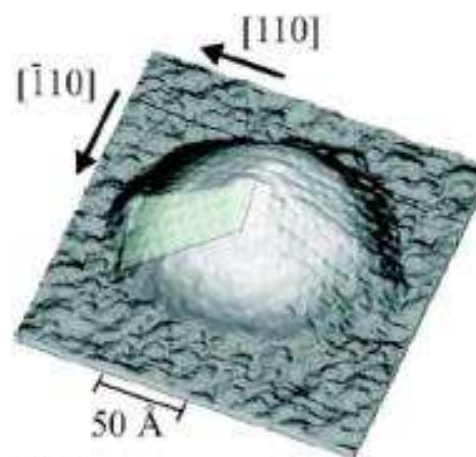
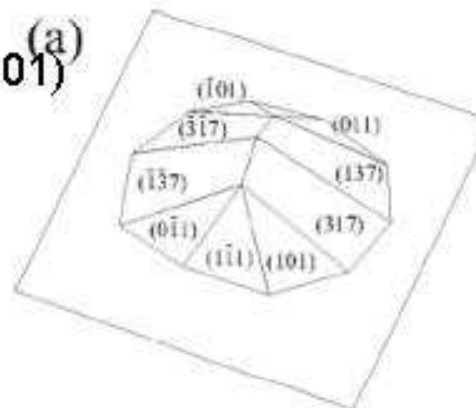
kvantový
mikrosvět

KVANTOVÉ ÚKAZY

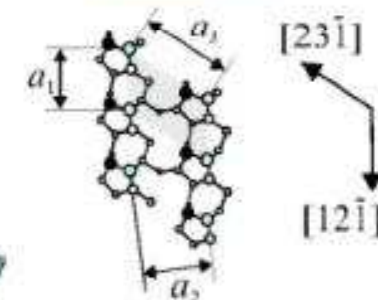
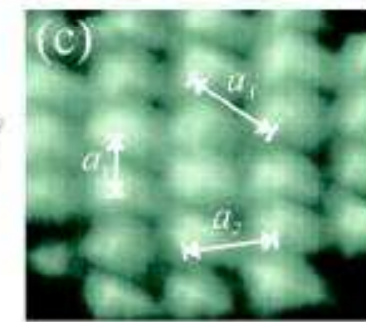
- kvantování energií
- vlnové šíření –
interference, difrakce ...
- provázané stavy
- korelované chování
identických částic

PŘEVZATO Z PŘEDNÁŠKY V. HOLÉHO

Kvantové tečky InAs na GaAs (001)
(STM)



(b)



$$a_1 = 6,5 \pm 0,1 \text{ \AA}$$

$$a_2 = 9,0 \pm 0,3 \text{ \AA}$$

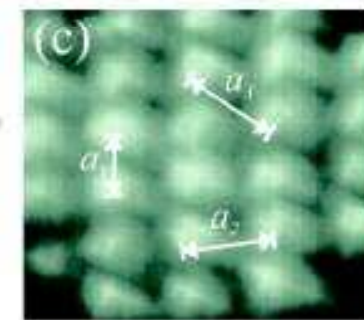
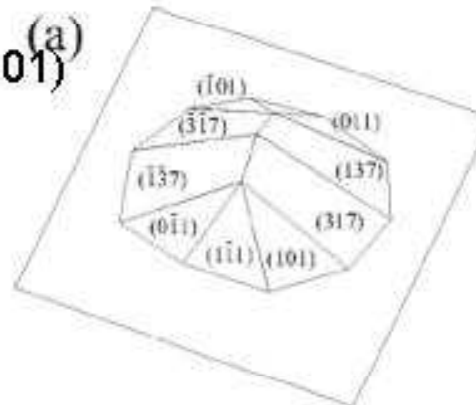
$$a_3 = 10,5 \pm 0,2 \text{ \AA}$$

$$\angle(a_1, a_2) = 82,4^\circ \pm 0,7^\circ$$

(d)

Kvantové tečky

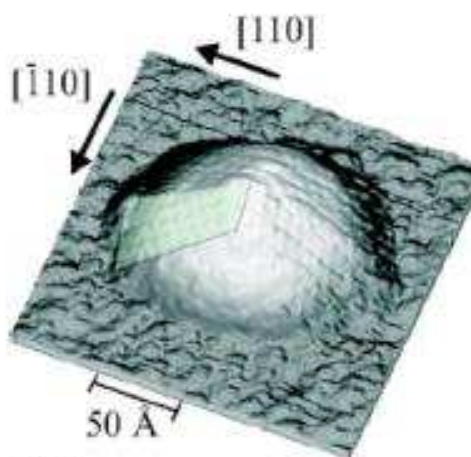
Kvantové tečky InAs na GaAs (001)
(STM)



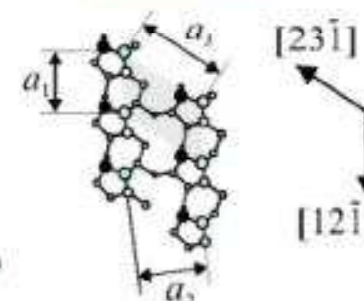
UMĚLÉ ATOMY
(dimenze 0)

průměr tečky 10 nm
průměr atomu 0.3 nm

elektrony jsou v
resonančních
vlnových stavech
s kvantovanou
energií



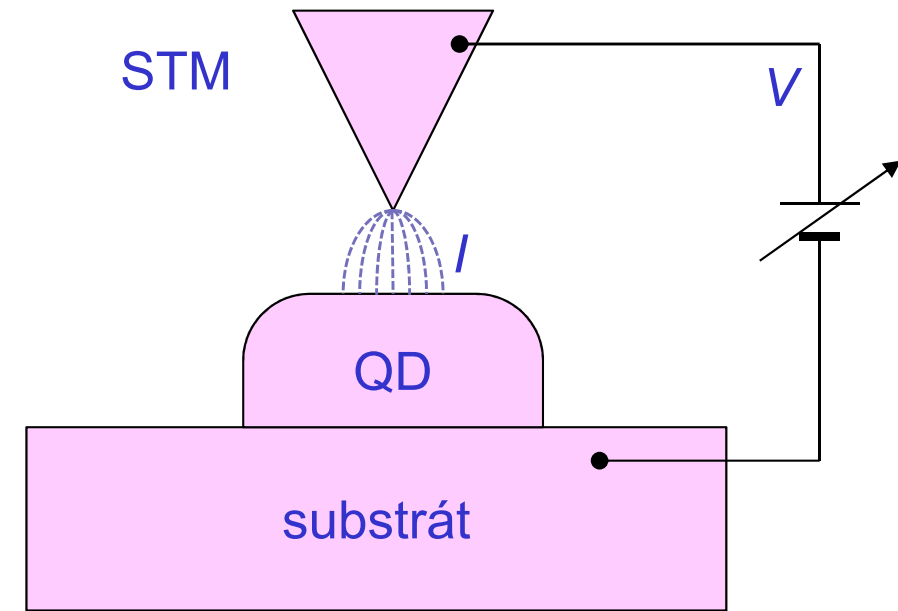
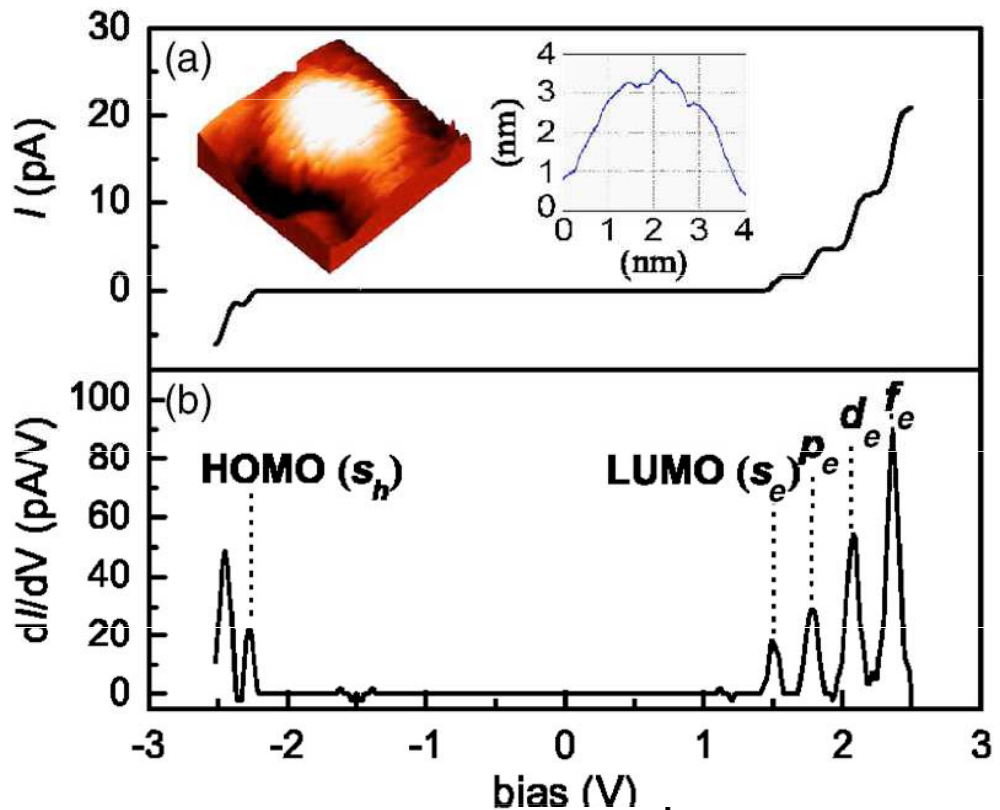
(b)



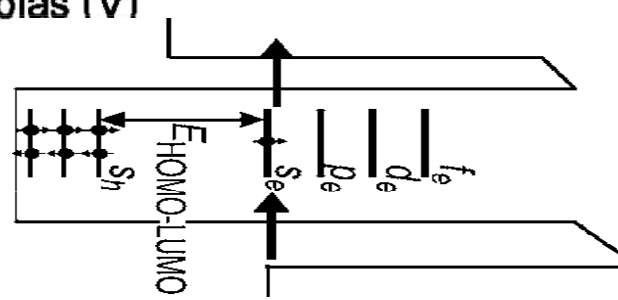
(d)

$$\begin{aligned}a_1 &= 6,5 \pm 0,1 \text{ \AA} \\a_2 &= 9,0 \pm 0,3 \text{ \AA} \\a_3 &= 10,5 \pm 0,2 \text{ \AA} \\\Delta(a_1, a_2) &= 82,4^\circ \pm 0,7^\circ\end{aligned}$$

Kvantová tečka v CdSe



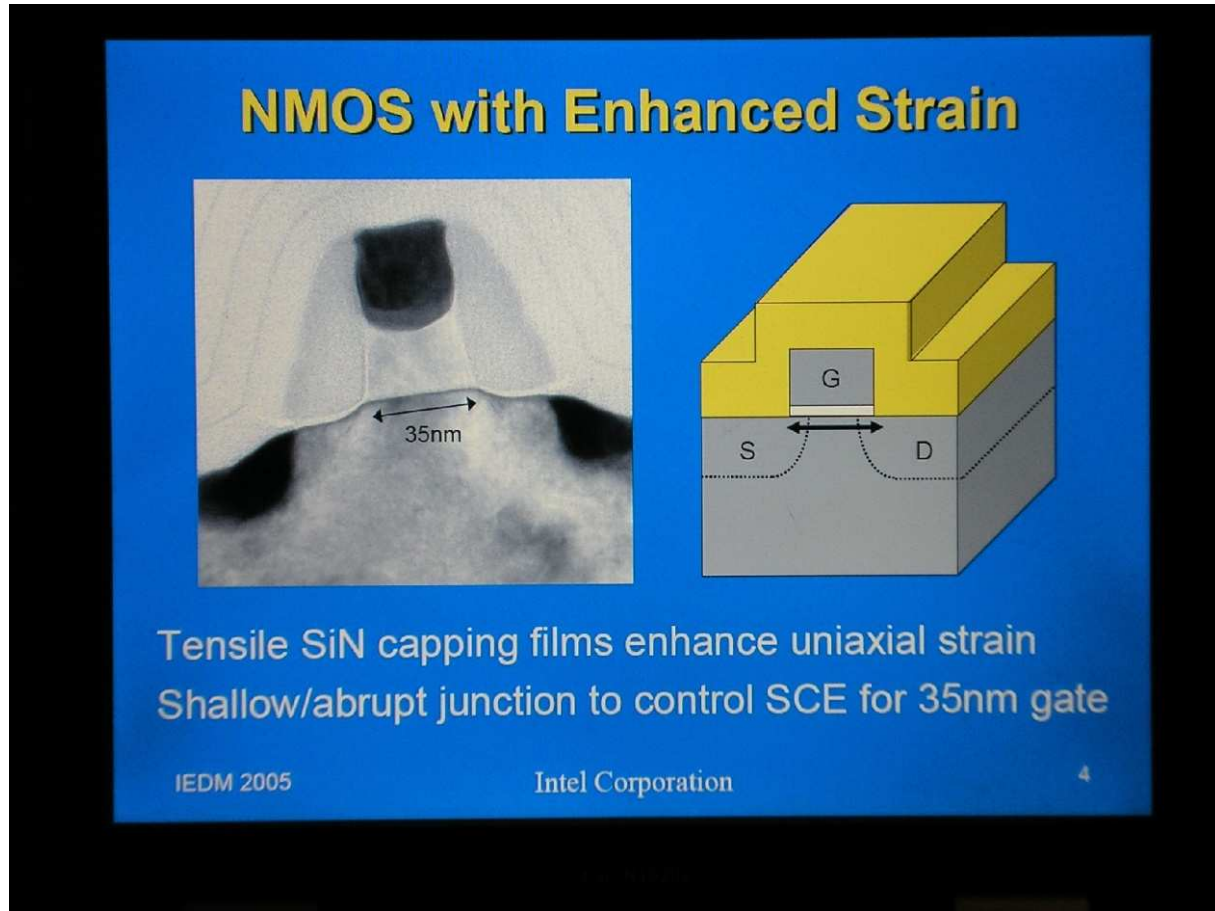
Sample bias > 0
 Γ_{out}
 Γ_{in}



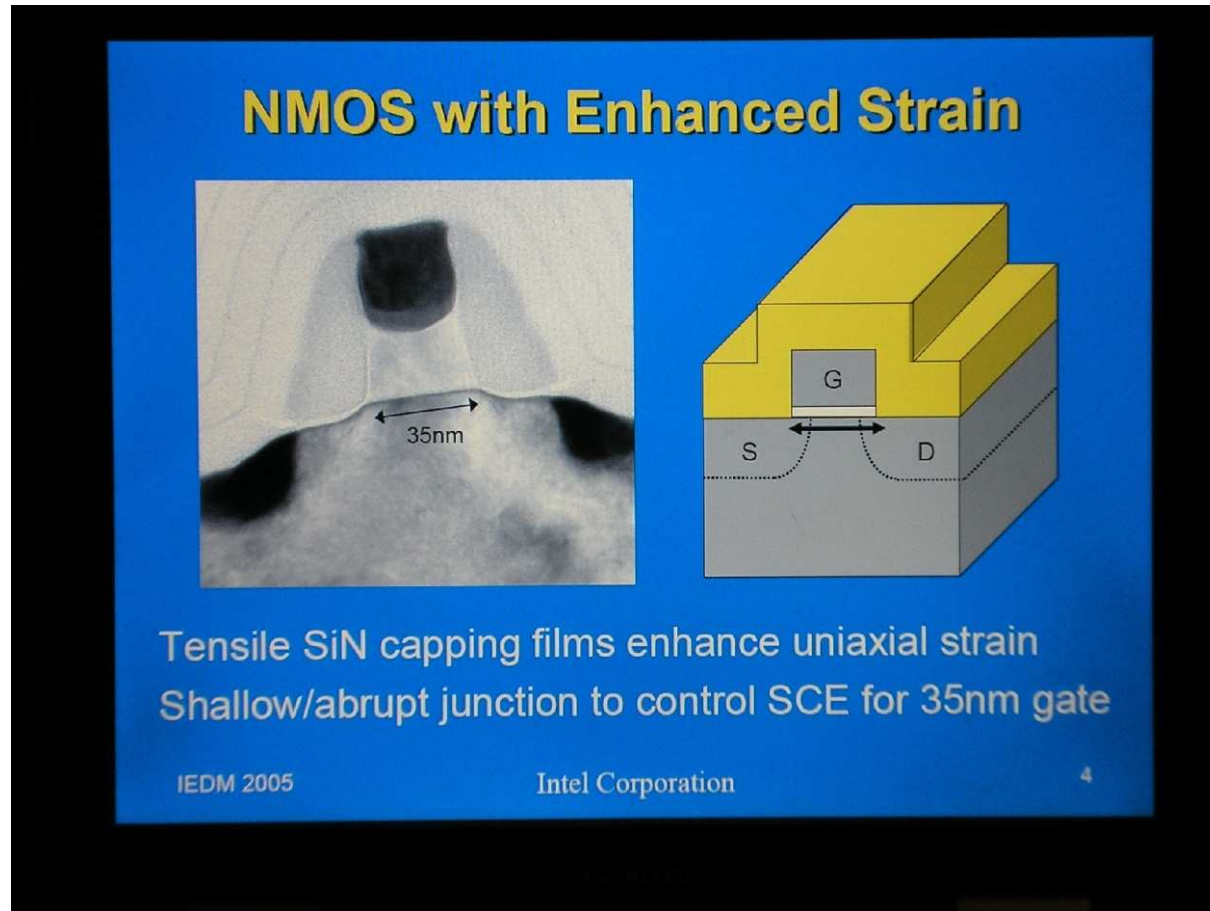
*Rozmazané rozmezí
klasického a kvantového světa*

V MOSFETech i při dnešním stupni miniaturisace (ULSI) se elektrony řídí (semi)klasickými zákony pohybu

Technologie 65 nm firmy Intel

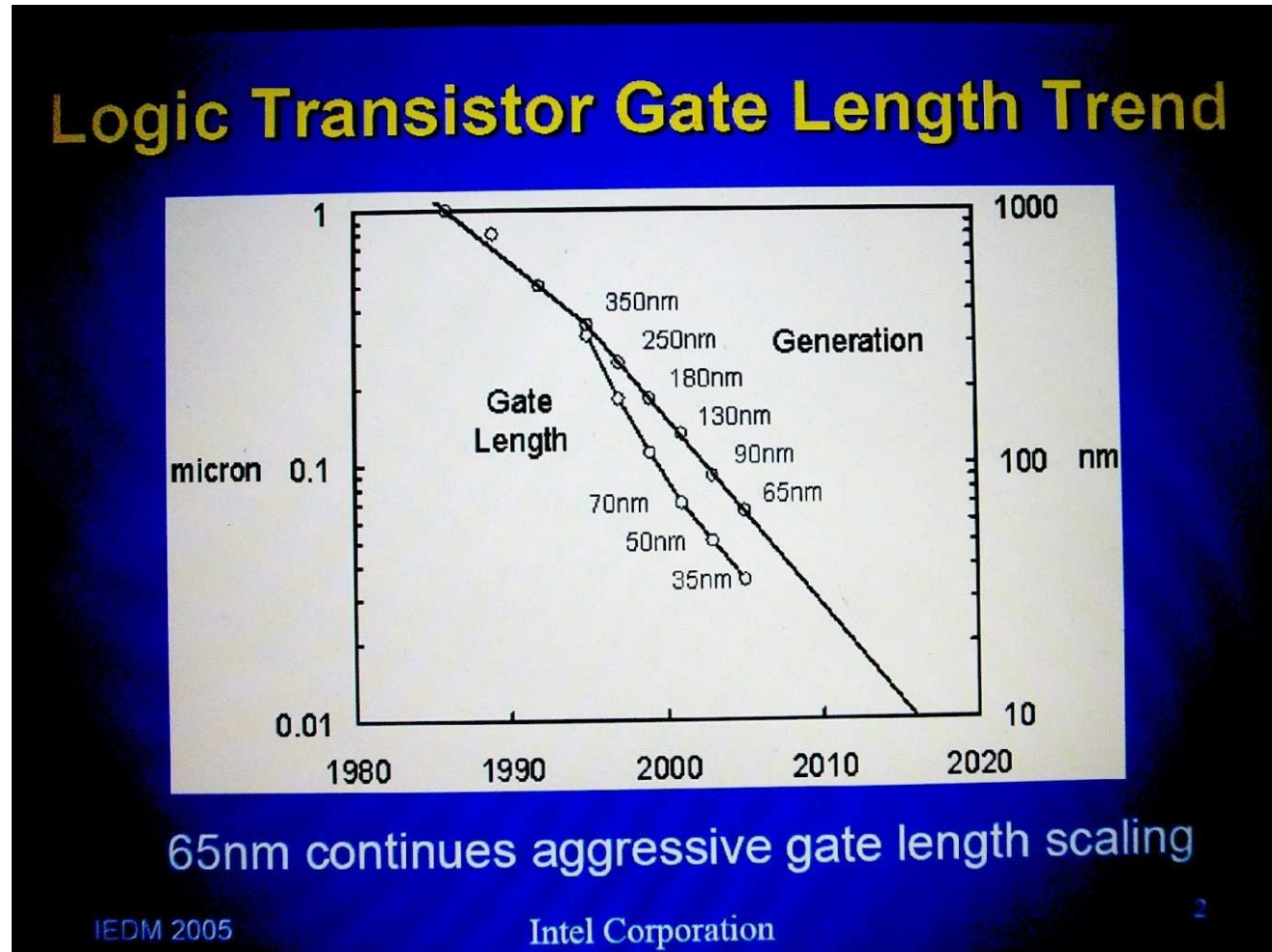


Technologie 65 nm firmy Intel

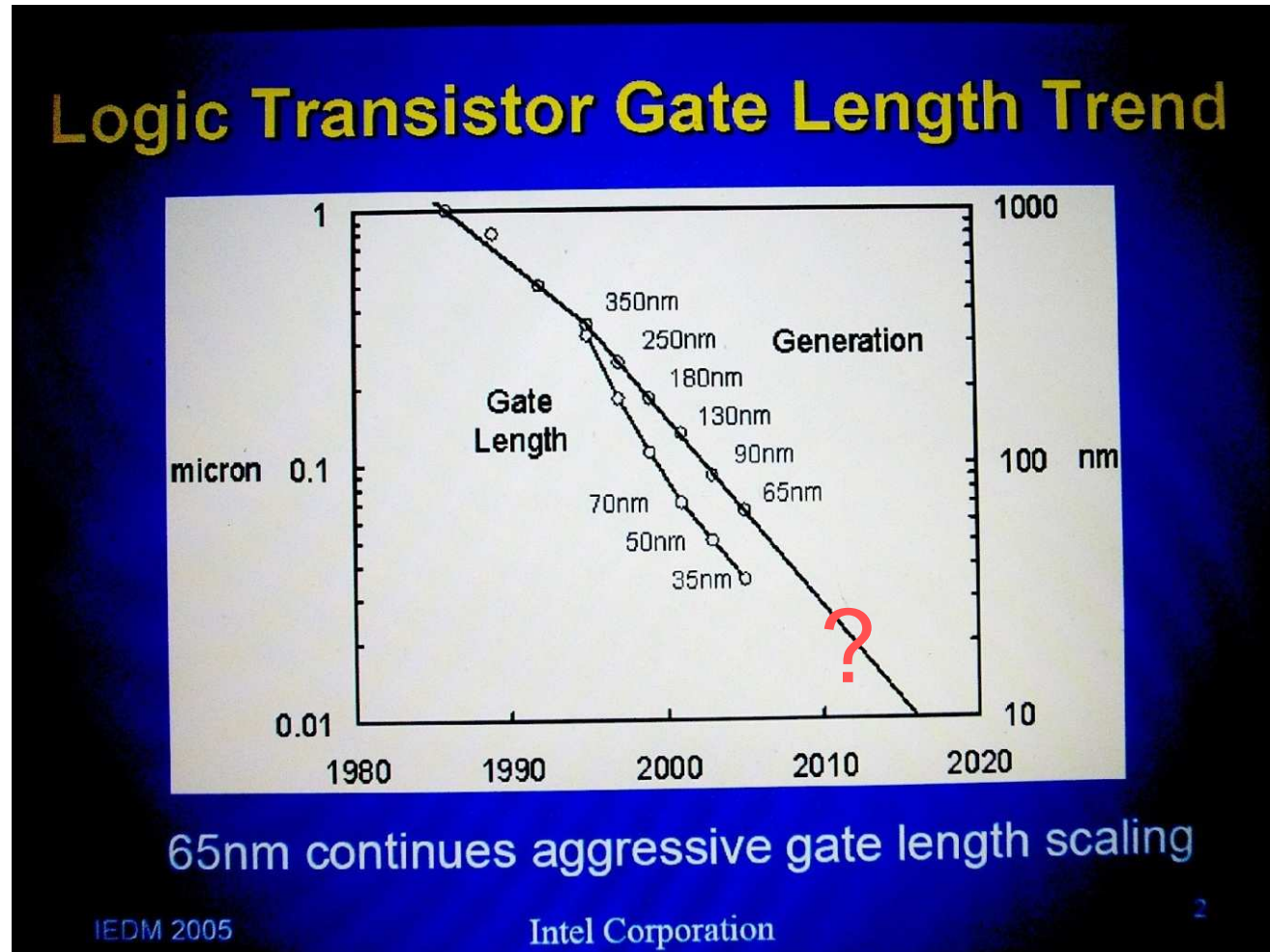


Elektrony jsou zde jako malé nabité kuličky, které přenášejí proud

Technologie 65 nm firmy Intel

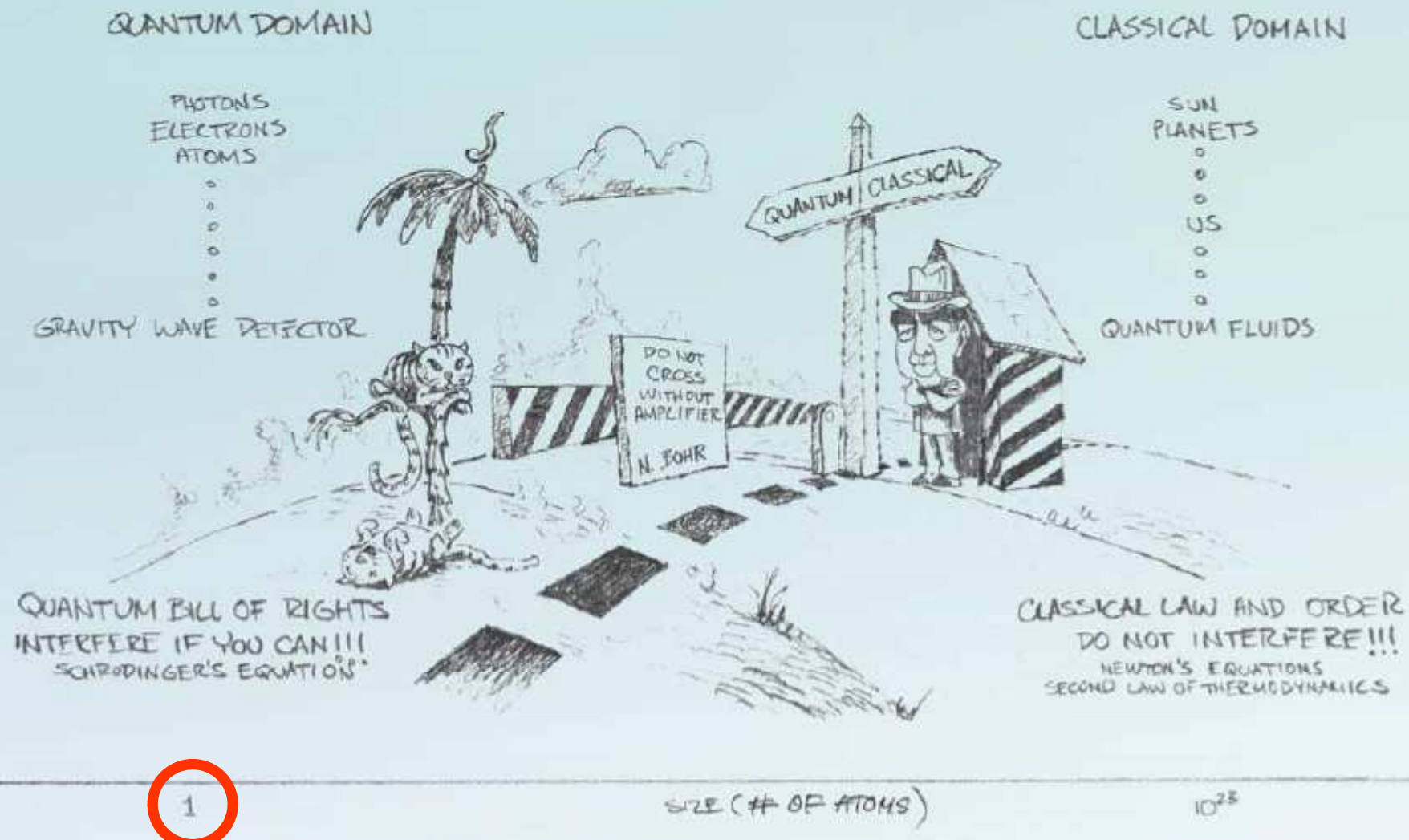


Technologie 65 nm firmy Intel

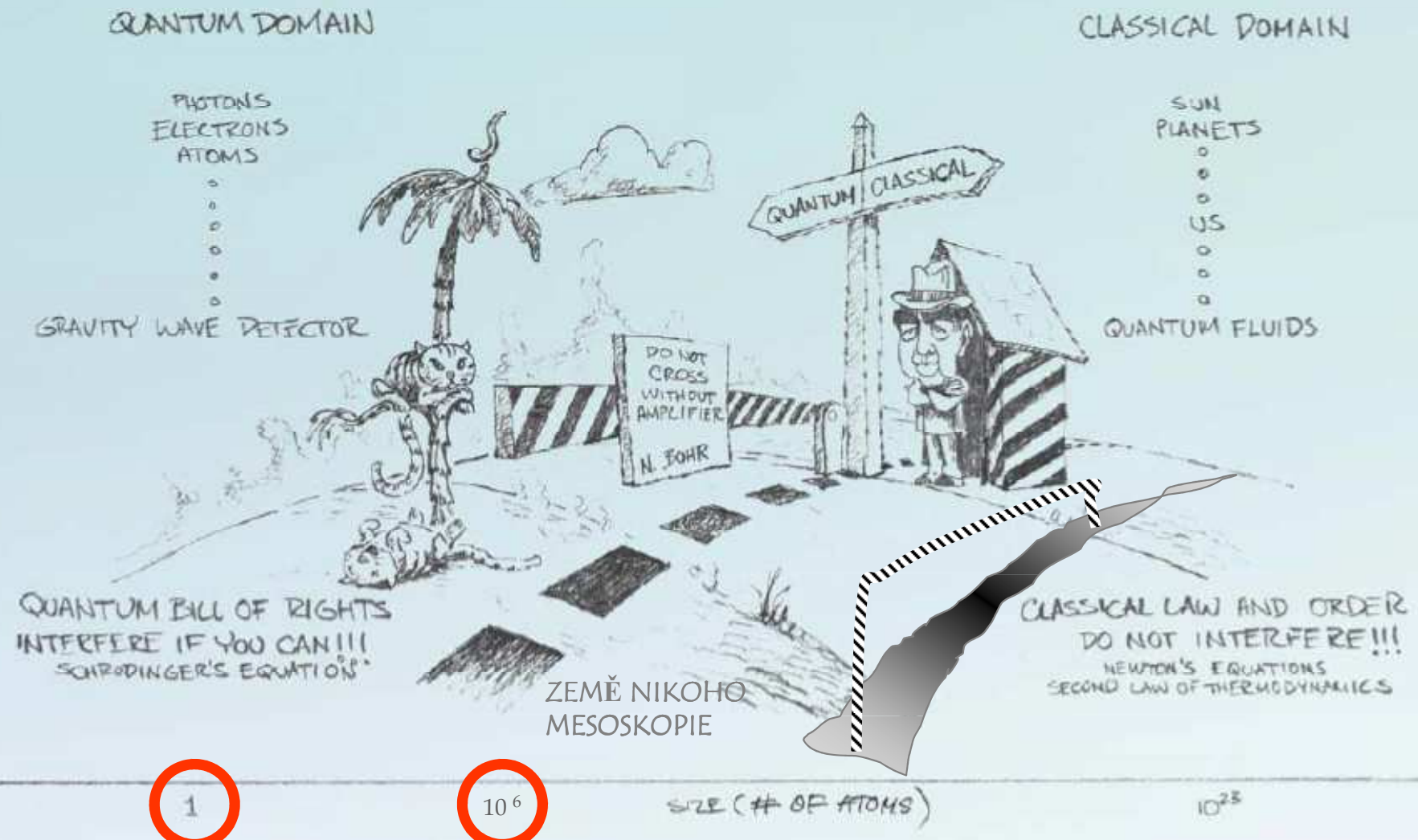


Postupné nenápadné přibližování ke kvantové limitě

THE BORDER TERRITORY



THE BORDER TERRITORY



Kvantové objekty a úkazy v makrosopickém světě

Ještě výrazněji:
makroskopické se nekryje s klasickým,
mikroskopické se nekryje s kvantovým

Klasický a kvantový svět

10^6 1 000 km

10^3 1 km

10^0 1 m

10^{-3} 1 mm

10^{-6} 1 μm

10^{-9} 1 nm

10^{-12} 1 pm

10^{-15} 1 fm

KVANTOVÉ OBJEKTY makroskopické

teleportace přes Dunaj

supravodiče, supratekuté helium
BE kondensace v atom. oblacích
kohese a chem. vazba v latkách

meso("nano")skopické
kvantové multivrstvy, kvant. tečky,
vortexové struktury, qubity

mikroskopické
molekuly
atomy a ionty

atomová jádra

subjaderné objekty

klasický
makrosvět

mesosvět

kvantový
mikrosvět

KVANTOVÉ ÚKAZY

- kvantování energií
- vlnové šíření –
interference, difrakce ...
- provázané stavy
- korelované chování
identických částic

Bose-Einsteinova kondensace atomů v pastech

Obláček atomů (alkalických kovů) za extrémně nízkých teplot přejde do zvláštního stavu – BE kondensátu, ve kterém všechny atomy se pohybují naprosto shodně, koherentně a dohromady vytvoří makroskopickou vlnovou funkci

objeveno 1995

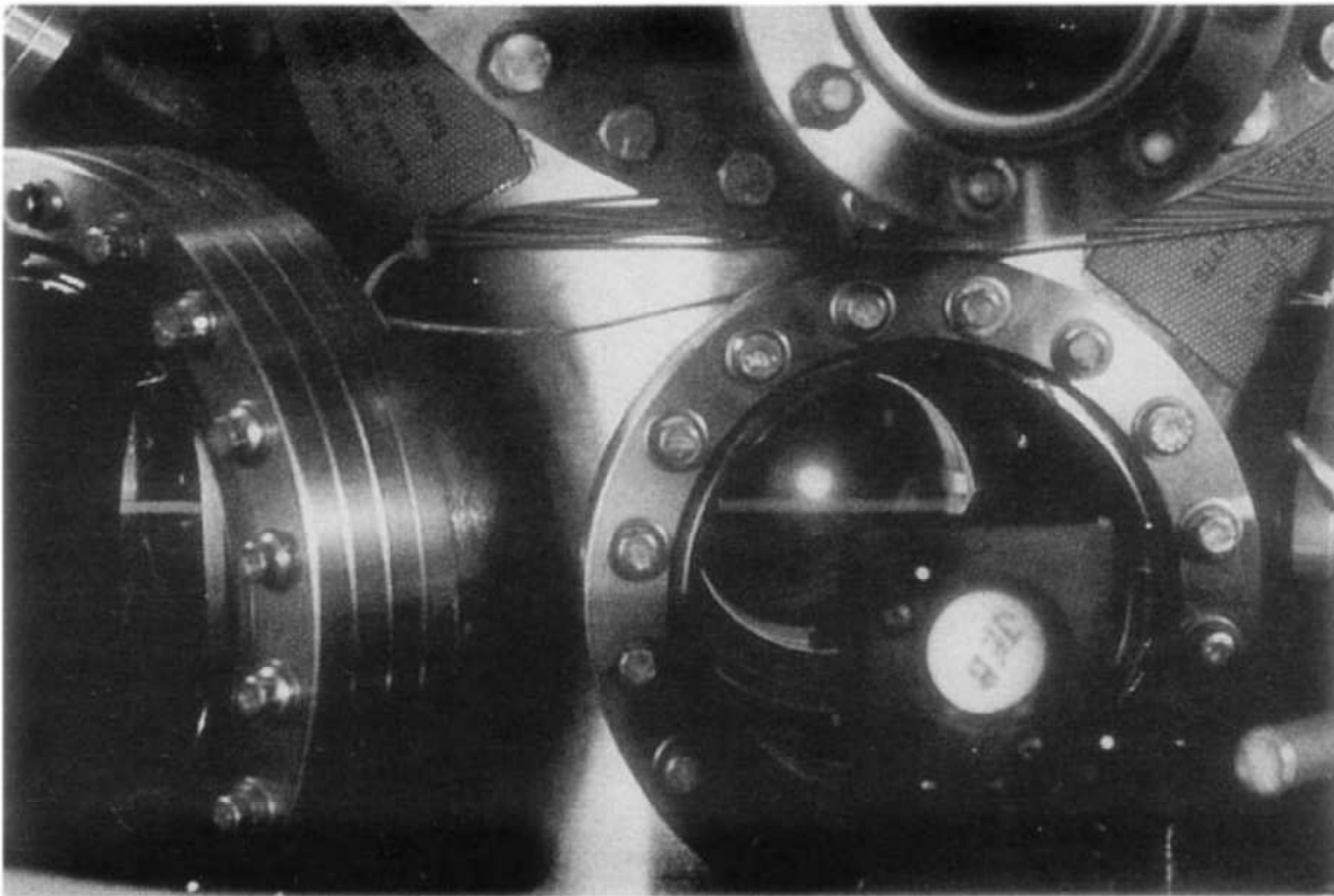
Nobelova cena 2001

Příbuzný jev – supratekutost znám v kapalném heliu od 30tých let

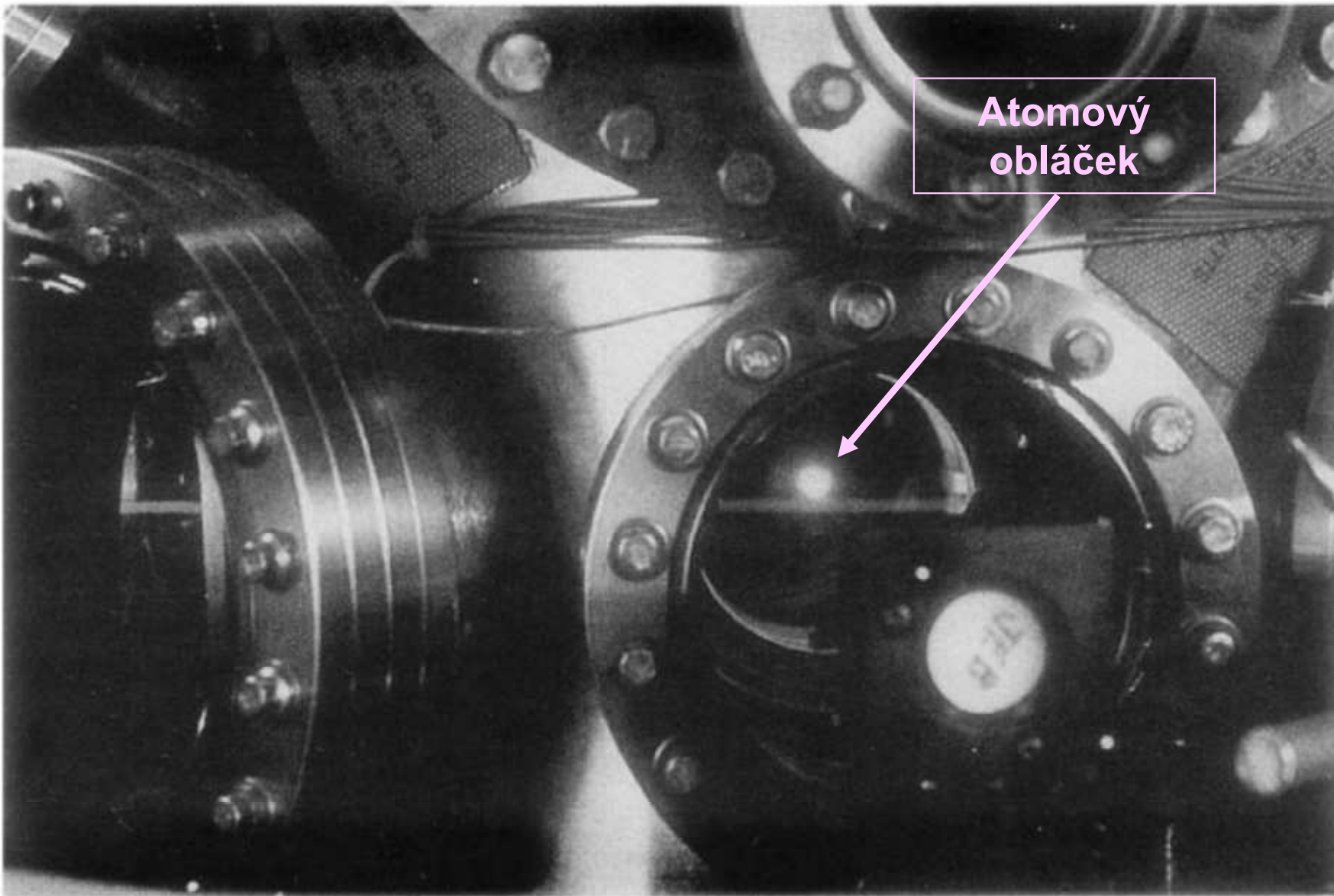
PŘIBLIŽNÉ ÚDAJE KRITICKÝCH TEPLIT

| system | M | n | T_c |
|-----------|-----|--------------------|--------------|
| He liquid | 4 | 2×10^{28} | 1.47 K |
| Na trap | 23 | 2×10^{20} | 1.19 μ K |
| Rb trap | 87 | 2×10^{17} | 3.16 nK |

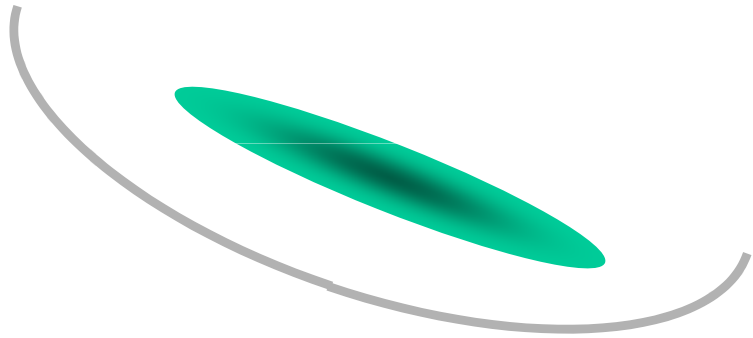
Atomový obláček



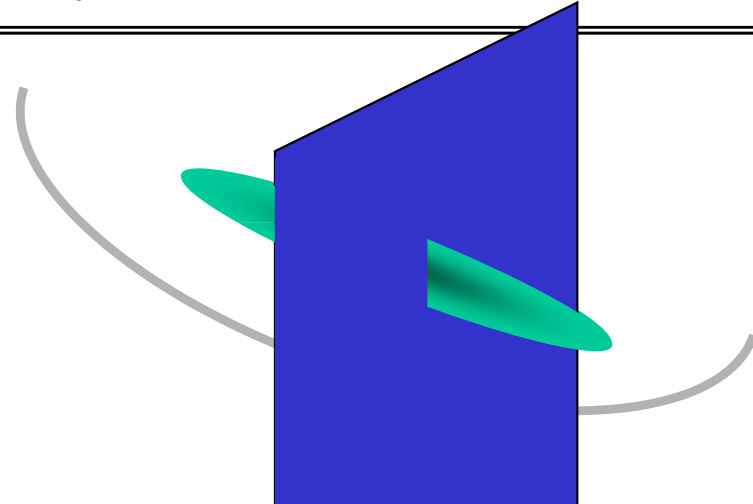
Atomový obláček



Princip experimentu s interferencí atomů



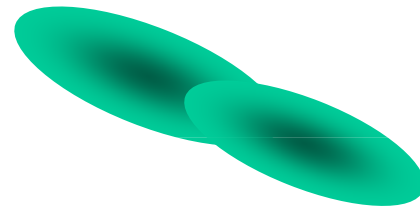
1. Atomový obláček vytvořený v pasti



2. Rozdělen na dvě části laserem



3. Past a laser vypnuty



4. Oba obláčky se roztečkají, pronikají navzájem a interferují

Interference atomů BE zkondensovaných v pastech

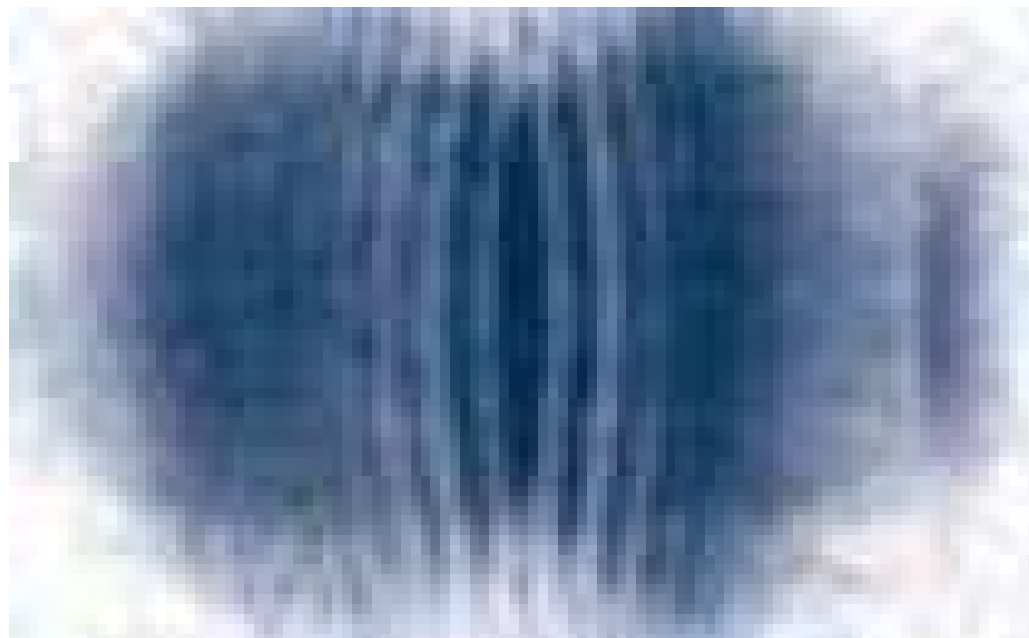
Atomy sodíku vytvářejí makroskopickou vlnovou funkci

Experimentální důkaz:

Dvě části obláčku rozdělené a opět se prolínající spolu interferují. Jsou to tedy koherentní (makroskopické) vlny

Vlnová délka v řádu desetin milimetru

experiment ve skupině Ketterle a spol.



Klasický a kvantový svět

10^6 1 000 km

10^3 1 km

10^0 1 m

10^{-3} 1 mm

10^{-6} 1 μm

10^{-9} 1 nm

10^{-12} 1 pm

10^{-15} 1 fm

KVANTOVÉ OBJEKTY makroskopické

teleportace přes Dunaj

supravodiče, supratekuté helium
BE kondensace v atom. oblacích
kohese a chem. vazba v látkách

meso("nano")skopické
kvantové multivrstvy, kvant. tečky,
vortexové struktury, qubity

mikroskopické
molekuly
atomy a ionty

atomová jádra

subjaderné objekty

klasický
makrosvět

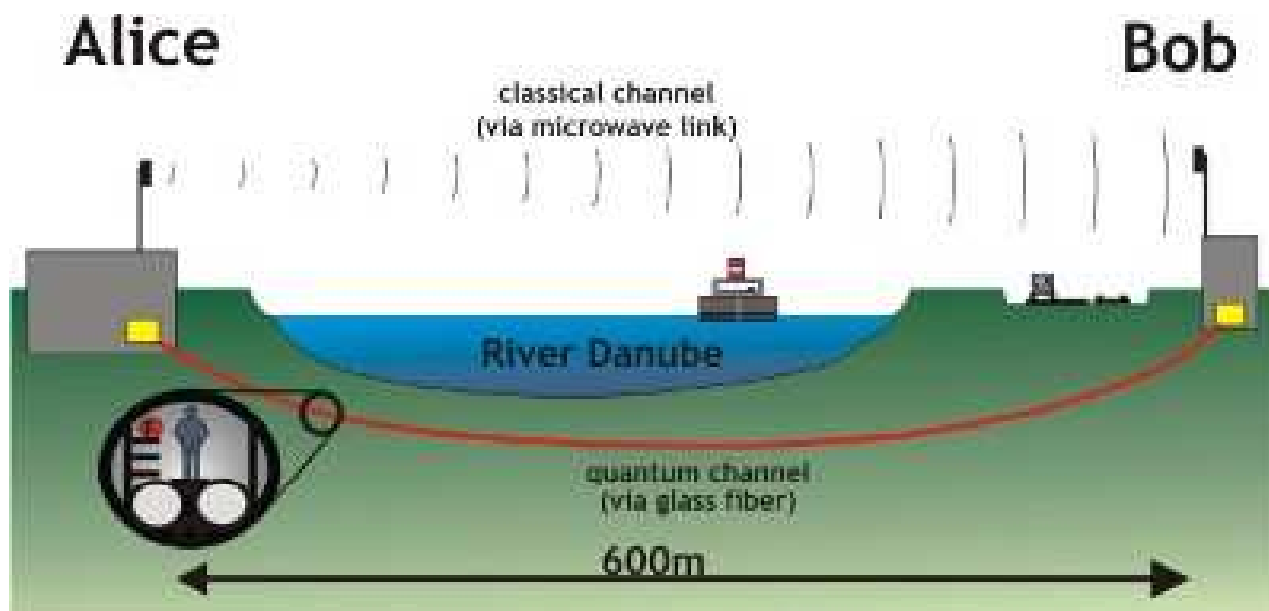
mesosvět

kvantový
mikrosvět

KVANTOVÉ ÚKAZY

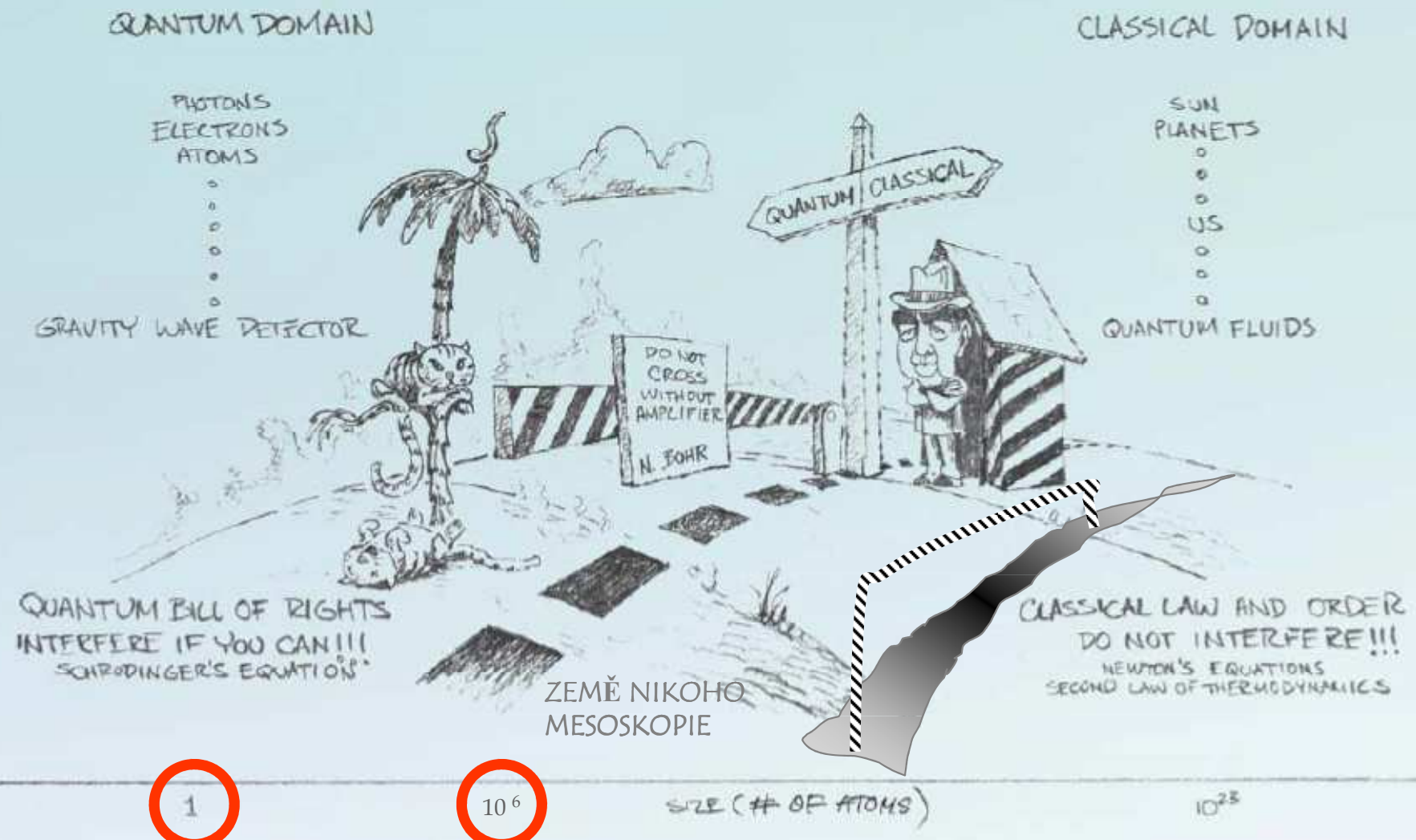
- kvantování energií
- vlnové šíření –
interference, difrakce ...
- provázané stavy
- korelované chování
identických částic

Kvantová teleportace fotonů



R. Ursin et.al: *Quantum Teleportation link across the Danube*, *Nature* **430**, 849 (2004)

THE BORDER TERRITORY



THE BORDER TERRITORY

QUANTUM DOMAIN

CLASSICAL DOMAIN

PHOTONS
ELECTRONS
ATOMS
⋮
⋮
⋮
⋮

GRAVITY WAVE DETECTOR

QUANTUM BILL OF RIGHTS
INTERFERE IF YOU CAN!!!
SCHRÖDINGER'S EQUATION

KVANTOVÉ PROVÁZÁNÍ

QUANTUM CLASSICAL

DO NOT CROSS
WITHOUT AMPLIFIER
N. JOHR

SUN
PLANETS
⋮
⋮
⋮
⋮

KVANTOVÉ
KAPALINY

PODIVNÝ
SEZNAM

NO-MAN'S LAND
MESOSCOPY

CLASSICAL LAW AND ORDER
DO NOT INTERFERE!!!
NEWTON'S EQUATIONS
SECOND LAW OF THERMODYNAMICS

1

10^6

10^{23}

SIZE (# OF ATOMS)

Planckova konstanta

Samotná velikost objektů není tedy rozhodující pro jejich kvantové chování.

Obecné kriterium je spíše, jak důležitá je pro daný problém Planckova konstanta.

Planckova konstanta

$$\hbar \approx 1,05 \times 10^{-34} \text{ Js}$$

Planckova konstanta

$$\hbar \approx 1,05 \times 10^{-34} \text{ Js}$$

- hodně malé číslo
- rozměr energie × čas = akce = délka × hybnost = moment hybnosti
- Planck původně zavedl $h = 2\pi\hbar$

Planckova konstanta

$$\hbar \approx 1,05 \times 10^{-34} \text{ Js}$$

$$1,05457168(18) \times 10^{-34} \text{ Js}$$

CODATA recomm. value

- hodně malé číslo
- rozměr energie × čas = akce = délka × hybnost = moment hybnosti
- Planck původně zavedl $h = 2\pi\hbar$
- dnes již známo s velkou přesností

Více rolí Planckovy konstanty

1. Jako převodní koeficient $E = \hbar\omega = h\nu$ Planckův vztah
2. Jako charakteristická mezní $\Delta x \cdot \Delta p \geq \hbar$ relace neurčitosti veličina
3. V základních rovnicích $[x, p] = i\hbar$ $i\hbar\partial_t\psi = H\psi$

Planckova konstanta

$$\hbar \approx 1,05 \times 10^{-34} \text{ Js}$$

$$1,05457168(18) \times 10^{-34} \text{ Js}$$

CODATA recomm. value

- hodně malé číslo
- rozměr energie × čas = akce = délka × hybnost = moment hybnosti
- Planck původně zavedl $h = 2\pi\hbar$
- dnes již známo s velkou přesností

Více rolí Planckovy konstanty

1. Jako převodní koeficient $E = \hbar\omega = h\nu$ Planckův vztah
2. Jako charakteristická mezní $\Delta x \cdot \Delta p \geq \hbar$ relace neurčitosti veličina
3. V základních rovnicích $[x, p] = i\hbar$ $i\hbar\partial_t \psi = H\psi$

DNES NE, MÍSTO TOHO
BOHROVA TEORIE VODÍKU

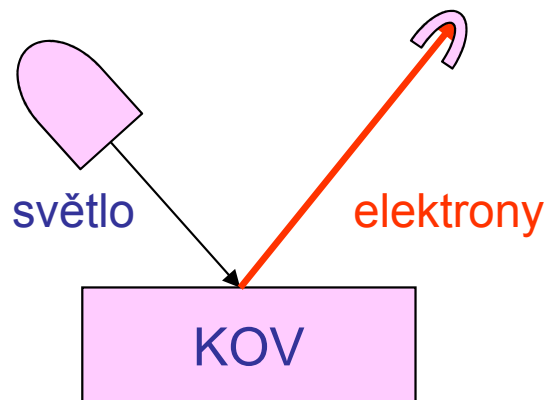
1. Planckova konstanta jako převodní koeficient

$$E = \hbar\omega = h\nu \quad \text{Planckův vztah}$$

Překlad mezi jazyky dvou teorií ... most C \leftrightarrow Q

„Světlo o frekvenci ν je tvořeno fotony o energii E “

Tak uvažoval Einstein při vysvětlení **fotoefektu**



elektrony vyletují jen pro $\nu > \nu_0$

Důvod: $h\nu_0 \equiv W$ je **výstupní práce elektronu**

foton musí mít energii větší, aby ho vyval.

Einstein 1905 ... NP

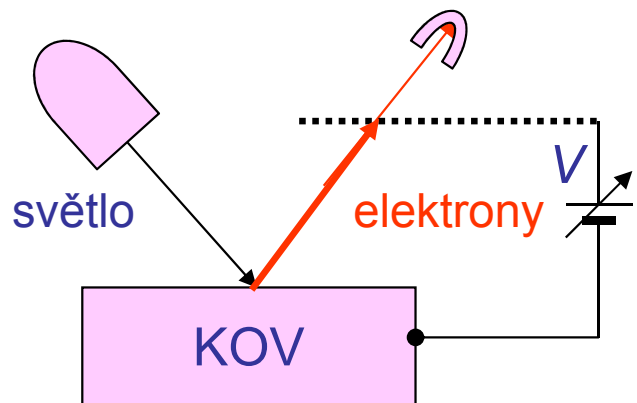
1. Planckova konstanta jako převodní koeficient

$$E = \hbar\omega = h\nu \quad \text{Planckův vztah}$$

Překlad mezi jazyky dvou teorií ... most C ↔ Q

„Světlo o frekvenci ν je tvořeno fotony o energii E “

Tak uvažoval Einstein při vysvětlení **fotoefektu**



elektrony vyletují jen pro $\nu > \nu_0$

Důvod: $h\nu_0 \equiv W$ je **výstupní práce elektronu**
foton musí mít energii větší, aby ho vyval.

Einstein 1905 ... NP

Experiment zejména Lenard NP

Určení energie elektronu ... brzdný potenciál

$$E_{\text{kin}} = h\nu - W = e \cdot V \quad \longrightarrow \quad \text{elektronvolt}$$

Odbočka: děsivé hodnoty a šikovné jednotky

Uvažme, že

$$m_e = 9.11 \times 10^{-31} \text{ kg}$$

$$e = 1.60 \times 10^{-19} \text{ C}$$

$$\hbar = 1.05 \times 10^{-34} \text{ Js}$$

Je rozumné si zavést jednotky atomistice přiměřené.

Např. (v rámci zákonné soustavy SI)

nm, eV, fs

1 eV je energie, kterou elementární náboj získá při

průchodu potenciálním rozdílem 1 V,

$$1 \text{ eV} = 1.60 \times 10^{-19} \text{ J}$$

Pak vyjde neobyčejně šikovně

$$\hbar = 0.66 \text{ eVfs}$$

$$m_e = 5.7 \text{ eVfs}^2 \text{ nm}^{-2}$$

Odbočka: děsivé hodnoty a šikovné jednotky

Uvažme, že

$$m_e = 9.11 \times 10^{-31} \text{ kg}$$

$$e = 1.60 \times 10^{-19} \text{ C}$$

$$\hbar = 1.05 \times 10^{-34} \text{ Js}$$

Je rozumné si zavést jednotky atomistice přiměřené.

Např. (v rámci zákonné soustavy SI)

nm, eV, fs

1 eV je energie, kterou elementární náboj získá při
průchodu potenciálním rozdílem 1 V,

$$1 \text{ eV} = 1.60 \times 10^{-19} \text{ J}$$

Pak vyjde neobyčejně šikovně

$$\hbar = 0.66 \text{ eVfs} \quad m_e = 5.7 \text{ eVfs}^2 \text{ nm}^{-2}$$

Ještě lepší je přejít k **přirozeným jednotkám**

$$m_e = e = \hbar = 1 \dots \text{za chvíli}$$

2. Planckova konstanta jako hraniční hodnota

$$\Delta x \cdot \Delta p \geq \hbar \quad \text{relace neurčitosti}$$

Matematické vyjádření Heisenbergova principu

KVANTOVÝ EXPERIMENT



opakované měření souřadnice $\rightarrow x_\ell \rightarrow \frac{1}{N} \sum x_\ell \rightarrow \langle x \rangle$ střední hodnota
 $(\Delta x)^2 = \langle (x - \langle x \rangle)^2 \rangle$ neurčitost

opakované měření hybnosti $\rightarrow p_\ell \rightarrow \frac{1}{N} \sum p_\ell \rightarrow \langle p \rangle$ střední hodnota
 $(\Delta p)^2 = \langle (p - \langle p \rangle)^2 \rangle$ neurčitost

$$\Delta x \cdot \Delta p \geq \frac{1}{2} \hbar$$

Relace neurčitosti -- aplikace

$$\Delta x \cdot \Delta p \geq \hbar \quad \text{relace neurčitosti}$$

Propojíme prostorovou rozehlost L a energii E vázaného stavu částice o hmotnosti m

... kriterium ultrakvantového režimu

1. krok kinetická energie částice ve vázaném stavu (v potenciál. jámě)

$$mE_{\text{kin}} \square (\Delta p)^2$$

energie kvant. fluktuací

2. krok odhad z relace neurčitosti

$$\Delta p \square \frac{\hbar}{\Delta x} \square \frac{\hbar}{L}$$

~ příznak
ultrakvantového stavu

3. krok kinetická a celková energie stejného rádu

$$m \cdot E \cdot L^2 \square \hbar^2$$

Platí pro coulombickou
interakci:

⇒ Stabilita atomů a
hmoty vůbec

Relace neurčitosti -- aplikace

$$\Delta x \cdot \Delta p \geq \hbar \quad \text{relace neurčitosti}$$

Propojíme prostorovou rozlehlosť L a energiu E vázaného stavu časticie o hmotnosti m
... kriterium superkvantového režimu

1. krok kinetická energia časticie ve vázaném stavu (v potenciál. jámě)

$$mE_{\text{kin}} \square (\Delta p)^2$$

2. krok odhad z relace neurčitosti

$$\Delta p \square \frac{\hbar}{\Delta x} \square \frac{\hbar}{L}$$

3. krok kinetická a celková energia stejného rádu

$$m \cdot E \cdot L^2 \square \hbar^2$$



zkusíme pro atomy

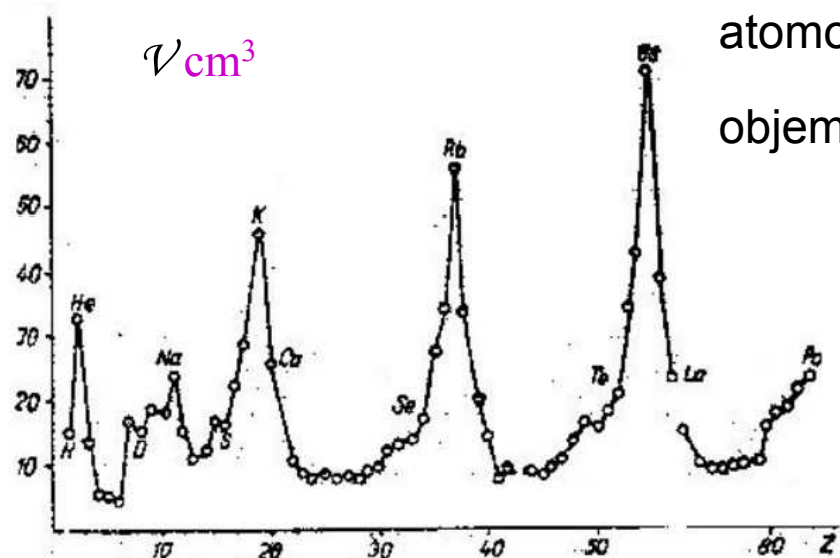
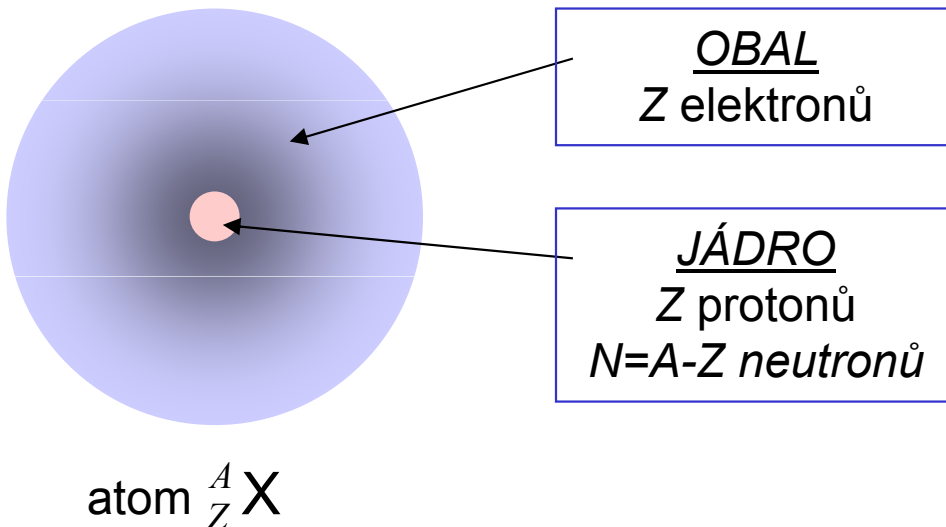
Velikost atomů

Jaké jsou empirické údaje o velikosti atomů

Jaké jsou teoretické důvody pro tyto údaje

Test pomocí relací neurčitosti

Opakování o atomech



Obr. 4. Závislost atomového objemu na atomovém čísle

náboj jádra $Q = Z |e|$

hmotnost atomu $M \sim A \text{ u}$

poloměr jádra $R = r_0 A^{1/3}$

$$r_0 = 1,2 \times 10^{-15} \text{ m}$$

atomový objem = rel. at. hmotnost $\text{g}/10^3 \times$ hustota

objem na atom = atomový objem / Avogadr. číslo

$$\mathcal{V} = 10^{-3} \mathcal{M} / \rho$$

$$r = \left(\frac{3}{4\pi} \times \mathcal{V}/N_A \right)^{1/3}$$

... odhad z empirických dat

Odhad ionizační energie atomu z relace neurčitosti

$$m \cdot E \cdot L^2 \square \hbar^2 \quad \text{obecný vztah}$$

$$m_e \cdot I \cdot r^2 \square \hbar^2 \quad \text{odhad ionizačního potenciálu}$$

použijeme našich jednotek nm, eV, fs

$$\frac{\hbar^2}{m_e} = \frac{0,66^2}{5,7} \square 0.076$$

Empirické poloměry atomů mají hodnoty v řádu 0,1 nm (1 Å)

Energie valenčních elektronů v atomech pak vycházejí v řádu eV

Odhad ionizační energie atomu z relace neurčitosti

$$m \cdot E \cdot L^2 \square \hbar^2 \quad \text{obecný vztah}$$

$$m_e \cdot I \cdot r^2 \square \hbar^2 \quad \text{odhad ionizačního potenciálu}$$

použijeme našich jednotek nm, eV, fs

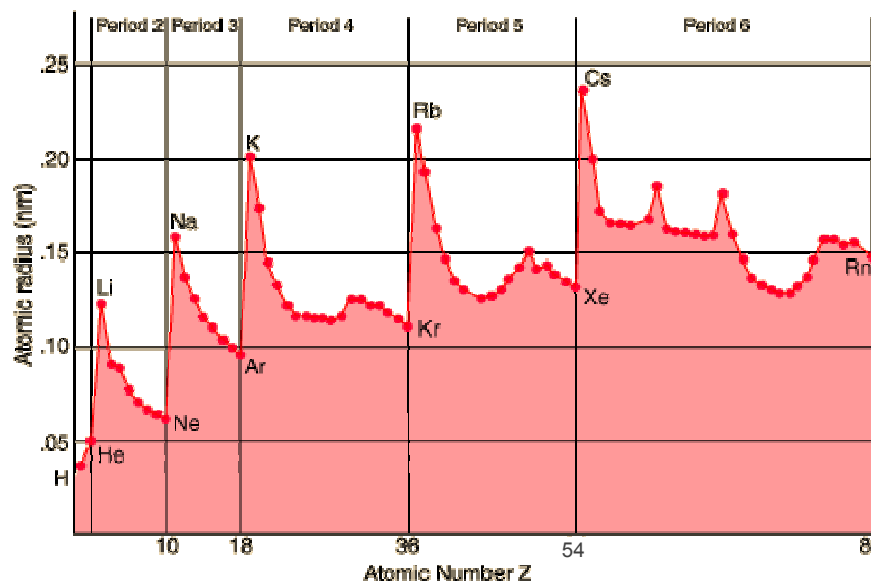
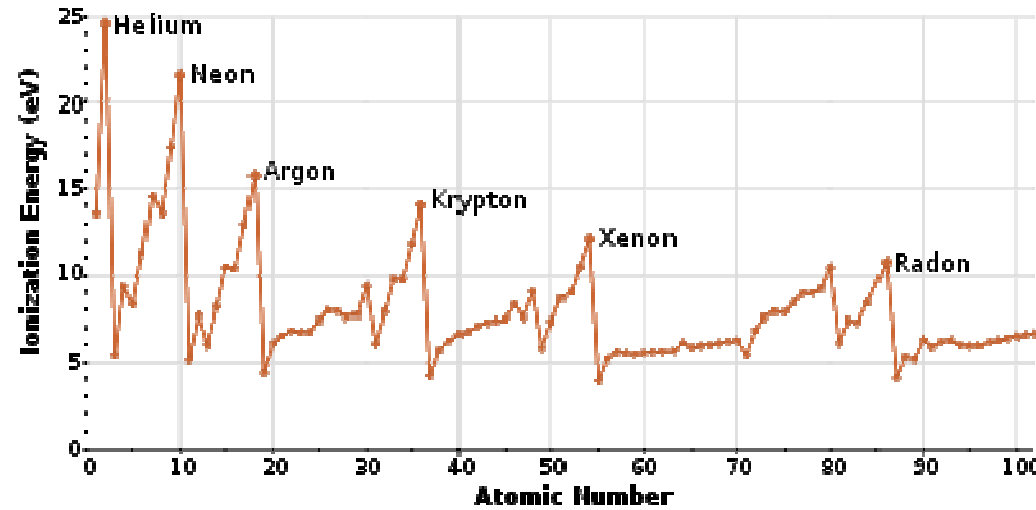
$$\frac{\hbar^2}{m_e} = \frac{0,66^2}{5,7} \square 0.076$$

Empirické poloměry atomů mají hodnoty v řádu 0,1 nm (1 Å)

Energie valenčních elektronů v atomech pak vycházejí v řádu eV

v tabulkách lze ověřit, že je to
správný odhad

Ionizační energie a poloměry prvků

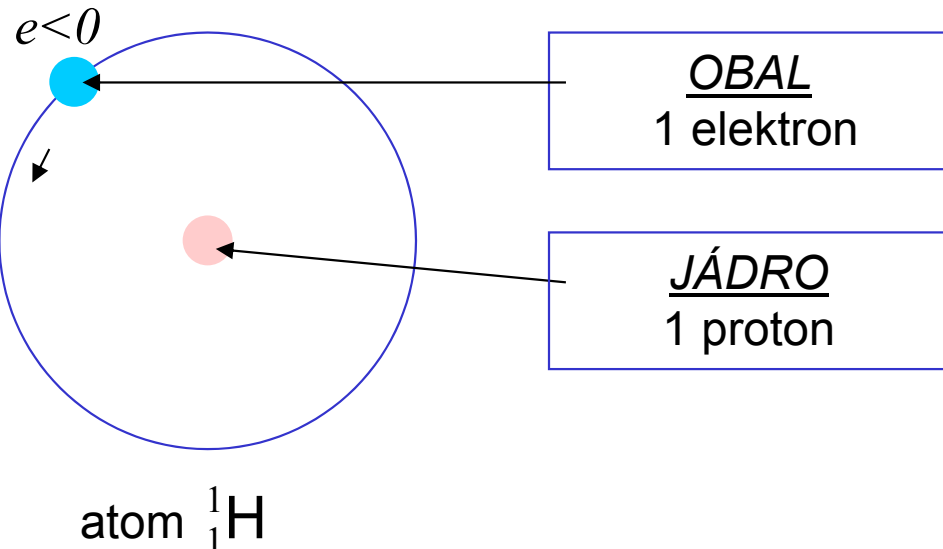


3. Planckova konstanta jako součást teoretického aparátu kvantové teorie

Jako příklad použijeme původní Bohrovy teorie atomu vodíku.

Ta je teoreticky překonaná, ale všichni ji známe a vykazuje charakteristickou strukturu, nad kterou se zamyslíme

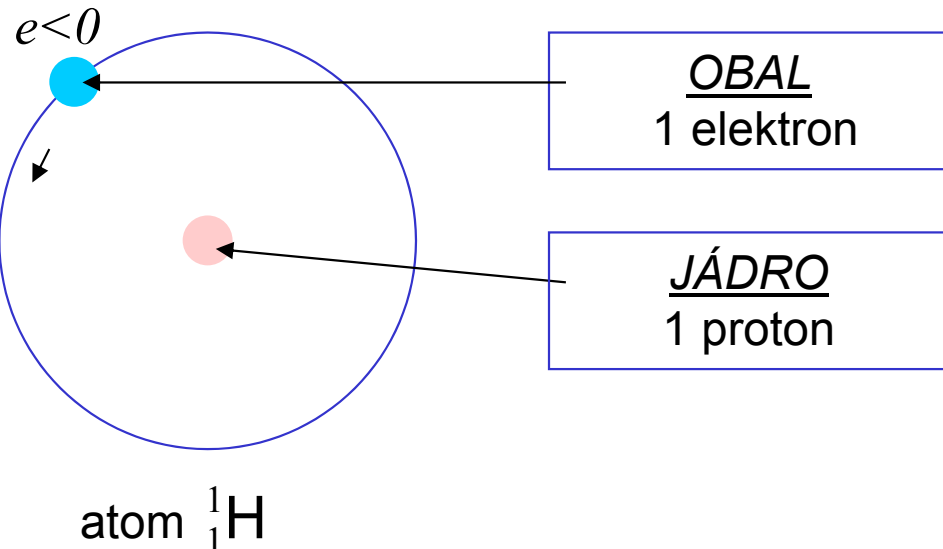
Semiklasický popis atomu vodíku podle Bohra



| | |
|----------------|---------------------------------------|
| náboj jádra | $Q = e $ |
| hmotnost atomu | $M \sim u \gg m_e$ |
| poloměr jádra | $R = r_0 \ll r$ |
| | $r_0 = 1,2 \times 10^{-15} \text{ m}$ |

- Elektron obíhá rychlostí v kolem nehybného jádra. Má hybnost $p = m_e v$, moment hybnosti $m_e vr$, odstředivá síla je $m_e v^2/r$... všechno klasické
- Přitahován je coulombickou silou
$$\frac{e^2}{4\pi\epsilon_0} \cdot \frac{1}{r^2} \equiv \frac{e'^2}{r^2}$$
- Připojeno je kvantování, prostřednictvím *kvanta akce*, Planckovy konstanty \hbar .
- Veličina ke kvantování vhodná má rozměr akce. To je právě moment hybnosti.

Semiklasický popis atomu vodíku podle Bohra



| | |
|----------------|---------------------------------------|
| náboj jádra | $Q = e $ |
| hmotnost atomu | $M \sim u \gg m_e$ |
| poloměr jádra | $R = r_0 \ll r$ |
| | $r_0 = 1,2 \times 10^{-15} \text{ m}$ |

- Elektron obíhá rychlostí v kolem nehybného jádra. Má hybnost $p = m_e v$, moment hybnosti $m_e vr$, odstředivá síla je $m_e v^2/r$... všechno klasické
- Přitahován je coulombickou silou

$$\frac{e^2}{4\pi\epsilon_0} \cdot \frac{1}{r^2} \equiv \frac{e'^2}{r^2}$$

- Připojeno je kvantování, prostřednictvím kvanta akce, Planckovy konstanty \hbar .
- Veličina ke kvantování vhodná má rozměr akce. To je právě moment hybnosti.

Bohrova teorie vodíku

- Dvě podmínky pro Bohrův poloměr a Hartreeho energii

odstř. síla= dostř. síla

kvantování momentu hybnosti

$$\frac{m_e v^2}{r} = \frac{e'^2}{r^2}$$

$$m_e r v = k \cdot \hbar, \quad k = 1, 2, \dots$$

Klasická podmínka

Kvantová podmínka

- Výsledek

$$r_k = a_0 \cdot k^2, \quad E_k = -\frac{1}{2} E_0 \cdot k^{-2}$$

Bohrův poloměr
0,053 nm

$$a_0 = \frac{\hbar^2}{m_e e'^2},$$

$$E_0 = \frac{m_e e'^4}{\hbar^2}$$

Hartreeho energie
27,2 eV

Bohrova teorie vodíku

- Dvě podmínky pro Bohrův poloměr a Hartreeho energii

odstř. síla= dostř. síla

kvantování momentu hybnosti

$$\frac{m_e v^2}{r} = \frac{e'^2}{r^2}$$

Klasická podmínka

$$m_e r v = k \cdot \hbar, \quad k = 1, 2, \dots$$

Kvantová podmínka

- Výsledek

$$r_k = a_0 \cdot k^2, \quad E_k = -\frac{1}{2} E_0 \cdot k^{-2}$$

Bohrův poloměr
0,053 nm

$$a_0 = \frac{\hbar^2}{m_e e'^2},$$

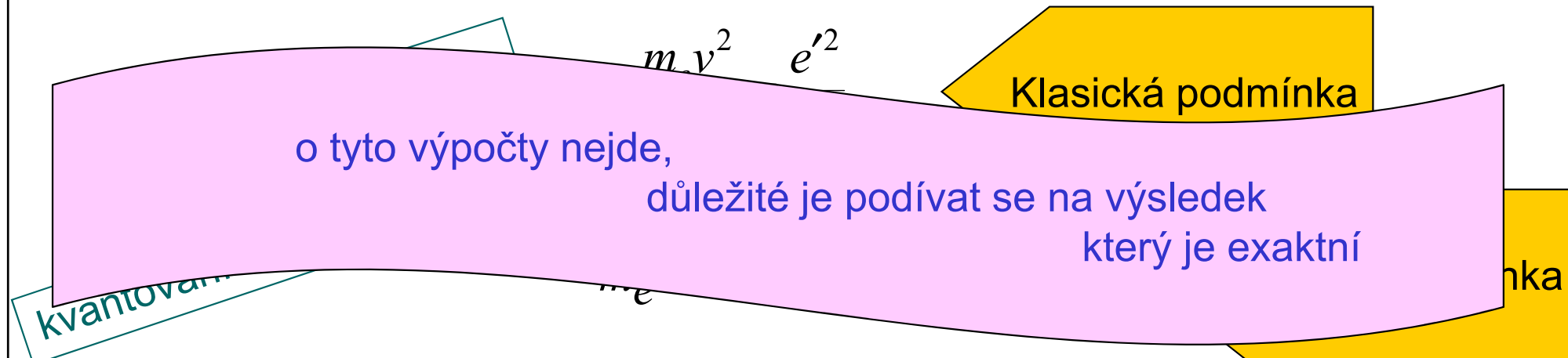
$$E_0 = \frac{m_e e'^4}{\hbar^2}$$

Hartreeho energie
27,2 eV

2x ionisační energie vodíku

Bohrova teorie vodíku

- Dvě podmínky pro Bohrův poloměr a Hartreeho energii



- Výsledek

$$r_k = a_0 \cdot k^2, \quad E_k = -\frac{1}{2} E_0 \cdot k^{-2}$$

Bohrův poloměr
0,053 nm

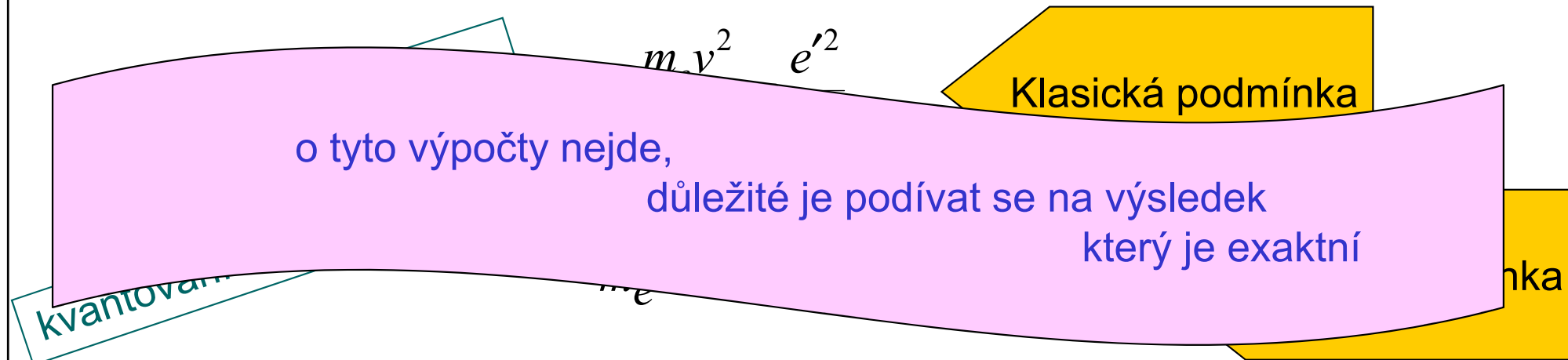
$$a_0 = \frac{\hbar^2}{m_e e'^2},$$

$$E_0 = \frac{m_e e'^4}{\hbar^2}$$

Hartreeho energie
27,2 eV

Bohrova teorie vodíku

- Dvě podmínky pro Bohrův poloměr a Hartreeho energii



- Výsledek

$$r_k = a_0 \cdot k^2, \quad E_k = -\frac{1}{2} E_0 \cdot k^{-2}$$

Bohrův poloměr
0,053 nm

$$a_0 = \frac{\hbar^2}{m_e e'^2},$$

$$E_0 = \frac{m_e e'^4}{\hbar^2}$$

$$E_0 = \frac{\hbar^2}{m_e a_0^2}$$

Hartreeho energie
27,2 eV

shoduje se s odhadem
z relací neurčitosti

Přirozené jednotky

Rozměrové úvahy a zavedení
přirozených jednotek

jsou založeny na víře (dobře již osvědčené), že
rozměrová úvaha vede k výsledku, který se od
přesného liší jen numerickým faktorem v řádu
jednotek

Tři klíčové teorie (pro atomární systémy)

Nepůjdeme-li na sub-atomární úroveň,
jsou pro popis fyzikálního světa klíčové tři teorie
a ty mají jako svůj symbol tři universální konstanty

G Klasická mechanika a teorie gravitace

Gravitační zákon

$$F = -\frac{Gm_1m_2}{r_{12}^2}$$

Tři klíčové teorie (pro atomární systémy)

Nepůjdeme-li na sub-atomární úroveň,
jsou pro popis fyzikálního světa klíčové tři teorie
a ty mají jako svůj symbol tři universální konstanty

G

Klasická mechanika a teorie gravitace

C

Teorie elektromagnetického pole

Maxwellovy rovnice, vlnová rovnice

$$\partial_{tt} E - c^2 \Delta E = 0$$

Tři klíčové teorie (pro atomární systémy)

Nepůjdeme-li na sub-atomární úroveň,
jsou pro popis fyzikálního světa klíčové tři teorie
a ty mají jako svůj symbol tři universální konstanty

G

Klasická mechanika a teorie gravitace

C

Teorie elektromagnetického pole

\hbar

Kvantová teorie

*Komutační relace, Schrödingerova
rovnice*

$$[x, p] = i\hbar$$

$$i\hbar\partial_t \psi = H\psi$$

Tři klíčové teorie (pro atomární systémy)

Nepůjdeme-li na sub-atomární úroveň,
jsou pro popis fyzikálního světa klíčové tři teorie
a ty mají jako svůj symbol tři universální konstanty

G

Klasická mechanika a teorie gravitace

c

Teorie elektromagnetického pole

ħ

Kvantová teorie

*Komutační relace, Schrödingerova
rovnice*

$$[x, p] = i\hbar$$

$$i\hbar\partial_t \psi = H\psi$$

9

O této trojici za chvíli více

Další universální konstanty

Jiný typ universálních konstant – charakteristiky částic

| vlastnosti částic | elektron | | proton |
|----------------------|------------|-------|--------|
| | elektrické | $-e$ | $+e$ |
| | gravitační | m_e | m_p |
| hmotnosti | | m_e | m_p |

Další universální konstanty

Jiný typ universálních konstant – charakteristiky částic

| vlastnosti částic | elektron | | proton |
|----------------------|------------|-------|--------|
| | elektrické | $-e$ | $+e$ |
| | gravitační | m_e | m_p |
| hmotnosti | | m_e | m_p |

SOUHRN -- ATOMOVÁ FYSIKA

| univ. konstanty | G | c | \hbar | e'^2 | m_e | m_p | e |
|--------------------------|-----|-----|---------|---------------------------------|---------------------------------|--------------------------------------|-----|
| | | | | $\frac{h}{2\pi}$ | $\frac{e^2}{4\pi\varepsilon_0}$ | | |
| bezrozměrné kombinace | | | | $\alpha = \frac{e'^2}{\hbar c}$ | $\frac{m_p}{m_e}$ | $\alpha_p = \frac{G m_p^2}{\hbar c}$ | |

Přirozené jednotky ve fysice

Přirozené soustavy jednotek závisejí na výběru fundamentálních konstant

| jednotky | G | c | \hbar | e'^2 | m_e | m_p | hodí se v |
|----------------|-----|-----|---------|--------|-------|-------|--------------------------|
| Planckovy | • | • | • | | | | kvantové gravitaci |
| relativistické | | • | • | | (• | •) | kvantové elektrodynamice |
| atomové | | | • | • | • | | atomové fysice |

VÝHODNÉ VLASTNOSTI PŘIROZENÝCH JEDNOTEK

1. Fundamentální -- nezávislé na lidské libovůli, přesnosti a stálosti etalonů
2. Fundamentální -- vystihují hluboké souvislosti fyzikálních zákonů
3. Praktická -- hodnoty měřených veličin mají příjemný rozsah a jsou snadné k interpretaci
4. Praktická -- rovnice se zjednoduší, mají bezrozměrné koeficienty, zpravidla malých celočíselných hodnot nebo zlomků jako $\frac{1}{2}$
5. Fundamentální&Praktická -- výpočty zůstávají v platnosti i po zpřesnění hodnot univerzálních konstant

Atomové přirozené jednotky

Jsou nevhodnější pro atomární soustavy
... relativní jednotky, kde
jeden elektron, jeden proton, jeden atom vodíku
slouží jako etalon

Atomové přirozené jednotky

Přirozené soustavy jednotek závisejí na výběru fundamentálních konstant

| jednotky | G | c | \hbar | e'^2 | m_e | m_p | hodí se v |
|----------------|-----|-----|---------|--------|-------|-------|--------------------------|
| Planckovy | • | • | • | | | | kvantové gravitaci |
| relativistické | | • | • | | (•) | (•) | kvantové elektrodynamice |
| atomové | | | • | • | • | | atomové fysice |

Atomové jednotky

Atomové přirozené jednotky

Přirozené soustavy jednotek závisejí na výběru fundamentálních konstant

| jednotky | G | c | \hbar | e'^2 | m_e | m_p | hodí se v |
|----------------|-----|-----|---------|--------|-------|-------|--------------------------|
| Planckovy | • | • | • | | | | kvantové gravitaci |
| relativistické | | • | • | | (•) | • | kvantové elektrodynamice |
| atomové | | | • | • | • | | atomové fysice |

Atomové jednotky

- Inspirace od Bohra(1913) Rozměrová úvaha → **relevantní veličiny**

Atomové přirozené jednotky

Přirozené soustavy jednotek závisejí na výběru fundamentálních konstant

| jednotky | G | c | \hbar | e'^2 | m_e | m_p | hodí se v |
|----------------|-----|-----|---------|--------|-------|-------|--------------------------|
| Planckovy | • | • | • | | | | kvantové gravitaci |
| relativistické | | • | • | | (•) | • | kvantové elektrodynamice |
| atomové | | | • | • | • | | atomové fysice |

Atomové jednotky

- Inspirace od Bohra(1913) Rozměrová úvaha → **relevantní veličiny**
- Dvě podmínky pro Bohrův poloměr a Hartreeho energii
(rozměrové kombinace ... kinetická energie a Coulomb. potenciál. energie)

$$E_0 = \frac{\hbar^2}{m_e a_0^2}, \quad E_0 = \frac{e'^2}{a_0}$$

Atomové přirozené jednotky

Přirozené soustavy jednotek závisejí na výběru fundamentálních konstant

| jednotky | G | c | \hbar | e'^2 | m_e | m_p | hodí se v |
|----------------|-----|-----|---------|--------|-------|-------|--------------------------|
| Planckovy | • | • | • | | | | kvantové gravitaci |
| relativistické | | • | • | | (•) | • | kvantové elektrodynamice |
| atomové | | | • | • | • | | atomové fysice |

Atomové jednotky

- Inspirace od Bohra(1913) Rozměrová úvaha → **relevantní veličiny**
- Dvě podmínky pro Bohrův poloměr a Hartreeho energii
(rozměrové kombinace ... kinetická energie a Coulomb. potenciál. energie)

$$E_0 = \frac{\hbar^2}{m_e a_0^2}, \quad E_0 = \frac{e'^2}{a_0}$$

- Výsledek

$$a_0 = \frac{\hbar^2}{m_e e'^2}, \quad E_0 = \frac{m_e e'^4}{\hbar^2}$$

v plné shodě s
Bohrovou teorií

Atomové přirozené jednotky

| | | | | |
|-----------------|---------|--------|-------|-----|
| zákl. konstanty | \hbar | e'^2 | m_e | e |
|-----------------|---------|--------|-------|-----|

$$\alpha = \frac{e'^2}{\hbar c} \square \frac{1}{137}$$

$$a_0 = \frac{\hbar^2}{m_e e'^2}$$

$$E_0 = \frac{m_e e'^4}{\hbar^2}$$

$$\ell_0 = \hbar$$

$$p_0 = \frac{\hbar}{a_0} = \frac{m_e e'^2}{\hbar}$$

$$v_0 = \frac{p_0}{m_e} = \frac{e'^2}{\hbar}$$

$$t_0 = \frac{\hbar}{E_0} = \frac{\hbar^3}{m_e e'^4}$$

Atomové přirozené jednotky -- měřítko světa atomů

| | | | | |
|-----------------|---------|--------|-------|-----|
| zákl. konstanty | \hbar | e'^2 | m_e | e |
|-----------------|---------|--------|-------|-----|

$$\alpha = \frac{e'^2}{\hbar c} \square \frac{1}{137}$$

$$a_0 = \frac{\hbar^2}{m_e e'^2} = 5.29 \times 10^{-11} \text{ m}$$

$$E_0 = \frac{m_e e'^4}{\hbar^2} = 4.36 \times 10^{-18} \text{ J}$$

$$\ell_0 = \hbar = 1.05 \times 10^{-34} \text{ Js}$$

$$p_0 = \frac{\hbar}{a_0} = \frac{m_e e'^2}{\hbar} = 1.98 \times 10^{-24} \text{ m}$$

$$v_0 = \frac{p_0}{m_e} = \frac{e'^2}{\hbar} = 2.19 \times 10^6 \text{ m/s}$$

$$t_0 = \frac{\hbar}{E_0} = \frac{\hbar^3}{m_e e'^4} = 2.42 \times 10^{-17} \text{ s}$$

Atomové přirozené jednotky a relativita

| | | | | |
|-----------------|---------|--------|-------|-----|
| zákl. konstanty | \hbar | e'^2 | m_e | e |
|-----------------|---------|--------|-------|-----|

$$\alpha = \frac{e'^2}{\hbar c} \square \frac{1}{137}$$

$$a_0 = \frac{\hbar^2}{m_e e'^2} = 5.29 \times 10^{-11} \text{ m} = \alpha^{-1} \cdot \frac{\hbar}{m_e c} \equiv \alpha^{-1} \cdot \frac{1}{2\pi} \cdot \lambda_C$$

$$E_0 = \frac{m_e e'^4}{\hbar^2} = 4.36 \times 10^{-18} \text{ J} = \alpha^2 \cdot m_e c^2$$

$$\ell_0 = \hbar = 1.05 \times 10^{-34} \text{ Js}$$

$$p_0 = \frac{\hbar}{a_0} = \frac{m_e e'^2}{\hbar} = 1.98 \times 10^{-24} \text{ m} = \alpha \cdot m_e c$$

$$v_0 = \frac{p_0}{m_e} = \frac{e'^2}{\hbar} = 2.19 \times 10^6 \text{ m/s} = \alpha \cdot c \quad \boxed{c = 137 \text{ a.u.}}$$

$$t_0 = \frac{\hbar}{E_0} = \frac{\hbar^3}{m_e e'^4} = 2.42 \times 10^{-17} \text{ s}$$

Planckovy přirozené jednotky

Byly první a zdály se hodně divné,
ale ...

Planckovy "přirozené" jednotky

Přirozené soustavy jednotek závisejí na výběru fundamentálních konstant

| jednotky | G | c | \hbar | e'^2 | m_e | m_p | hodí se v |
|----------------|-----|-----|---------|--------|-------|-------|--------------------------|
| Planckovy | • | • | • | | | | kvantové gravitaci |
| relativistické | | • | • | | (•) | • | kvantové elektrodynamice |
| atomové | | | • | • | • | | atomové fysice |

Planckovy jednotky

- Sestavíme veličiny o rozměru délka, hmotnost, čas
- To jsou Planckovy jednotky, historicky první přirozené jednotky ... jak je navrhl 1899, sotva svou konstantu zavedl, ještě bez dnešní interpretace
- Hodnoty Planckových jednotek jsou poněkud zarážející

$$\ell_P = \left(hG / c^3 \right)^{\frac{1}{2}} = 4.13 \times 10^{-35} \text{ m}$$

$$m_P = \left(hc / G \right)^{\frac{1}{2}} = 5.56 \times 10^{-8} \text{ kg}$$

$$t_P = \left(hG / c^5 \right)^{\frac{1}{2}} = 1.38 \times 10^{-43} \text{ s}$$

Hlubší pohled na Planckovu volbu: ($c\hbar G$) schéma

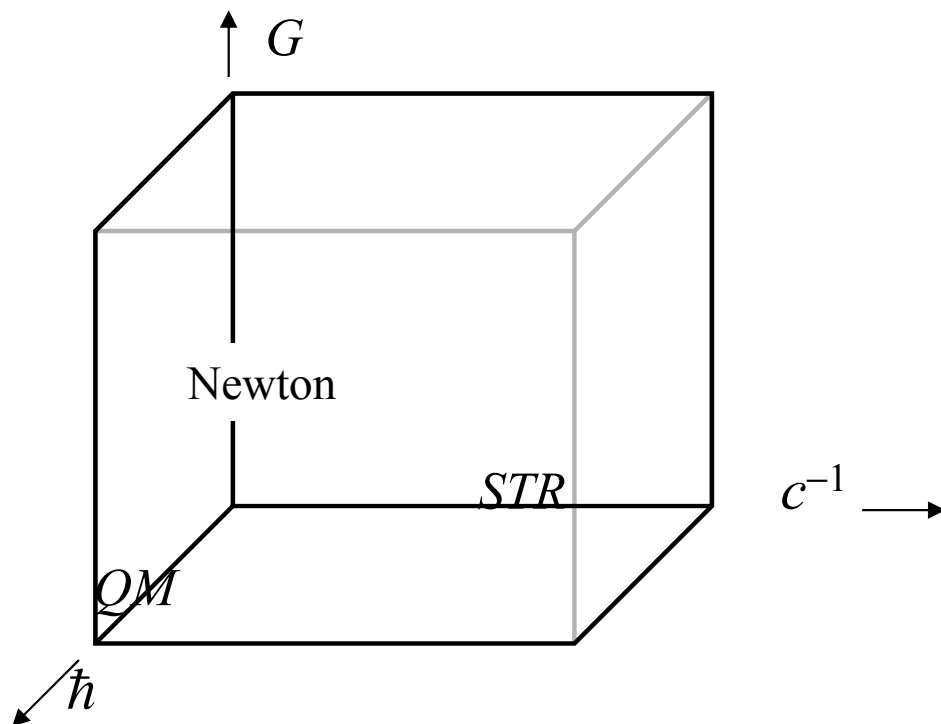
V atomové fysice jsou jádra neměnná tělíska (téměř).

Působí dvě universální interakce: gravitační a elektromagnetická

Podmínky jejich působení lze znázornit v ($c\hbar G$) schematu, které má Newtonův svět v počátku, tři hlavní teorie na osách.

Příklady: STR je důležitá, jestliže typická rychlosť $v \approx c$, $v/c \approx 1$, atd.

QM — " — , kvantum akce \hbar není zanedbatelné



Hlubší pohled na Planckovu volbu: ($c\hbar G$) schéma

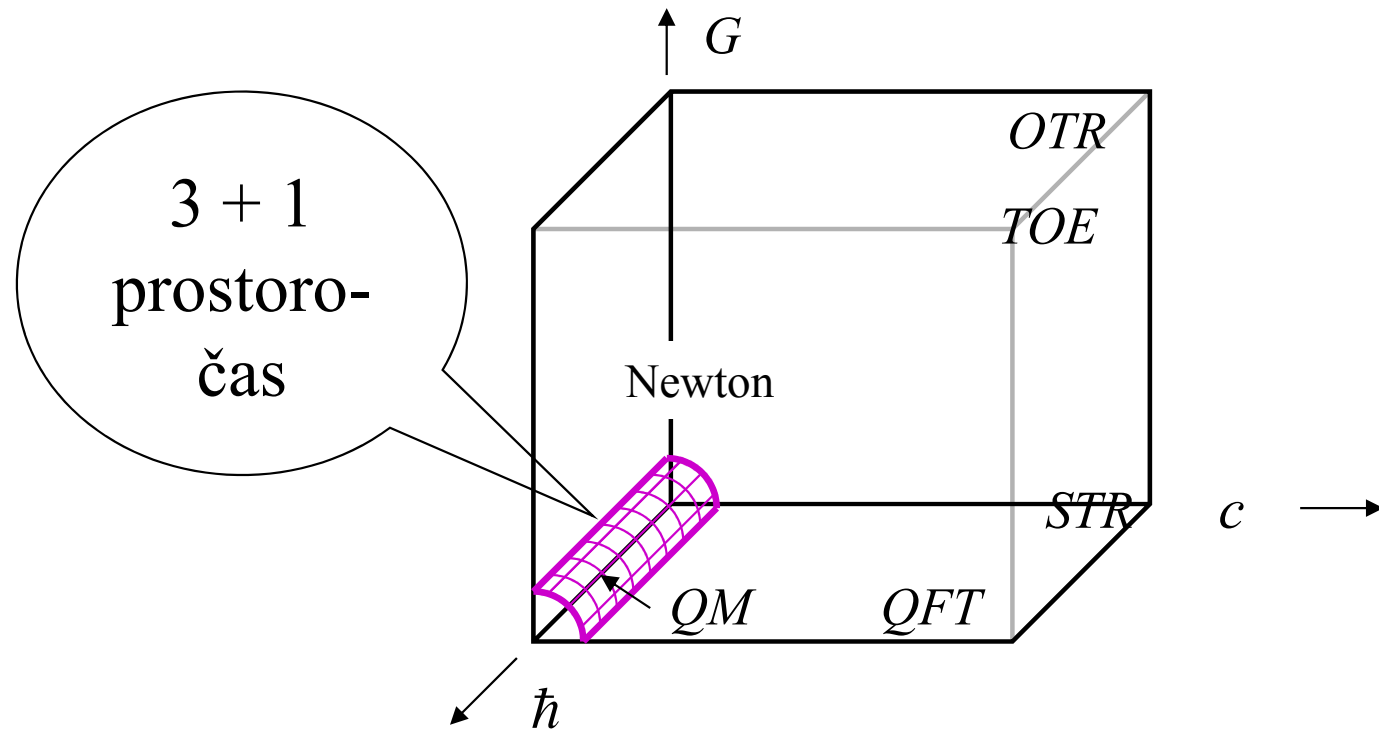
V atomové fysice jsou jádra neměnná tělíska (téměř).

Působí dvě universální interakce: gravitační a elektromagnetická

Podmínky jejich působení lze znázornit v ($c\hbar G$) schematu, které má Newtonův svět v počátku, tři hlavní teorie na osách.

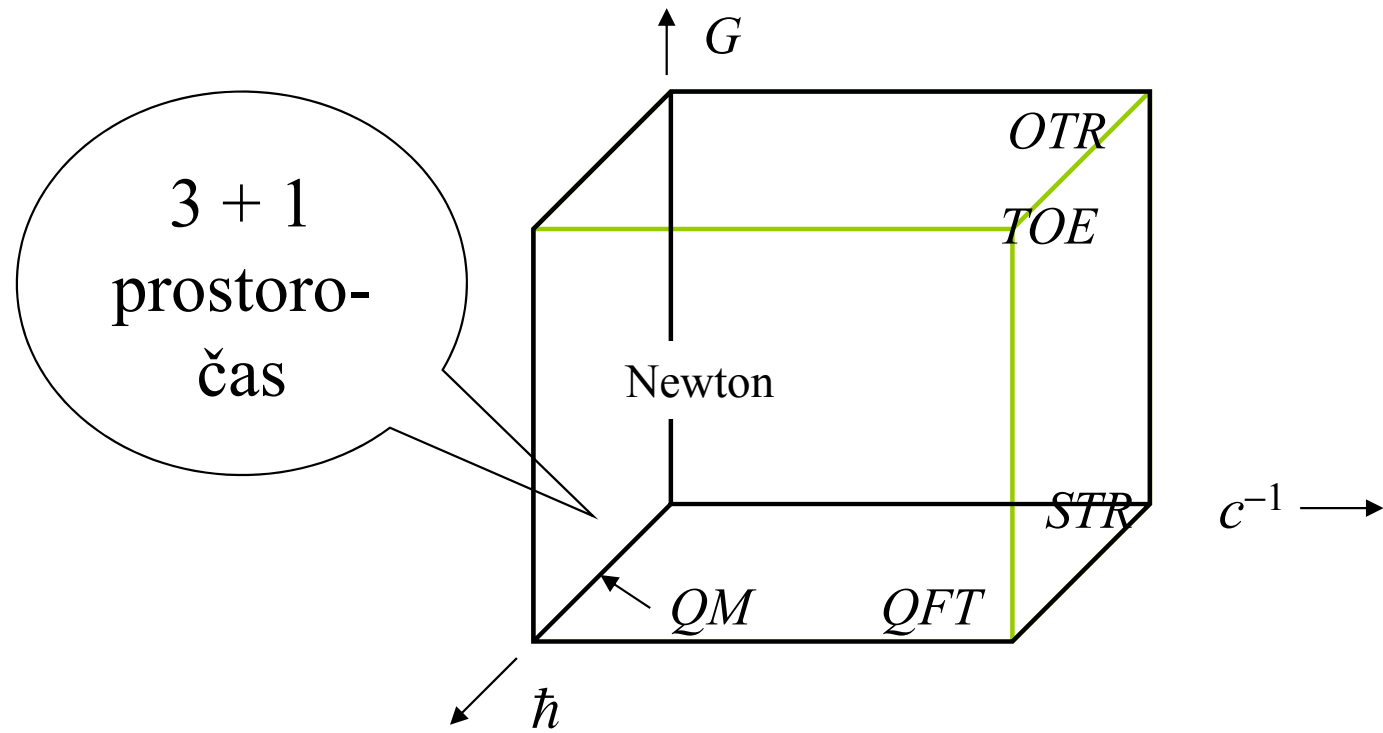
Příklad: STR je důležitá, jestliže typická rychlosť $v \approx c, v/c \approx 1$, atd.

U atomové fysiky je gravitace slabá (Newtonova), jedná se o kvasirelativistickou limitu, zato **kvantové efekty jsou započteny plně**.



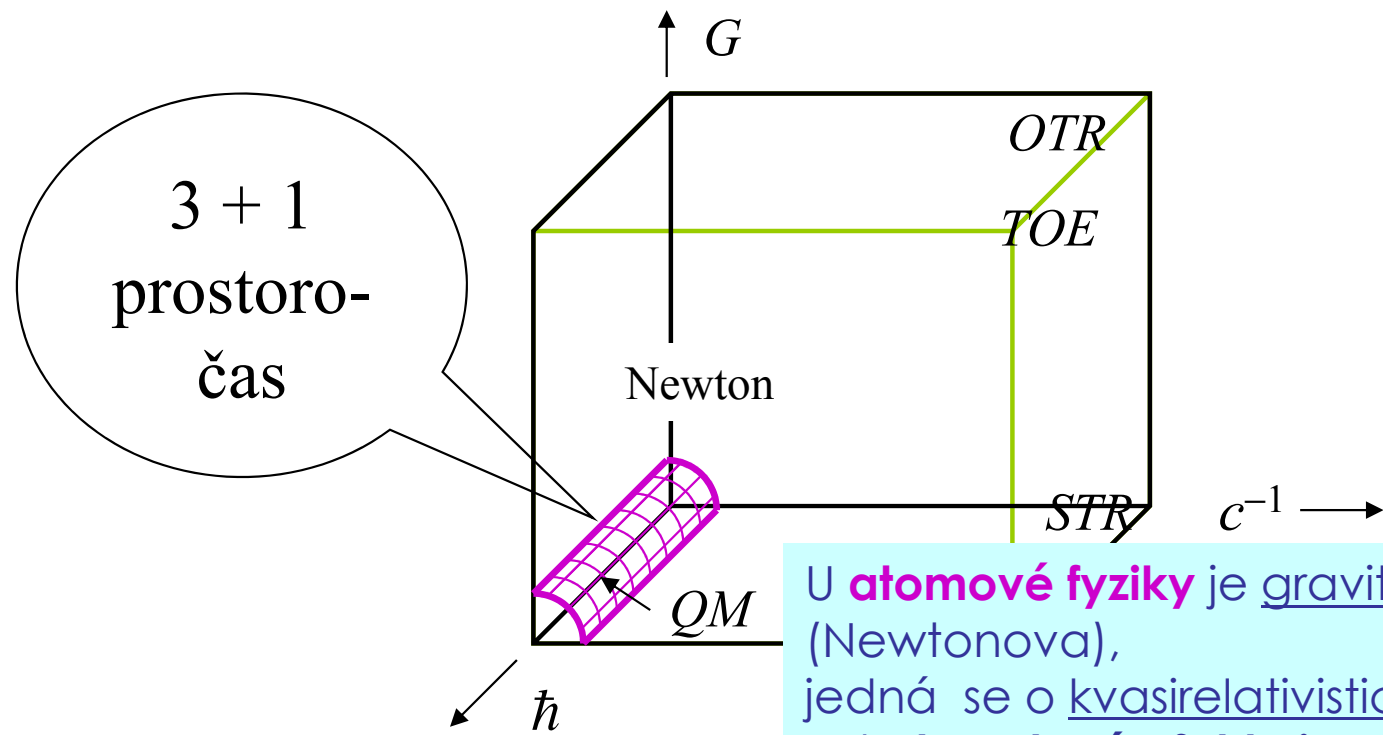
Hlubší pohled na Planckovu volbu: ($c\hbar G$) schéma

| | G | c^{-1} | \hbar |
|--------------------------------------|-----|----------|---------|
| Newtonova gravitace | • | | |
| speciální relativita | | • | |
| NR kvantová mechanika | | | • |
| obecná relativita (teorie gravitace) | • | • | |
| kvantová teorie pole (včetně QED) | | • | • |
| teorie všeho (kvantová gravitace) | • | • | • |



Hlubší pohled na Planckovu volbu: ($c\hbar G$) schéma

| | G | c^{-1} | \hbar |
|--------------------------------------|-----|----------|---------|
| Newtonova gravitace | • | | |
| speciální relativita | | • | |
| NR kvantová mechanika | | | • |
| obecná relativita (teorie gravitace) | • | • | |
| kvantová teorie pole (včetně QED) | | • | • |
| teorie všeho (kvantová gravitace) | • | • | • |



U **atomové fyziky** je gravitace slabá (Newtonova), jedná se o kvasirelativistickou limitu, zato **kvantové efekty jsou započteny plně**.

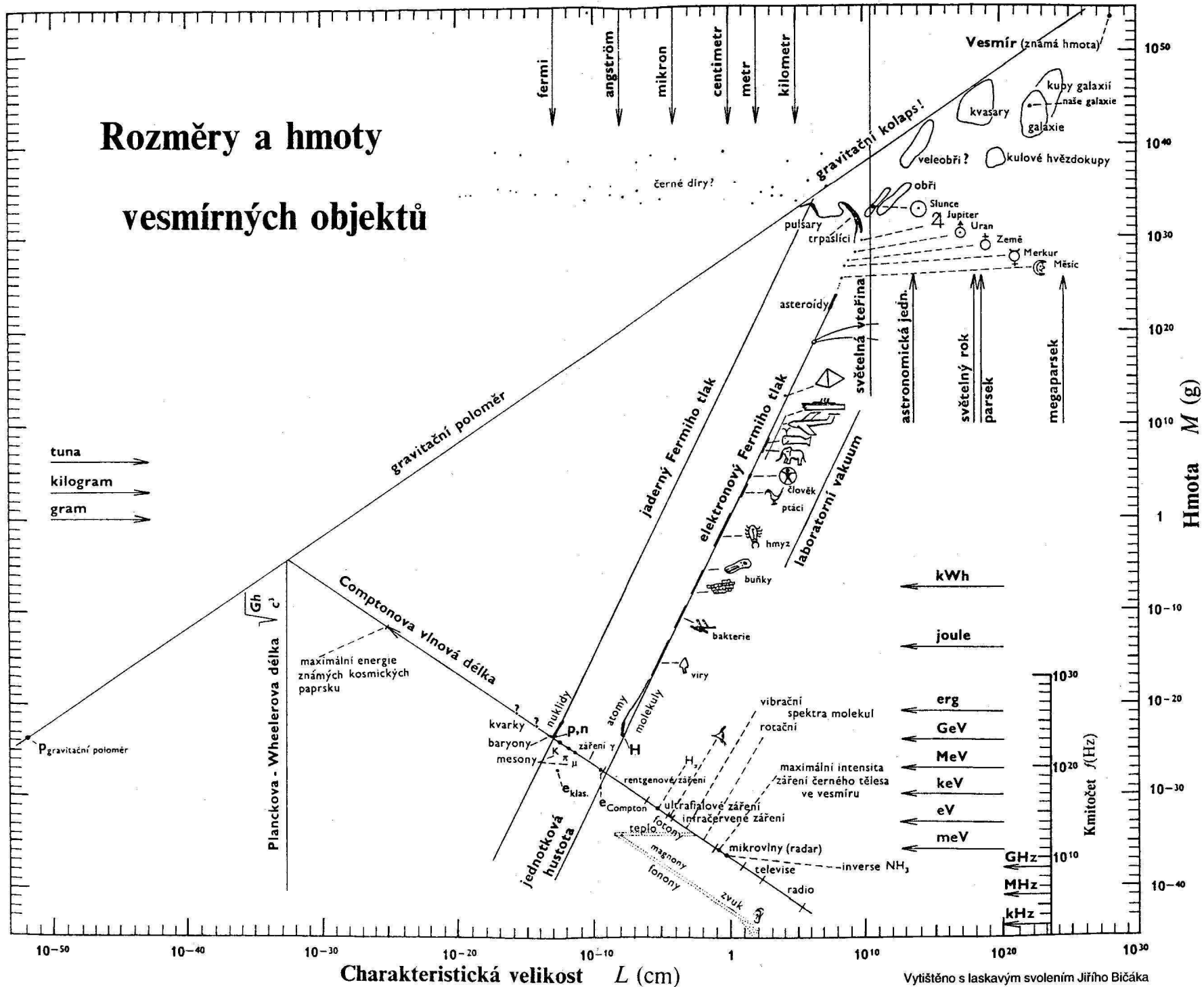
Bičákův diagram

Zveřejněný již před mnoha lety ve
Žlutém časopisu (Čs. čas. fys.)

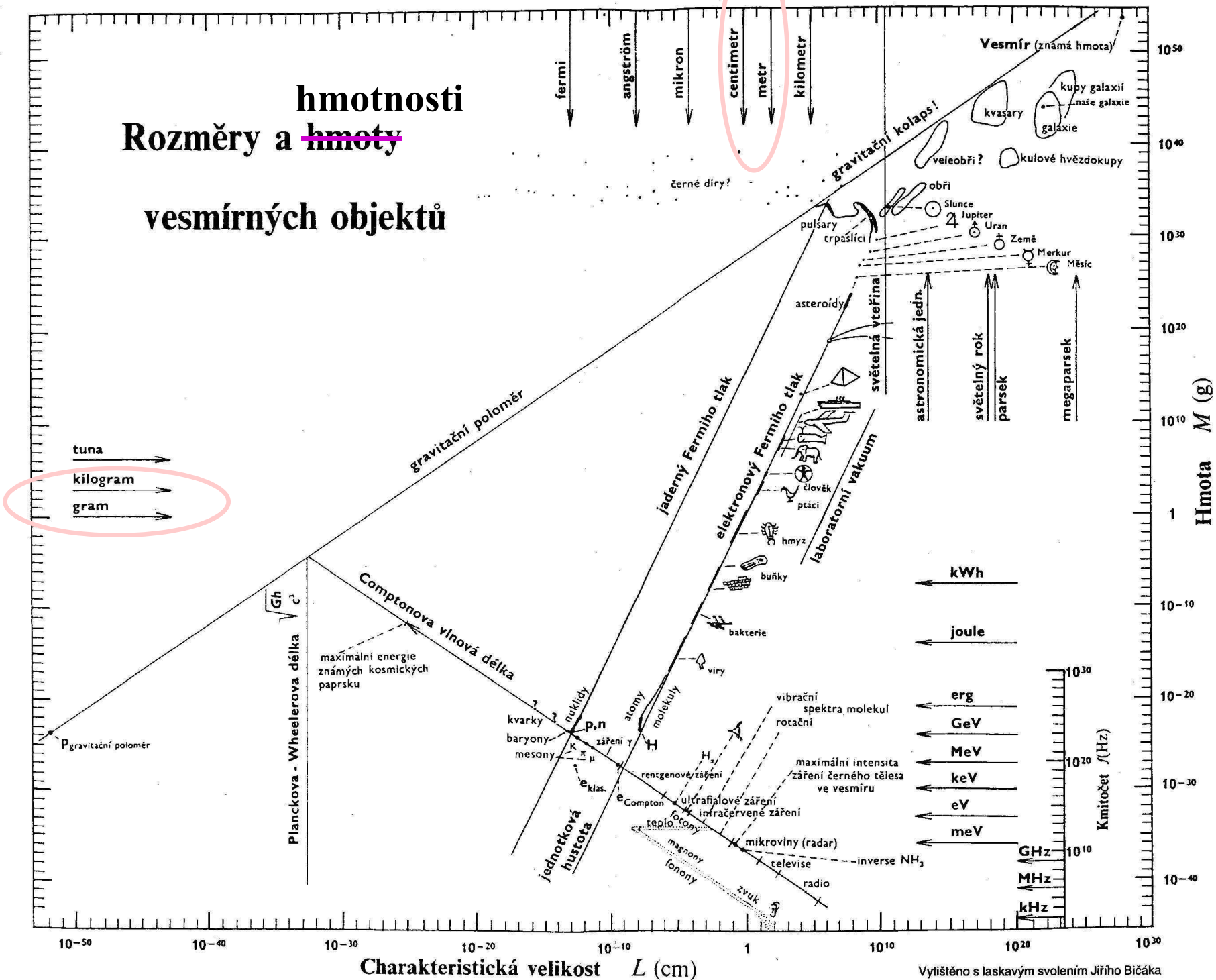
mírně zastaralý,
ale stále inspirující.

My se podíváme z hledisek důležitých pro
atomistiku

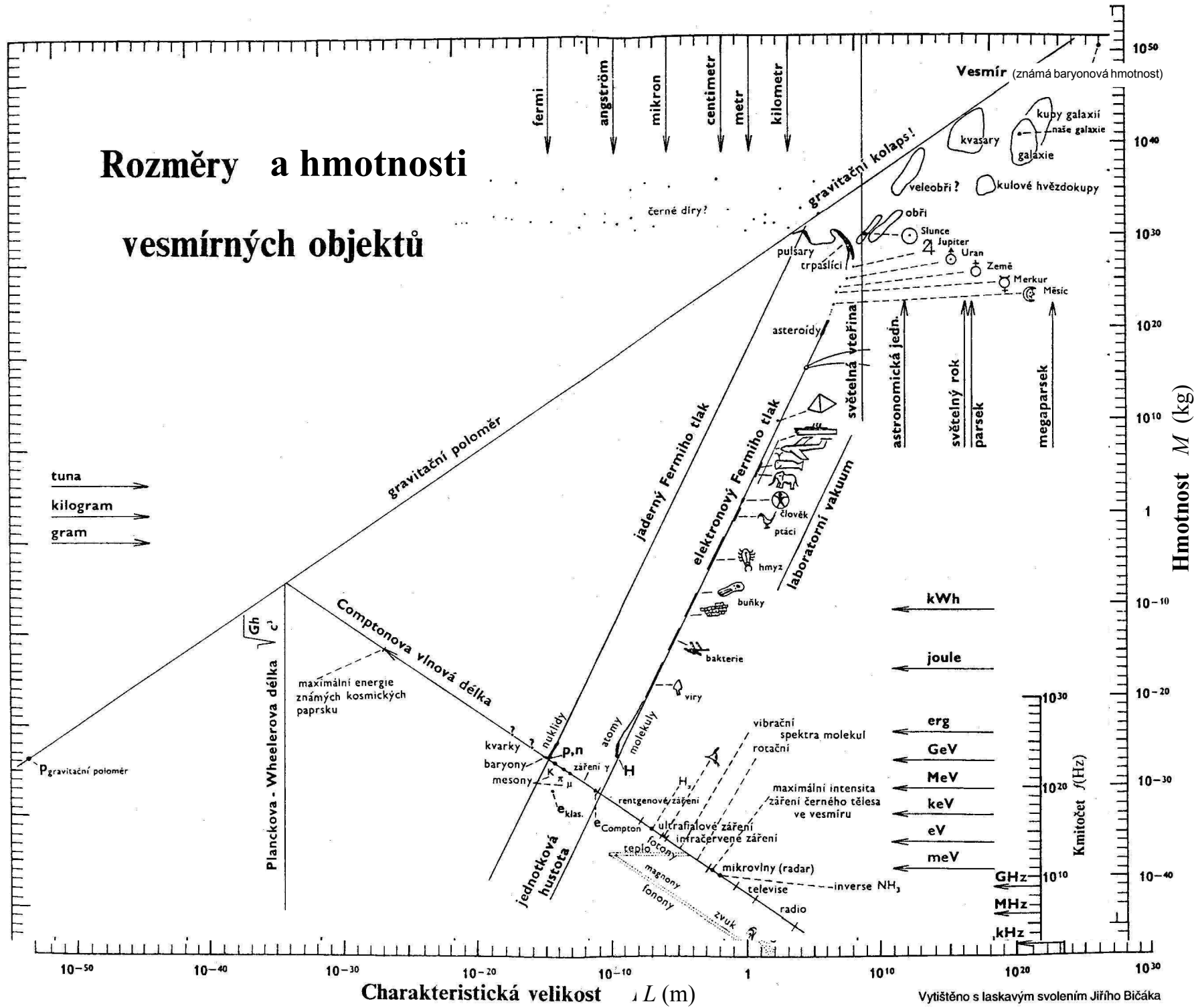
Rozměry a hmoty vesmírných objektů



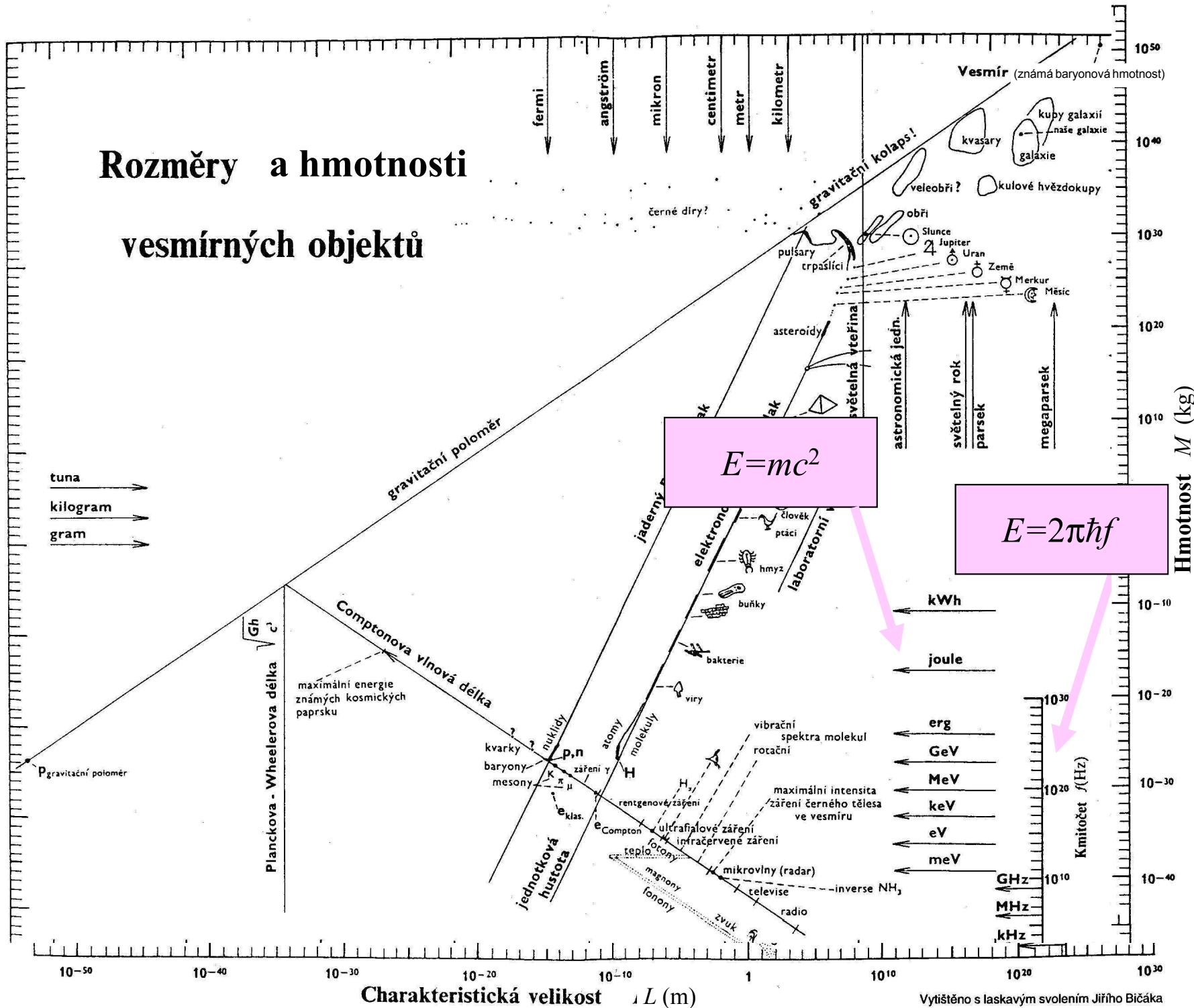
hmotnosti Rozměry a hmoty vesmírných objektů



Rozměry a hmotnosti vesmírných objektů



Rozměry a hmotnosti vesmírných objektů



Dvojlogaritmické měřítko

$$Y = K \cdot X^\alpha$$

se zobrazí jako

$$\log Y = \log K + \alpha \cdot \log X$$

Dvojlogaritmické měřítko

$$Y = K \cdot X^\alpha$$

se zobrazí jako

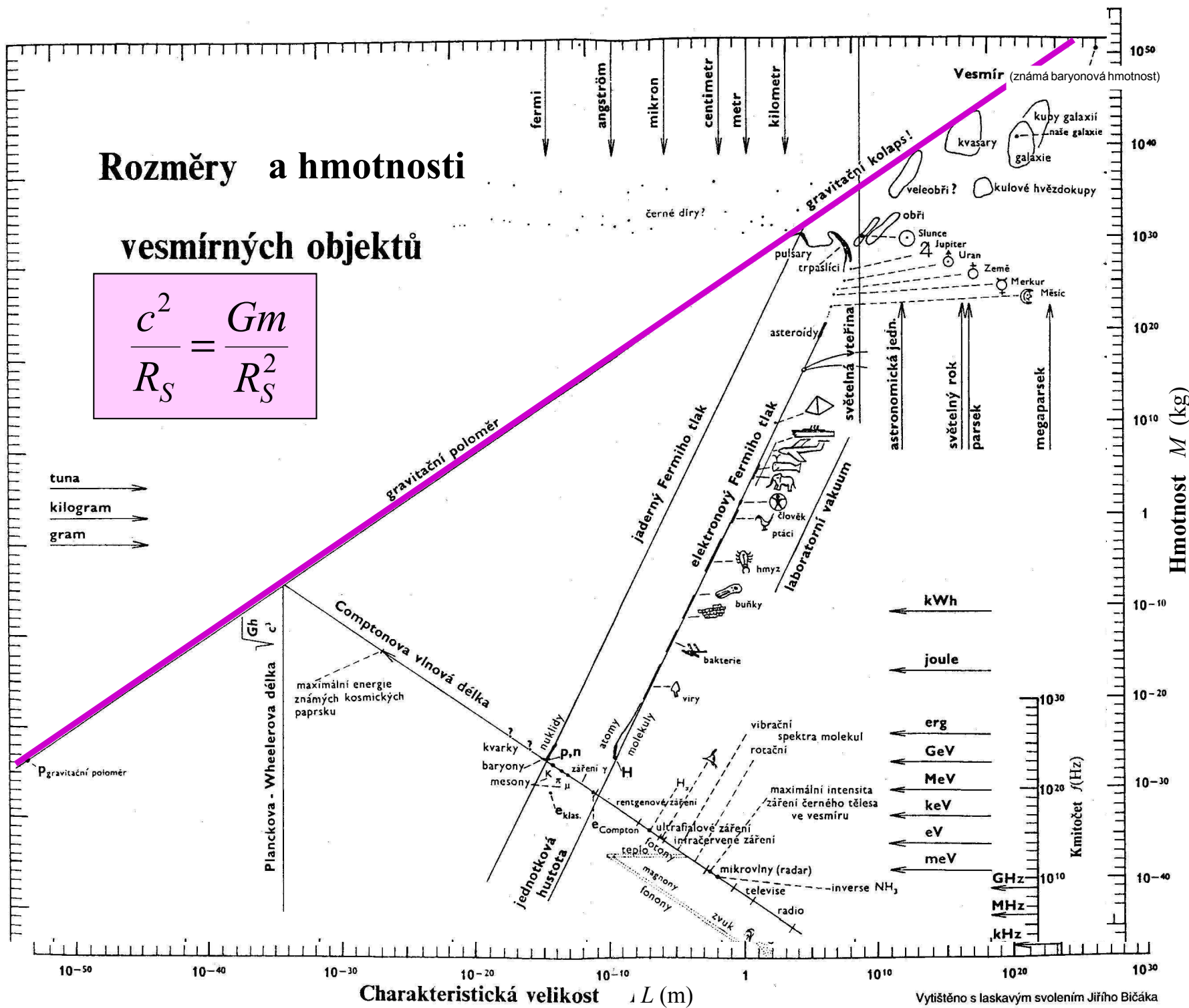
$$\log Y = \log K + \alpha \cdot \log X$$

Krásné, ale ošidné:

logaritmus se mění pomalu

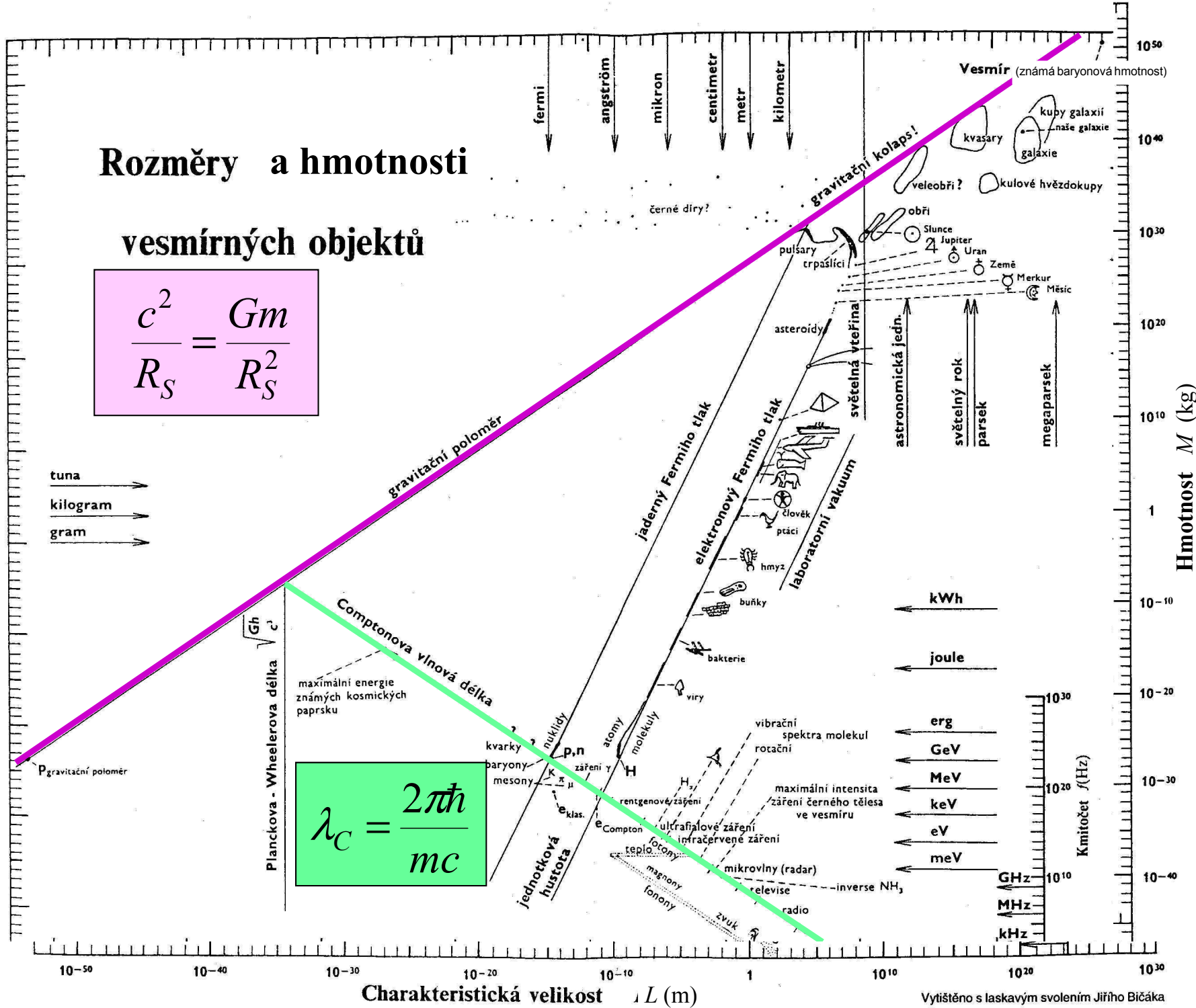
Rozměry a hmotnosti vesmírných objektů

$$\frac{c^2}{R_S} = \frac{Gm}{R_S^2}$$



Rozměry a hmotnosti vesmírných objektů

$$\frac{c^2}{R_S} = \frac{Gm}{R_S^2}$$



Rozměry a hmotnosti vesmírných objektů

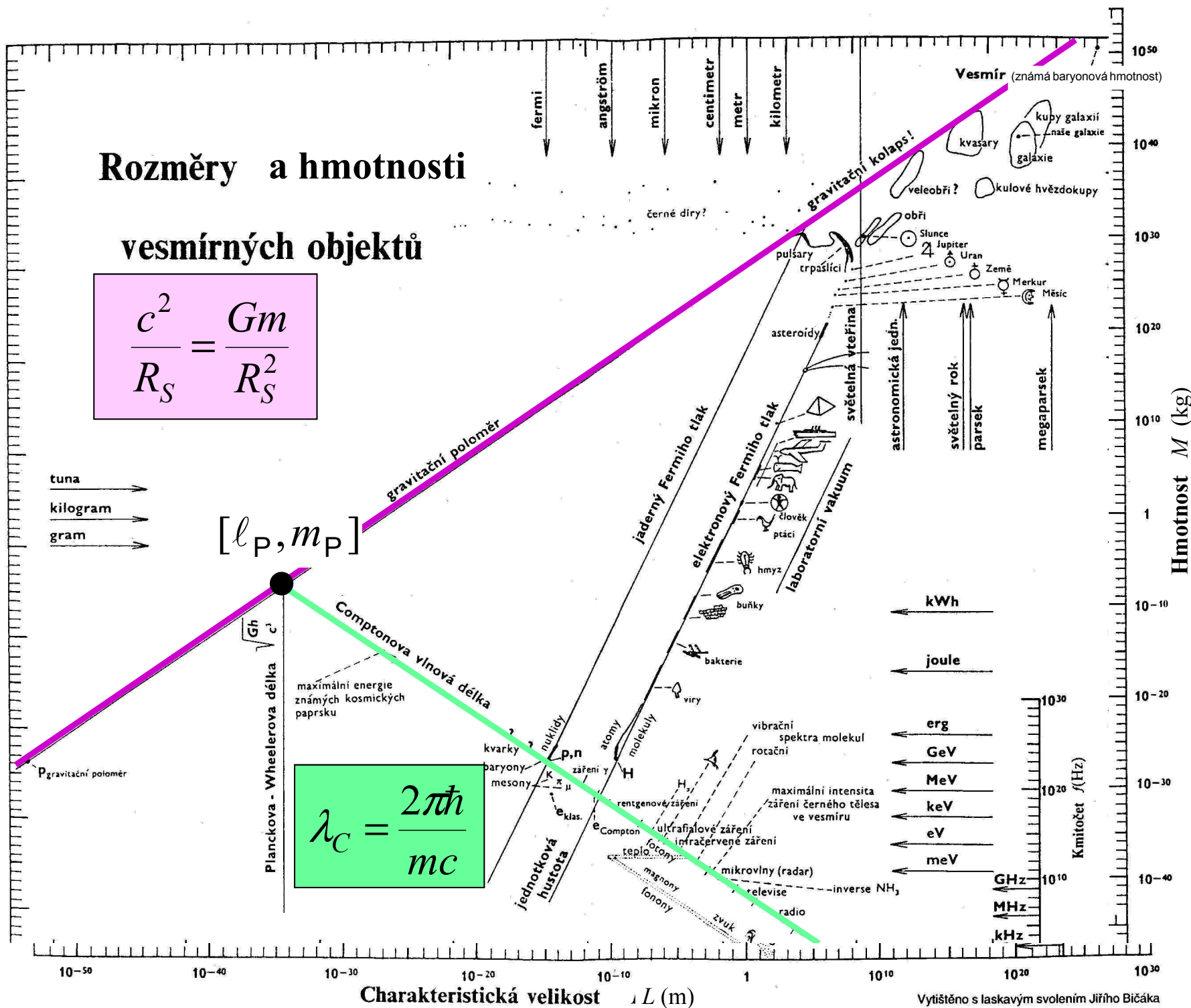
$$\frac{c^2}{R_S} = \frac{Gm}{R_S^2}$$

tuna
kilogram
gram

$[\ell_P, m_P]$

Planckova - Wheelerova délka $\sqrt{\frac{G\hbar}{c^3}}$

$$\lambda_C = \frac{2\pi\hbar}{mc}$$



Rozměry a hmotnosti vesmírných objektů

$$\frac{c^2}{R_S} = \frac{Gm}{R_S^2}$$

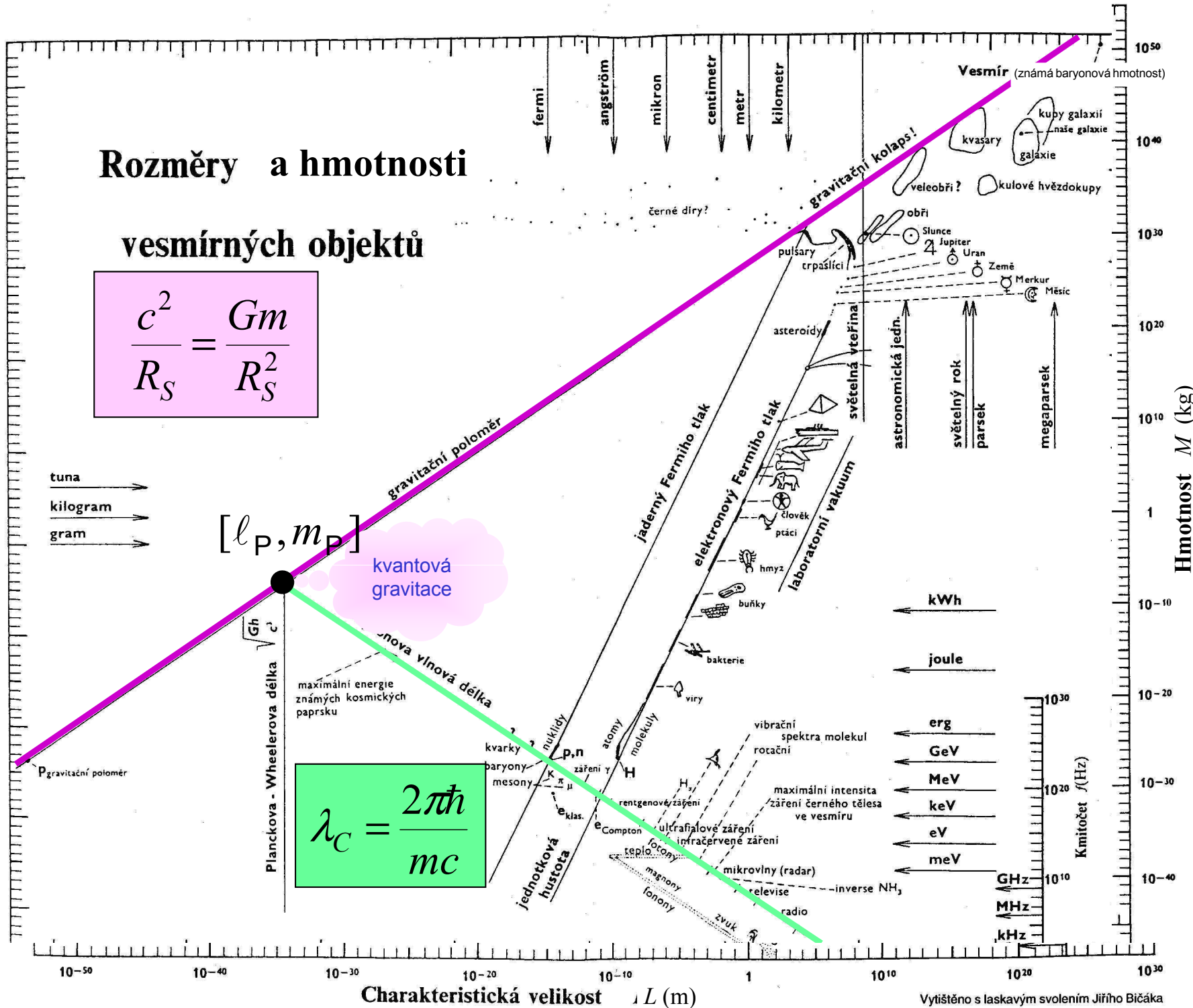
tuna
kilogram
gram

$[\ell_P, m_P]$

kvantová gravitace

Planckova - Wheelerova délka $\sqrt{\frac{G\hbar}{c}}$

$$\lambda_C = \frac{2\pi\hbar}{mc}$$



Rozměry a hmotnosti vesmírných objektů

$$\frac{c^2}{R_S} = \frac{Gm}{R_S^2}$$

tuna
kilogram
gram

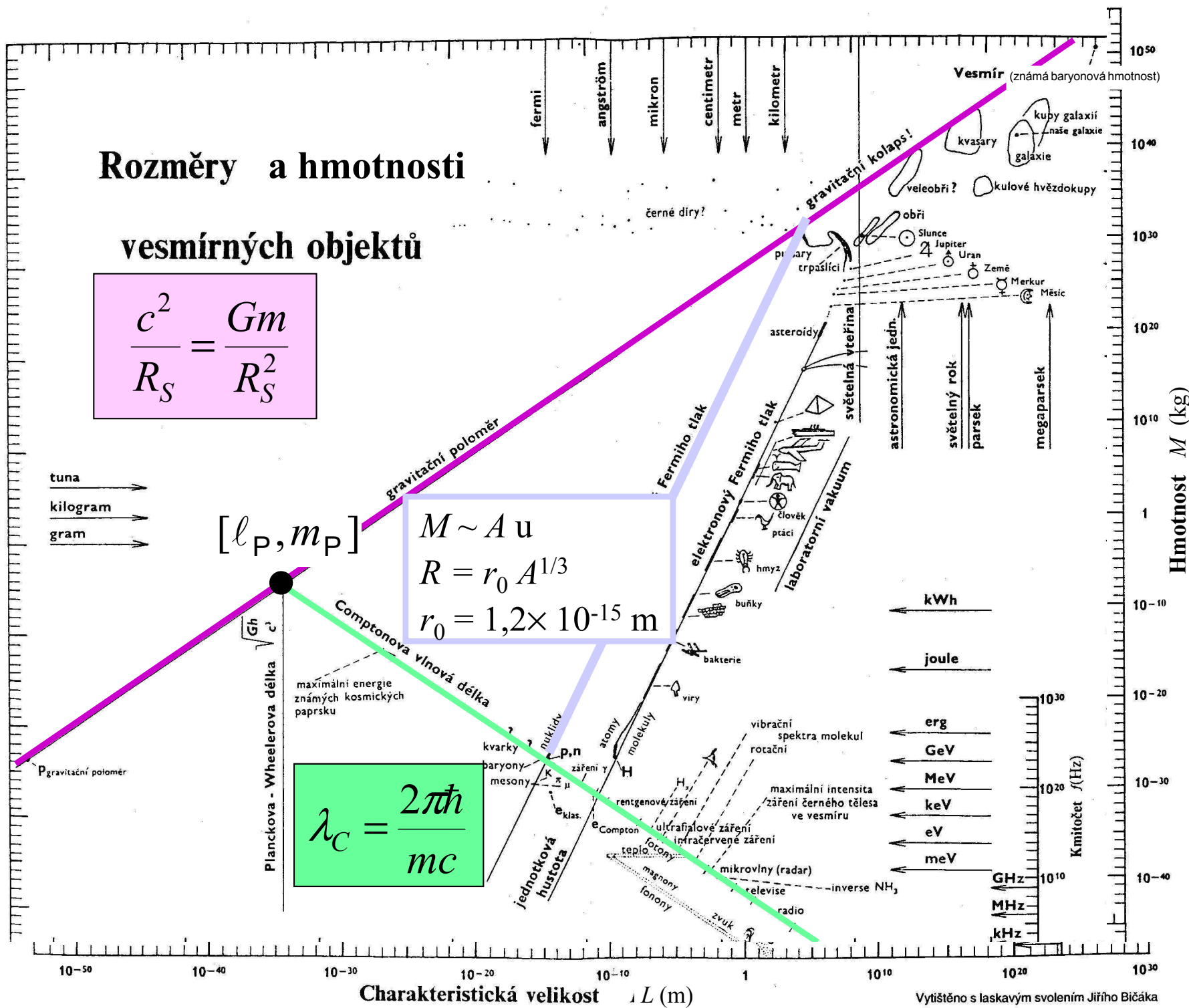
$[\ell_P, m_P]$

$$M \sim A u$$

$$R = r_0 A^{1/3}$$

$$r_0 = 1,2 \times 10^{-15} \text{ m}$$

$$\lambda_C = \frac{2\pi\hbar}{mc}$$



Rozměry a hmotnosti vesmírných objektů

$$\frac{c^2}{R_S} = \frac{Gm}{R_S^2}$$

tuna
kilogram
gram

$[\ell_P, m_P]$

Planckova - Wheelerova délka

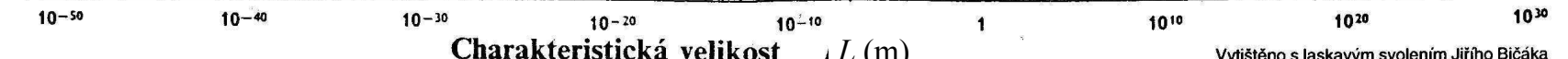
$$M \propto R^3$$

$$M \sim A u$$

$$R = r_0 A^{1/3}$$

$$r_0 = 1,2 \times 10^{-15} \text{ m}$$

$$\lambda_C = \frac{2\pi\hbar}{mc}$$



Vytisklo s laskavým svolením Jiřího Bičáka

Rozměry a hmotnosti vesmírných objektů

$$\frac{c^2}{R_S} = \frac{Gm}{R_S^2}$$

tuna
kilogram
gram

$[\ell_P, m_P]$

Planckova - Wheelerova délka

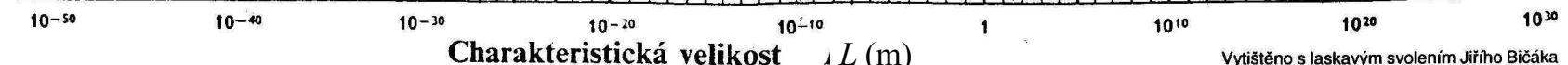
$$M \propto R^3$$

$$M \sim A u$$

$$R = r_0 A^{1/3}$$

$$r_0 = 1,2 \times 10^{-15} \text{ m}$$

$$\lambda_C = \frac{2\pi\hbar}{mc}$$



Vytisklo s laskavým svolením Jiřího Bičáka

Rozměry a hmotnosti vesmírných objektů

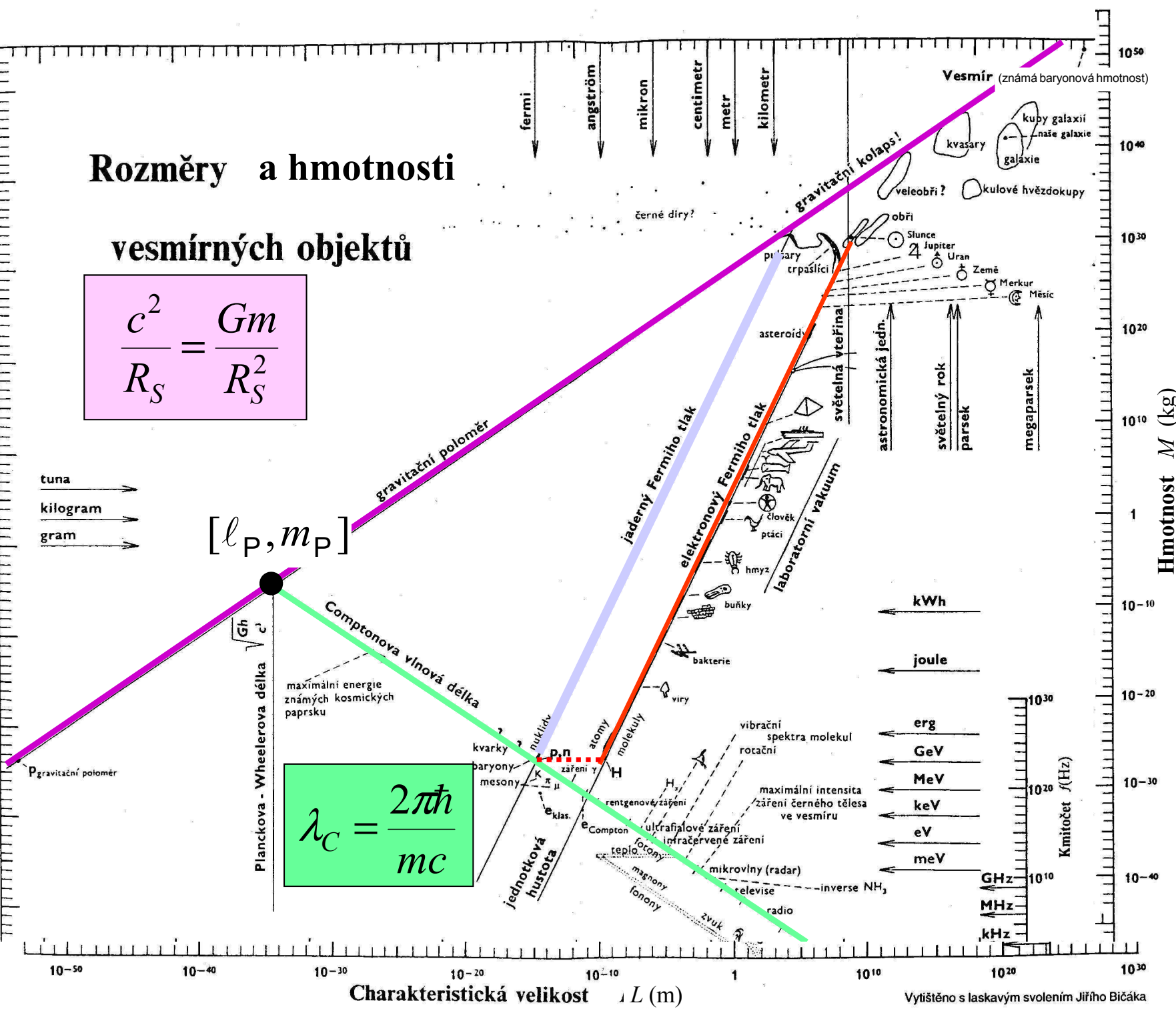
$$\frac{c^2}{R_S} = \frac{Gm}{R_S^2}$$

tuna
kilogram
gram

$[\ell_P, m_P]$

Planckova - Wheelerova délka $\sqrt{\frac{G\hbar}{c}}$

$$\lambda_C = \frac{2\pi\hbar}{mc}$$

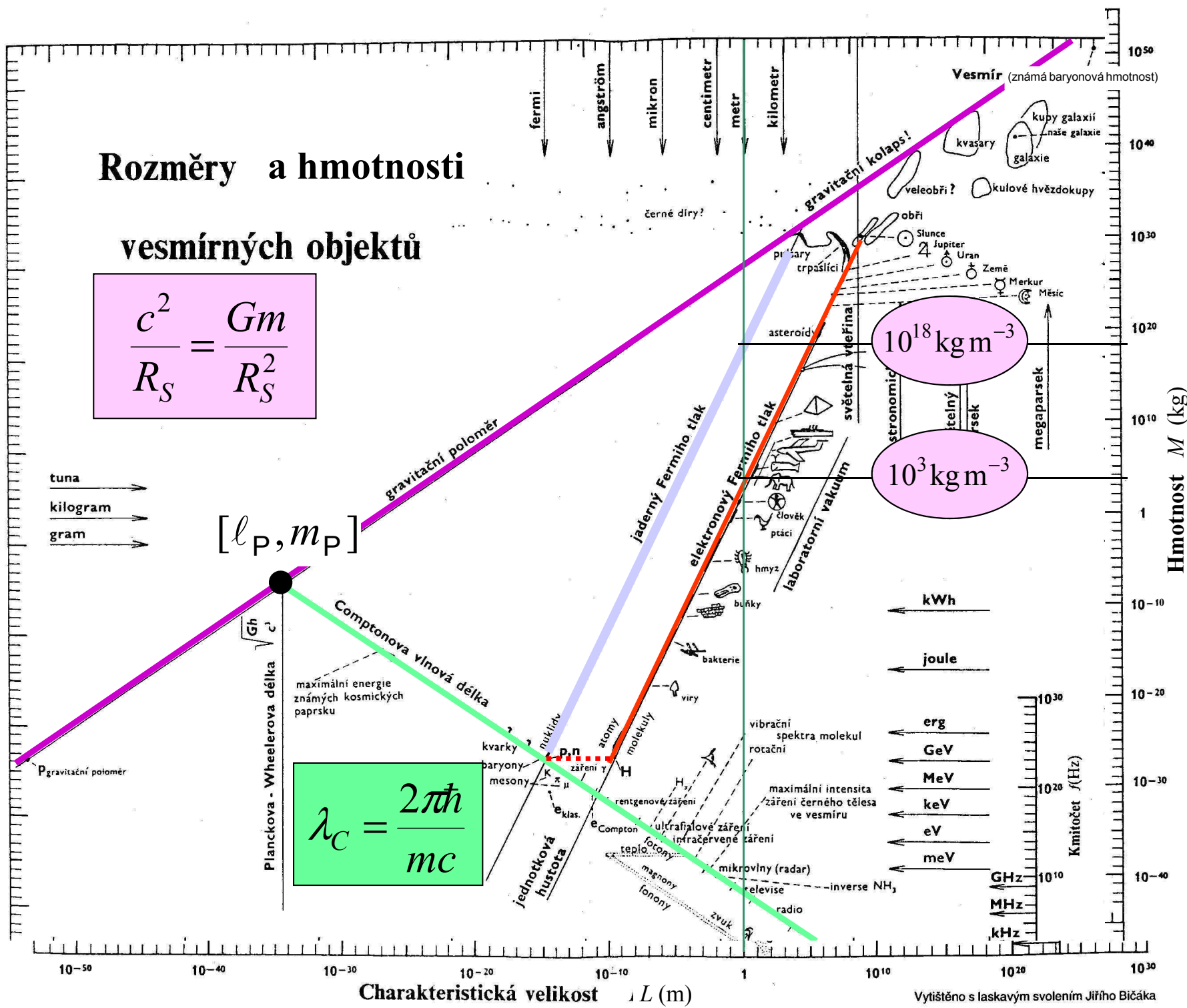


Rozměry a hmotnosti vesmírných objektů

$$\frac{c^2}{R_S} = \frac{Gm}{R_S^2}$$

tuna
kilogram
gram

$[\ell_P, m_P]$

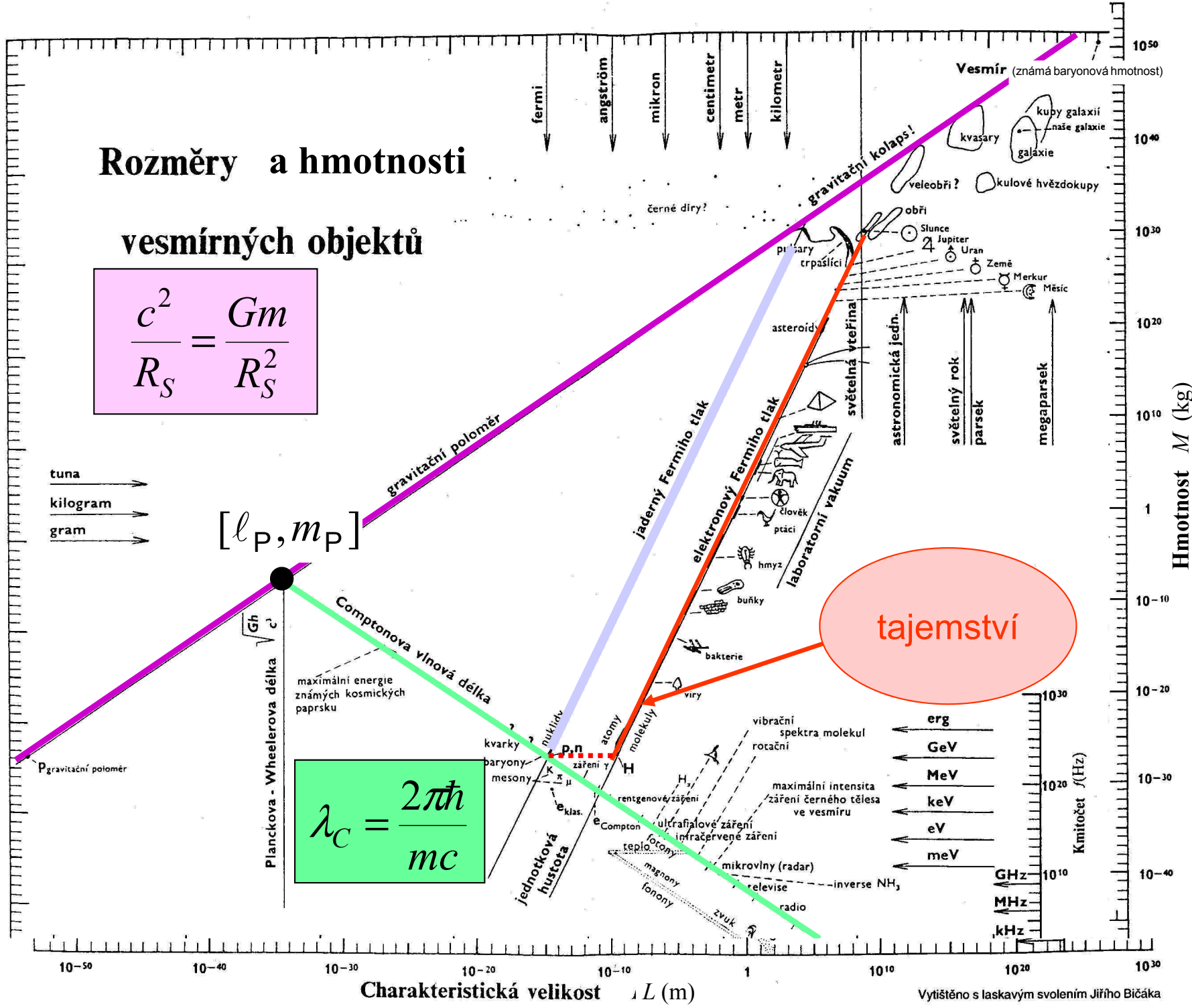


Rozměry a hmotnosti vesmírných objektů

$$\frac{c^2}{R_S} = \frac{Gm}{R_S^2}$$

tuna
kilogram
gram

$[\ell_P, m_P]$



Rozměry a hmotnosti vesmírných objektů

$$\frac{c^2}{R_S} = \frac{Gm}{R_S^2}$$

tuna
kilogram
gram

$[\ell_P, m_P]$

Planckova - Wheelerova délka $\sqrt{\frac{G\hbar}{c^3}}$

$$\lambda_C = \frac{2\pi\hbar}{mc}$$

Charakteristická velikost L (m)

fermi

angström

mikron

centimetr

metr

kilometr

Vesmír (známá baryonová hmotnost)

10^{50}

10^{40}

10^{30}

10^{20}

10^{10}

1

10^{-10}

10^{-20}

10^{-30}

Hmotnost M (kg)

gravitační poloměr

jaderný Fermiho tlak

elektronový Fermiho tlak

laboratorní vákuum

astromická jednotka

světelná vteřina
světelný rok
parsek

megaparsek

černé díry?
pričasy
trpaslíci

obří
Slunce
Jupiter
Uran
Země
Merkur
Měsíc

asteroid
světelná vteřina
astromická jednotka
světelný rok
parsek

tajemství

hustota všech kondensovaných atomárních soustav je stejného řádu

Comptonova vlnová délka

maximální energie známých kosmických paprsku

nuklidu

atomy

molekuly

viry

bakterie

ptáci

člověk

hmýz

buňky

jiné

jaderná hustota

kvarky

baryony

mesony

e_{klass}

e_{Compton}

rentgenové záření

ultrafialové záření

infračervené záření

mikrovlny

radio

zvuk

teplota

tonony

magnony

relevice

vibrace

rody

ultraviolet

záření

infradisk

infrarud

The end